



โรงพยาบาลจุฬาลงกรณ์
สภากาชาดไทย



คณะแพทยศาสตร์
จุฬาลงกรณ์มหาวิทยาลัย

King Chulalongkorn Memorial Hospital
Tumor Registry
Annual Report 2022, Vol. XII

Editors :
Chulalongkorn Comprehensive Cancer Center
Tumor Registry Unit



หน่วยงานที่เผยแพร่ ศูนย์ความเป็นเลิศทางการแพทย์โรคมะเร็งครบวงจร แห่งโรงพยาบาลจุฬาลงกรณ์
 1873 ถนนพระรามที่ 4 แขวงปทุมวัน เขตปทุมวัน กรุงเทพฯ 10330
 โทร. 02-256-4000 ต่อ 3725

Distributed by Chulalongkorn Comprehensive Cancer Center
 King Chulalongkorn Memorial Hospital 1873
 Rama IV Road, Pathum Wan, Bangkok, Thailand
 Tel. +66(0) 22564000 # 3725

<http://www.chulacancer.net>

<https://kcmh.chulalongkornhospital.go.th/>

จัดทำโดย ศูนย์ความเป็นเลิศทางการแพทย์โรคมะเร็งครบวงจร แห่งโรงพยาบาลจุฬาลงกรณ์
 สภากาชาดไทย

ปีที่พิมพ์ 2568

พิมพ์ที่ ห้างหุ้นส่วนจำกัด วี. เอส. เอส. กรุ๊ป
 3/141-2 ถนนหทัยราษฎร์ แขวงสามวาตะวันตก
 เขตคลองสามวา กรุงเทพฯ 10510
 โทร. 02-906-7003-5

ข้อมูลทางบรรณานุกรมของหอสมุดแห่งชาติ

Annual Report 2022 vol.XII. -- กรุงเทพฯ : โรงพยาบาลจุฬาลงกรณ์ สภากาชาดไทย, 2568.

104 หน้า.

1. รายงานประจำปี. 2. โรงพยาบาลจุฬาลงกรณ์ สภากาชาดไทย. I. ชื่อเรื่อง. กอสรณ์ สภากาชาดไทย

616.89061593

ISBN 978-616-8345-16-0

คำนำ

ข้อมูลทางสถิติทางการแพทย์มีความสำคัญอย่างยิ่ง เพื่อความเข้าใจถึงธรรมชาติของโรคนิคมิตต่างๆ และยังเป็นข้อมูลพื้นฐานสำหรับการวิจัยในเชิงลึกต่อไป นอกจากนี้ยังเป็นเครื่องมือสำคัญสำหรับฝ่ายบริหารในการวางกลยุทธ์สำหรับองค์กรเพื่อกำหนดทิศทางสำหรับองค์กรนั้น ๆ ดังนั้นข้อมูลที่ถูกต้องแม่นยำ เชื่อถือได้ จึงมีความจำเป็นต่อการพัฒนาในอนาคต

โรคมะเร็งถือเป็นโรคที่มีความสำคัญในปัจจุบันเป็นอย่างมาก เพราะนอกจากเป็นโรคที่พบบ่อยเป็นอันดับต้น ๆ ของประเทศแล้วการรักษาโรคมะเร็งอย่างได้ผลยังจำเป็นต้องใช้การรักษาด้วยวิธีต่าง ๆ หลายวิธีร่วมกัน ทำให้สิ้นเปลืองค่าใช้จ่ายสูง นอกจากนี้โรคมะเร็งหลายชนิดยังต้องการยาที่เฉพาะเจาะจงต่อโรค ซึ่งส่วนใหญ่มีราคาสูง

โครงการพัฒนาระบบฐานข้อมูลผู้ป่วยโรคมะเร็งและระบบทะเบียนมะเร็ง (Tumor Registry) โดยศูนย์ความเป็นเลิศทางการแพทย์โรคมะเร็งครบวงจรแห่งโรงพยาบาลจุฬาลงกรณ์ (ECCCC) ได้รวบรวมข้อมูลและจัดทำรายงานสถิติโรคมะเร็งตั้งแต่ปี พ.ศ. 2550 จนถึงฉบับนี้เป็นฉบับที่ 12 ซึ่งเป็นการรวบรวมข้อมูลผู้ป่วยโรคมะเร็งที่เข้ารับการวินิจฉัยตลอดจนได้รับการรักษาจากโรงพยาบาลจุฬาลงกรณ์ ในปี พ.ศ. 2565 คณะผู้จัดทำหวังเป็นอย่างยิ่งว่ารายงานสถิติโรคมะเร็งฉบับนี้จะเป็นประโยชน์ต่อเจ้าหน้าที่โรงพยาบาลจุฬาลงกรณ์และประชาชนในด้านการวางแผนการปฏิบัติงานและพัฒนาระบบการป้องกันควบคุมดูแลรักษาโรคมะเร็งและเป็นแหล่งข้อมูลอ้างอิงในการทำวิจัยด้านโรคมะเร็งต่อไป

คณะทำงาน

Tumor Registry Unit

ศูนย์ความเป็นเลิศทางการแพทย์ โรคมะเร็งศรีนครินทร

โรงพยาบาลจุฬาลงกรณ์ ภาควิชาศัลยศาสตร์

ศูนย์ความเป็นเลิศทางการแพทย์ โรคมะเร็งศรีนครินทร

รายชื่อผู้จัดทำ

ศูนย์ความเป็นเลิศทางการแพทย์ โรคมะเร็งศรีนครินทร

โรงพยาบาลจุฬาลงกรณ์ ภาควิชาศัลยศาสตร์

ที่ปรึกษา

1. รศ.ดร.นพ.โสภณอภัย
2. รศ.นพ.ณัฐพล
3. ศ.นพ.ชนพ
4. รศ.นพ.ปิติ
5. รศ.(พิเศษ)พญ.ชนมณี
6. ผศ.นพ.กฤษณ์
7. ผศ.นพ.พสุรเชษฐ์
8. ผศ.(พิเศษ)พญ.ปิยะดา
9. อ.นพ.ชินดนัย
10. อ.พญ.สุนิสา
11. อ.พญ.กัญญา
12. อ.พญ.สุกานัน
13. อ.นพ.ธิดา
14. อ.นพ.ชานนท์
15. รศ.(พิเศษ)พญ.สาริน

โรงพยาบาลจุฬาลงกรณ์ ภาควิชาศัลยศาสตร์

1. นนัสสรณ์
2. ตั้งจตุรนต์ร์ศรี
3. ช่างโซติ
4. เตชะวิจิตร
5. นันทวิทยา
6. เจริญลาภ
7. สมร
8. สิทธิเดชไพบูลย์
9. หงสประภาส
10. ก้องเกียรติกมล
11. ปัญญาอรานันท์
12. เลหาสุร โยธิน
13. สุศิริวัฒนนนท์
14. ตรีกาญจนานันท์
15. กิจพาณิชย์

โรงพยาบาลจุฬาลงกรณ์ ภาควิชาศัลยศาสตร์

1. ที่ปรึกษา
2. ประธานกรรมการ
3. กรรมการ
4. กรรมการ
5. กรรมการ
6. กรรมการ
7. กรรมการ
8. กรรมการ
9. กรรมการ
10. กรรมการ
11. กรรมการ
12. กรรมการ
13. กรรมการ
14. กรรมการ
15. กรรมการและเลขานุการ

บรรณาธิการ

ศูนย์ความเป็นเลิศทางการแพทย์ โรคมะเร็งศรีนครินทร

นางมิ่งขวัญ

โรงพยาบาลจุฬาลงกรณ์ ภาควิชาศัลยศาสตร์

ศูนย์ความเป็นเลิศทางการแพทย์ โรคมะเร็งศรีนครินทร

ไชยพรหม

โรงพยาบาลจุฬาลงกรณ์ ภาควิชาศัลยศาสตร์

ศูนย์ความเป็นเลิศทางการแพทย์ โรคมะเร็งศรีนครินทร

เจ้าหน้าที่สถิติ

โรงพยาบาลจุฬาลงกรณ์ ภาควิชาศัลยศาสตร์

คณะทำงาน

1. นางมิ่งขวัญ
2. นางสาวธีรวรรณ
3. นางสาวนิชภา
4. ว่าที่ร้อยตรีดร.ธีรจุฑาชาติ
5. นางสาวพิชญา

โรงพยาบาลจุฬาลงกรณ์ ภาควิชาศัลยศาสตร์

1. ไชยพรหม
2. ยอดอุบล
3. อรุณรัตน์
4. ยงสวัสดิ์
5. ไวยสุขศรี

โรงพยาบาลจุฬาลงกรณ์ ภาควิชาศัลยศาสตร์

1. เจ้าหน้าที่สถิติ
2. เจ้าหน้าที่สถิติ
3. เจ้าหน้าที่สถิติ
4. เจ้าหน้าที่บริหารงานทั่วไป
5. เจ้าหน้าที่บริหารงานทั่วไป

โรงพยาบาลจุฬาลงกรณ์ ภาควิชาศัลยศาสตร์

สารบัญตาราง

	ศูนย์ความเป็นเลิศทางการแพทย์ โรคมะเร็งครบวงจร โรงพยาบาลจุฬาลงกรณ์ ภาควิชาอายุรศาสตร์	ศูนย์ความเป็นเลิศทางการแพทย์ โรคมะเร็งครบวงจร โรงพยาบาลจุฬาลงกรณ์ ภาควิชาอายุรศาสตร์	ศูนย์ความเป็นเลิศทางการแพทย์ โรคมะเร็งครบวงจร โรงพยาบาลจุฬาลงกรณ์ ภาควิชาอายุรศาสตร์
			หน้า
ตารางที่ 1	แสดงจำนวนผู้ป่วยโรคมะเร็งรายใหม่ ในปี พ.ศ. 2565 (Number of new cancer patients: 2022)		1
ตารางที่ 2	แสดงจำนวนผู้ป่วยโรคมะเร็งรายใหม่ ในปี พ.ศ. 2562-2565 (Number of new cancer patients: 2019-2022)		2
ตารางที่ 3	แสดงจำนวนผู้ป่วยโรคมะเร็ง แบ่งตามกลุ่มโรค ในปี พ.ศ. 2565 (Number of cancer by organs, 2022)		3
ตารางที่ 4	แสดงโรคมะเร็งที่พบบ่อยมากที่สุด 10 อันดับ ในเพศชาย ในปี พ.ศ. 2565 (Ten most common cancers: male, 2022)		5
ตารางที่ 5	แสดงโรคมะเร็งที่พบบ่อยมากที่สุด 10 อันดับ ในเพศหญิง ในปี พ.ศ. 2565 (Ten most common cancers: female, 2022)		6
ตารางที่ 6	แสดงจำนวนผู้ป่วยโรคมะเร็ง จำแนกตามช่วงอายุ ในปี พ.ศ. 2565 (Distribution of cancer patients by age-group, 2022)		7
ตารางที่ 7	แสดงจำนวนผู้ป่วยโรคมะเร็ง จำแนกตามวิธีวินิจฉัย ในปี พ.ศ. 2565 (Number of cancer patients by diagnostic method, 2022)		8
ตารางที่ 8	แสดงวิธีการรักษาผู้ป่วยโรคมะเร็งแยกตามเพศ ในปี พ.ศ. 2565 (Method of treatment for cancer patients by gender, 2022)		9
ตารางที่ 9	แสดงประเภทของโรคมะเร็งในเพศชาย จำแนกตามช่วงอายุ ในปี พ.ศ. 2565 (Number of cancer patients by site: male, 2022)		10
ตารางที่ 10	แสดงประเภทของโรคมะเร็งในเพศหญิง จำแนกตามช่วงอายุ ในปี พ.ศ. 2565 (Number of cancer patients by site: female, 2022)		11
ตารางที่ 11	แสดงผลพยาธิวิทยาแยกตามชนิดของโรคมะเร็งและจำนวนที่พบ ในปี พ.ศ. 2565 (Pathology by site, 2022)		12-23
ตารางที่ 12	แสดงจำนวนผู้ป่วยโรคมะเร็งลำไส้ใหญ่และทวารหนัก ในปี พ.ศ. 2562-2565 (Trend of colon & rectum cancer, 2019-2022)		25
ตารางที่ 13	แสดงจำนวนผู้ป่วยโรคมะเร็งลำไส้ใหญ่และทวารหนัก จำแนกตามช่วงอายุ ในปี พ.ศ. 2565 (Distribution of colon & rectum cancer by age-group, 2022)		26

สารบัญตาราง (ต่อ)

ศูนย์ความเป็นเลิศทางการแพทย์ โรคมะเร็งตับ โรงพยาบาลจุฬาลงกรณ์ ภาควิชาอายุรศาสตร์	ศูนย์ความเป็นเลิศทางการแพทย์ โรคมะเร็งตับ โรงพยาบาลจุฬาลงกรณ์ ภาควิชาอายุรศาสตร์	ศูนย์ความเป็นเลิศทางการแพทย์ โรคมะเร็งตับ โรงพยาบาลจุฬาลงกรณ์ ภาควิชาอายุรศาสตร์	หน้า
ตารางที่ 14	แสดงจำนวนผู้ป่วยโรคมะเร็งลำไส้ใหญ่และทวารหนัก จำแนกตามวิธีวินิจฉัย ในปี พ.ศ. 2565 (Number of colon & rectum cancer patients by diagnostic method, 2022)		27
ตารางที่ 15	แสดงวิธีการรักษาผู้ป่วยโรคมะเร็งลำไส้ใหญ่และทวารหนัก แยกตามเพศ ในปี พ.ศ. 2565 (Method of treatment for colon & rectum cancer patients by gender, 2022)		28
ตารางที่ 16	แสดงจำนวนผู้ป่วยโรคมะเร็งตับและท่อน้ำดี ในปี พ.ศ. 2562-2565 (Trend of liver & bile duct cancer, 2019-2022)		29
ตารางที่ 17	แสดงจำนวนผู้ป่วยโรคมะเร็งตับและท่อน้ำดี จำแนกตามช่วงอายุ ในปี พ.ศ. 2565 (Distribution of liver & bile duct cancer by age-group, 2022)		30
ตารางที่ 18	แสดงจำนวนผู้ป่วยโรคมะเร็งตับและท่อน้ำดี จำแนกตามวิธีวินิจฉัย ในปี พ.ศ. 2565 (Number of liver & bile duct cancer patients by diagnostic method, 2022)		31
ตารางที่ 19	แสดงวิธีการรักษาผู้ป่วยโรคมะเร็งตับและท่อน้ำดีแยกตามเพศ ในปี พ.ศ. 2565 (Method of treatment for liver & bile duct cancer patients by gender, 2022)		32
ตารางที่ 20	แสดงจำนวนผู้ป่วยโรคมะเร็งปอด ในปี พ.ศ. 2562-2565 (Trend of lung cancer, 2019-2022)		33
ตารางที่ 21	แสดงจำนวนผู้ป่วยโรคมะเร็งปอด จำแนกตามช่วงอายุ ในปี พ.ศ. 2565 (Distribution of lung cancer by age-group, 2022)		34
ตารางที่ 22	แสดงจำนวนผู้ป่วยโรคมะเร็งปอด จำแนกตามวิธีวินิจฉัย ในปี พ.ศ. 2565 (Number of lung cancer patients by diagnostic method, 2022)		35
ตารางที่ 23	แสดงวิธีการรักษาผู้ป่วยโรคมะเร็งปอด แยกตามเพศ ในปี พ.ศ. 2565 (Method of treatment for lung cancer patients by gender, 2022)		36
ตารางที่ 24	แสดงจำนวนผู้ป่วยโรคมะเร็งเต้านม ในปี พ.ศ. 2562-2565 (Trend of breast cancer, 2019-2022)		37
ตารางที่ 25	แสดงจำนวนผู้ป่วยโรคมะเร็งเต้านม จำแนกตามช่วงอายุ ในปี พ.ศ. 2565 (Distribution of breast cancer by age-group, 2022)		38
ตารางที่ 26	แสดงจำนวนผู้ป่วยโรคมะเร็งเต้านม จำแนกตามวิธีวินิจฉัย ในปี พ.ศ. 2565 (Number of breast cancer patients by diagnostic method, 2022)		39

สารบัญตาราง (ต่อ)

	ศูนย์ความเป็นเลิศทางการแพทย์ โรคมะเร็งศรีนครินทรราช	ศูนย์ความเป็นเลิศทางการแพทย์ โรคมะเร็งศรีนครินทรราช	ศูนย์ความเป็นเลิศทางการแพทย์ โรคมะเร็งศรีนครินทรราช
	โรงพยาบาลจุฬาลงกรณ์ ภาควิชาพยาธิ	โรงพยาบาลจุฬาลงกรณ์ ภาควิชาพยาธิ	โรงพยาบาลจุฬาลงกรณ์ ภาควิชาพยาธิ
ตารางที่ 27	แสดงจำนวนวิธีการรักษาผู้ป่วยโรคมะเร็งเต้านม แยกตามเพศ ในปี พ.ศ. 2565 (Method of treatment for breast cancer patients by gender, 2022)		หน้า 40
ตารางที่ 28	แสดงจำนวนผู้ป่วยโรคมะเร็งปากมดลูก ในปี พ.ศ. 2562-2565 (Trend of cervix uteri cancer, 2019-2022)		41
ตารางที่ 29	แสดงจำนวนผู้ป่วยโรคมะเร็งปากมดลูก จำแนกตามช่วงอายุ ในปี พ.ศ. 2565 (Distribution of cervix uteri cancer by age-group, 2022)		42
ตารางที่ 30	แสดงจำนวนผู้ป่วยโรคมะเร็งปากมดลูก จำแนกตามวิธีวินิจฉัย ในปี พ.ศ. 2565 (Number of cervix uteri cancer patients by diagnostic method, 2022)		43
ตารางที่ 31	แสดงจำนวนวิธีการรักษาผู้ป่วยโรคมะเร็งปากมดลูก ในปี พ.ศ. 2565 (Method of treatment for cervix uteri cancer patients, 2022)		44
ตารางที่ 32	แสดงจำนวนผู้ป่วยโรคมะเร็งมดลูก ในปี พ.ศ. 2562-2565 (Trend of corpus uteri cancer, 2019-2022)		45
ตารางที่ 33	แสดงจำนวนผู้ป่วยโรคมะเร็งมดลูก จำแนกตามช่วงอายุ ในปี พ.ศ. 2565 (Distribution of corpus uteri cancer by age-group, 2022)		46
ตารางที่ 34	แสดงจำนวนผู้ป่วยโรคมะเร็งมดลูก จำแนกตามวิธีวินิจฉัย ในปี พ.ศ. 2565 (Number of corpus uteri cancer patients by diagnostic method, 2022)		47
ตารางที่ 35	แสดงจำนวนวิธีการรักษาผู้ป่วยโรคมะเร็งมดลูก ในปี พ.ศ. 2565 (Method of treatment for corpus uteri cancer patients, 2022)		48
ตารางที่ 36	แสดงจำนวนผู้ป่วยโรคมะเร็งรังไข่ ในปี พ.ศ. 2562-2565 (Trend of ovarian cancer, 2019-2022)		49
ตารางที่ 37	แสดงจำนวนผู้ป่วยโรคมะเร็งรังไข่ จำแนกตามช่วงอายุ ในปี พ.ศ. 2565 (Distribution of ovarian cancer by age-group, 2022)		50
ตารางที่ 38	แสดงจำนวนผู้ป่วยโรคมะเร็งรังไข่ จำแนกตามวิธีวินิจฉัยในปี พ.ศ. 2565 (Number of ovarian cancer patients by diagnostic method, 2022)		51
ตารางที่ 39	แสดงจำนวนวิธีการรักษาผู้ป่วยโรคมะเร็งรังไข่ ในปี พ.ศ. 2565 (Method of treatment for ovarian cancer patients, 2022)		52

สารบัญตาราง (ต่อ)

	ศูนย์ความเป็นเลิศทางการแพทย์ โรคมะเร็งตับและท่อน้ำดี	ศูนย์ความเป็นเลิศทางการแพทย์ โรคมะเร็งตับและท่อน้ำดี	ศูนย์ความเป็นเลิศทางการแพทย์ โรคมะเร็งตับและท่อน้ำดี
	โรงพยาบาลจุฬาลงกรณ์ ภาควิชาอายุรศาสตร์	โรงพยาบาลจุฬาลงกรณ์ ภาควิชาอายุรศาสตร์	โรงพยาบาลจุฬาลงกรณ์ ภาควิชาอายุรศาสตร์
			หน้า
ตารางที่ 40	แสดงจำนวนผู้ป่วยโรคมะเร็งต่อมลูกหมาก ในปี พ.ศ. 2562-2565 (Trend of prostate cancer, 2019-2022)		53
ตารางที่ 41	แสดงจำนวนผู้ป่วยโรคมะเร็งต่อมลูกหมาก จำแนกตามช่วงอายุ ในปี พ.ศ. 2565 (Distribution of prostate cancer by age-group, 2022)		54
ตารางที่ 42	แสดงจำนวนผู้ป่วยโรคมะเร็งต่อมลูกหมาก จำแนกตามวิธีวินิจฉัย ในปี พ.ศ. 2565 (Number of prostate cancer patients by diagnostic method, 2022)		55
ตารางที่ 43	แสดงจำนวนวิธีการรักษาผู้ป่วยโรคมะเร็งต่อมลูกหมาก ในปี พ.ศ. 2565 (Method of treatment for prostate cancer patients, 2022)		56
ตารางที่ 44	แสดงจำนวนผู้ป่วยโรคมะเร็งต่อมน้ำเหลือง ในปี พ.ศ. 2562-2565 (Trend of lymphoma, 2019-2022)		57
ตารางที่ 45	แสดงจำนวนผู้ป่วยโรคมะเร็งต่อมน้ำเหลือง จำแนกตามช่วงอายุ ในปี พ.ศ. 2565 (Distribution of lymphoma by age-group, 2022)		58
ตารางที่ 46	แสดงจำนวนผู้ป่วยโรคมะเร็งต่อมน้ำเหลือง จำแนกตามวิธีวินิจฉัย ในปี พ.ศ. 2565 (Number of lymphoma patients by diagnostic method, 2022)		59
ตารางที่ 47	แสดงจำนวนวิธีการรักษาผู้ป่วยโรคมะเร็งต่อมน้ำเหลือง แยกตามเพศ ในปี พ.ศ. 2565 (Method of treatment for lymphoma patients by gender, 2022)		60
ตารางที่ 48	แสดงจำนวนผู้ป่วยโรคมะเร็งเม็ดเลือดขาว ในปี พ.ศ. 2562-2565 (Trend of leukemia, 2019-2022)		61
ตารางที่ 49	แสดงจำนวนผู้ป่วยโรคมะเร็งเม็ดเลือดขาว จำแนกตามช่วงอายุ ในปี พ.ศ. 2565 (Distribution of leukemia by age-group, 2022)		62
ตารางที่ 50	แสดงจำนวนผู้ป่วยโรคมะเร็งเม็ดเลือดขาว จำแนกตามวิธีวินิจฉัย ในปี พ.ศ. 2565 (Number of leukemia patients by diagnostic method, 2022)		63
ตารางที่ 51	แสดงจำนวนวิธีการรักษาผู้ป่วยโรคมะเร็งเม็ดเลือดขาว แยกตามเพศ ในปี พ.ศ. 2565 (Method of treatment for leukemia patients by gender, 2022)		64

สารบัญแผนภูมิ

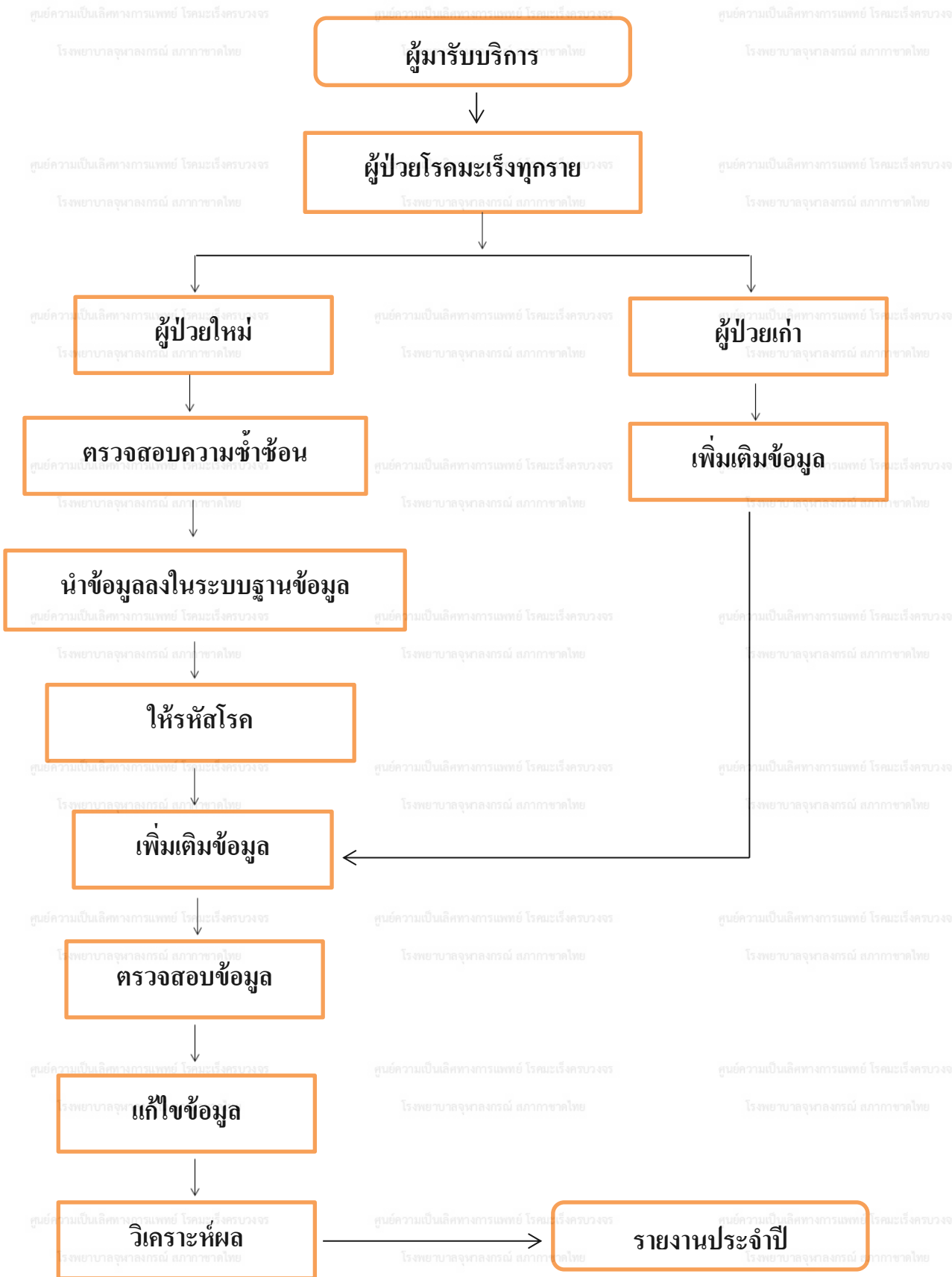
	ศูนย์ความเป็นเลิศทางการแพทย์ โรคมะเร็งบวมจระ	ศูนย์ความเป็นเลิศทางการแพทย์ โรคมะเร็งบวมจระ	ศูนย์ความเป็นเลิศทางการแพทย์ โรคมะเร็งบวมจระ
	โรงพยาบาลจุฬาลงกรณ์ ภาควิชาอายุรศาสตร์	โรงพยาบาลจุฬาลงกรณ์ ภาควิชาอายุรศาสตร์	โรงพยาบาลจุฬาลงกรณ์ ภาควิชาอายุรศาสตร์
แผนภูมิที่ 1	แสดงจำนวนผู้ป่วยโรคมะเร็งรายใหม่ ในปี พ.ศ. 2562-2565 (Trend of new cancer patients: 2019-2022)		2
แผนภูมิที่ 2	แสดงโรคมะเร็งที่พบมากที่สุด 10 อันดับ แบ่งตามกลุ่มโรค ในปี พ.ศ. 2565 (Ten most common cancers by organ, 2022)		3
แผนภูมิที่ 3	แสดงโรคมะเร็งที่พบมากที่สุด 10 อันดับ แบ่งตามกลุ่มโรค ในเพศชาย ในปี พ.ศ. 2565 (Ten most common cancers by organ: male, 2022)		4
แผนภูมิที่ 4	แสดงโรคมะเร็งที่พบมากที่สุด 10 อันดับ แบ่งตามกลุ่มโรค ในเพศหญิง ในปี พ.ศ. 2565 (Ten most common cancers by organ: female, 2022)		4
แผนภูมิที่ 5	แสดงโรคมะเร็งที่พบมากที่สุด 10 อันดับ ในเพศชาย ในปี พ.ศ. 2565 (Ten most common cancers: males, 2022)		5
แผนภูมิที่ 6	แสดงโรคมะเร็งที่พบมากที่สุด 10 อันดับ ในเพศหญิง ในปี พ.ศ. 2565 (Ten most common cancers: female, 2022)		6
แผนภูมิที่ 7	แสดงจำนวนผู้ป่วยโรคมะเร็ง จำแนกตามช่วงอายุ ในปี พ.ศ. 2565 (Distribution of cancer patients by age-group, 2022)		7
แผนภูมิที่ 8	แสดงร้อยละของผู้ป่วยโรคมะเร็ง จำแนกตามวิธีวินิจฉัย ในปี พ.ศ. 2565 (Overall percentage of cancer patients by diagnostic method, 2022)		8
แผนภูมิที่ 9	แสดงจำนวนผู้ป่วยโรคมะเร็งลำไส้ใหญ่และทวารหนัก ในปี พ.ศ. 2562-2565 (Trend of colon & rectum cancer, 2019-2022)		25
แผนภูมิที่ 10	แสดงจำนวนผู้ป่วยโรคมะเร็งลำไส้ใหญ่และทวารหนัก จำแนกตามช่วงอายุ ในปี พ.ศ. 2565 (Distribution of colon & rectum cancer by age-group, 2022)		26
แผนภูมิที่ 11	แสดงร้อยละของผู้ป่วยโรคมะเร็งลำไส้ใหญ่และทวารหนัก จำแนกตามวิธีวินิจฉัย ในปี พ.ศ. 2565 (Percentage of colon & rectum cancer patients by diagnostic method, 2022)		27
แผนภูมิที่ 12	แสดงจำนวนผู้ป่วยโรคมะเร็งตับและท่อน้ำดี ในปี พ.ศ. 2562-2565 (Trend of liver & bile duct cancer, 2019-2022)		29
แผนภูมิที่ 13	แสดงจำนวนผู้ป่วยโรคมะเร็งตับและท่อน้ำดี จำแนกตามช่วงอายุ ในปี พ.ศ. 2565 (Distribution of liver & bile duct cancer by age-group, 2022)		30

แผนภูมิที่ 14	แสดงร้อยละของผู้ป่วยโรคมะเร็งตับและท่อน้ำดี จำแนกตามวิธีวินิจฉัย ในปี พ.ศ. 2565 (Percentage of liver & bile duct cancer patients by diagnostic method, 2022)	31
แผนภูมิที่ 15	แสดงจำนวนผู้ป่วยโรคมะเร็งปอด ในปี พ.ศ. 2562-2565 (Trend of lung cancer, 2019-2022)	33
แผนภูมิที่ 16	แสดงจำนวนผู้ป่วยโรคมะเร็งปอด จำแนกตามช่วงอายุ ในปี พ.ศ. 2565 (Distribution of lung cancer by age-group, 2022)	34
แผนภูมิที่ 17	แสดงร้อยละของผู้ป่วยโรคมะเร็งปอด จำแนกตามวิธีวินิจฉัย ในปี พ.ศ. 2565 (Percentage of lung cancer patients by diagnostic method, 2022)	35
แผนภูมิที่ 18	แสดงจำนวนผู้ป่วยโรคมะเร็งเต้านม ในปี พ.ศ. 2562-2565 (Trend of breast cancer, 2019-2022)	37
แผนภูมิที่ 19	แสดงจำนวนผู้ป่วยโรคมะเร็งเต้านม จำแนกตามช่วงอายุ ในปี พ.ศ. 2565 (Distribution of breast cancer by age-group, 2022)	38
แผนภูมิที่ 20	แสดงร้อยละของผู้ป่วยโรคมะเร็งเต้านม จำแนกตามวิธีวินิจฉัย ในปี พ.ศ. 2565 (Percentage of breast cancer patients by diagnostic method, 2022)	39
แผนภูมิที่ 21	แสดงจำนวนผู้ป่วยโรคมะเร็งปากมดลูก ในปี พ.ศ. 2562-2565 (Trend of cervix uteri cancer, 2019-2022)	41
แผนภูมิที่ 22	แสดงจำนวนผู้ป่วยโรคมะเร็งปากมดลูก จำแนกตามช่วงอายุ ในปี พ.ศ. 2565 (Distribution of cervix uteri cancer by age-group, 2022)	42
แผนภูมิที่ 23	แสดงร้อยละของผู้ป่วยโรคมะเร็งปากมดลูก จำแนกตามวิธีวินิจฉัย ในปี พ.ศ. 2565 (Percentage of cervix uteri cancer patients by diagnostic method, 2022)	43
แผนภูมิที่ 24	แสดงจำนวนผู้ป่วยโรคมะเร็งมดลูก ในปี พ.ศ. 2562-2565 (Trend of corpus uteri cancer, 2019-2022)	45
แผนภูมิที่ 25	แสดงจำนวนผู้ป่วยโรคมะเร็งมดลูก จำแนกตามช่วงอายุ ในปี พ.ศ. 2565 (Distribution of corpus uteri cancer by age-group, 2022)	46
แผนภูมิที่ 26	แสดงร้อยละของผู้ป่วยโรคมะเร็งมดลูก จำแนกตามวิธีวินิจฉัย ในปี พ.ศ. 2565 (Percentage of corpus uteri cancer patients by diagnostic method, 2022)	47

แผนภูมิที่ 39	แสดงอัตราการรอดชีพของผู้ป่วยโรคมะเร็งลิ้นที่วินิจฉัย ในปี พ.ศ. 2562 (Survival rate of tongue cancer patients diagnosed in 2019)	66
แผนภูมิที่ 40	แสดงอัตราการรอดชีพของผู้ป่วยโรคมะเร็งลิ้นที่วินิจฉัย ในปี พ.ศ. 2562 แยกตามเพศ (Survival rate of tongue cancer patients diagnosed in 2019 by gender)	67
แผนภูมิที่ 41	แสดงอัตราการรอดชีพของผู้ป่วยโรคมะเร็งลิ้นที่วินิจฉัย ในปี พ.ศ. 2564 (Survival rate of tongue cancer patients diagnosed in 2021)	68
แผนภูมิที่ 42	แสดงอัตราการรอดชีพของผู้ป่วยโรคมะเร็งลิ้นที่วินิจฉัย ในปี พ.ศ. 2564 แยกตามเพศ (Survival rate of tongue cancer patients diagnosed in 2021 by gender)	69
แผนภูมิที่ 43	แสดงอัตราการรอดชีพของผู้ป่วยโรคมะเร็งลำไส้ใหญ่และทวารหนักที่วินิจฉัย ในปี พ.ศ. 2562 (Survival rate of colon & rectum cancer patients diagnosed in 2019)	70
แผนภูมิที่ 44	แสดงอัตราการรอดชีพของผู้ป่วยโรคมะเร็งลำไส้ใหญ่และทวารหนักที่วินิจฉัย ในปี พ.ศ. 2562 แยกตามเพศ (Survival rate of colon & rectum cancer patients diagnosed in 2019 by gender)	71
แผนภูมิที่ 45	แสดงอัตราการรอดชีพของผู้ป่วยโรคมะเร็งลำไส้ใหญ่และทวารหนักที่วินิจฉัย ในปี พ.ศ. 2564 (Survival rate of colon & rectum cancer patients diagnosed in 2021)	72
แผนภูมิที่ 46	แสดงอัตราการรอดชีพของผู้ป่วยโรคมะเร็งลำไส้ใหญ่และทวารหนักที่วินิจฉัย ในปี พ.ศ. 2564 แยกตามเพศ (Survival rate of colon & rectum cancer patients diagnosed in 2021 by gender)	73
แผนภูมิที่ 47	แสดงอัตราการรอดชีพของผู้ป่วยโรคมะเร็งตับที่วินิจฉัย ในปี พ.ศ. 2562 (Survival rate of liver cancer patients diagnosed in 2019)	74
แผนภูมิที่ 48	แสดงอัตราการรอดชีพของผู้ป่วยโรคมะเร็งตับที่วินิจฉัย ในปี พ.ศ. 2562 แยกตามเพศ (Survival rate of liver cancer patients diagnosed in 2019 by gender)	75
แผนภูมิที่ 49	แสดงอัตราการรอดชีพของผู้ป่วยโรคมะเร็งตับที่วินิจฉัย ในปี พ.ศ. 2564 (Survival rate of liver cancer patients diagnosed in 2021)	76
แผนภูมิที่ 50	แสดงอัตราการรอดชีพของผู้ป่วยโรคมะเร็งตับที่วินิจฉัย ในปี พ.ศ. 2564 แยกตามเพศ (Survival rate of liver cancer patients diagnosed in 2021 by gender)	77
แผนภูมิที่ 51	แสดงอัตราการรอดชีพของผู้ป่วยโรคมะเร็งปอดที่วินิจฉัย ในปี พ.ศ. 2562 (Survival rate of lung cancer patients diagnosed in 2019)	78

ขั้นตอนการทำทะเบียนมะเร็งระดับโรงพยาบาลของโรงพยาบาลจุฬาลงกรณ์

(Hospital – Based Cancer Registry)



ข้อมูลทะเบียนมะเร็งผู้ป่วยรายใหม่ที่ได้รับการวินิจฉัยและรักษา

ณ โรงพยาบาลจุฬาลงกรณ์ ในปี พ.ศ. 2565

ตารางที่ 1

แสดงจำนวนผู้ป่วยโรคมะเร็งรายใหม่ในปี พ.ศ. 2565

(Number of new cancer patients: 2022)

ผู้ป่วยโรคมะเร็ง	จำนวน	ร้อยละ
ผู้ป่วยมะเร็งรายใหม่เพศชาย	2,692	44.5
ผู้ป่วยมะเร็งรายใหม่เพศหญิง	3,354	55.5
รวม	6,046	100.0

ตารางที่ 2

แสดงจำนวนผู้ป่วยโรคมะเร็งรายใหม่ ในปี พ.ศ. 2562-2565

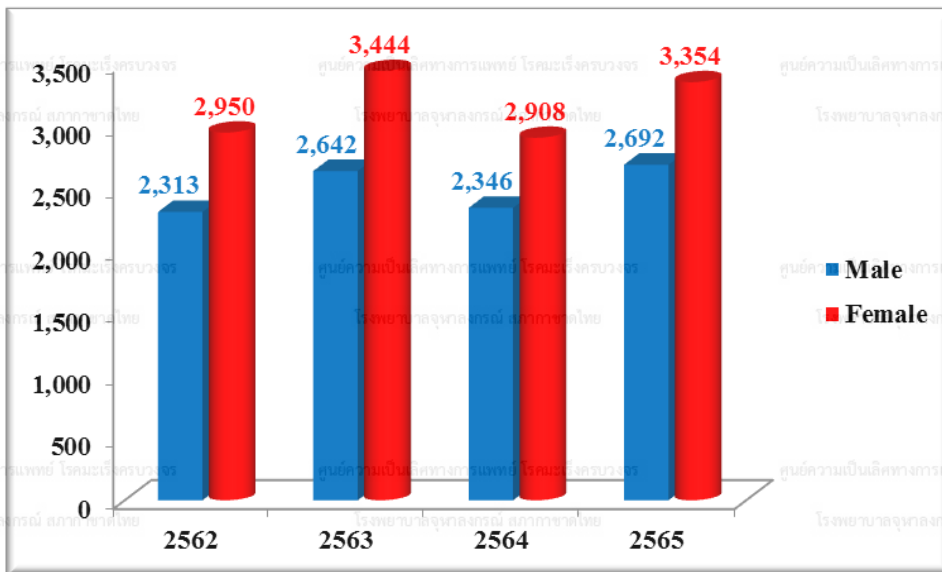
(Number of new cancer patients: 2019-2022)

Year	Male	Female	Total
2562	2,313	2,950	5,263
2563	2,642	3,444	6,086
2564	2,346	2,908	5,254
2565	2,692	3,354	6,046

แผนภูมิที่ 1

แสดงจำนวนผู้ป่วยโรคมะเร็งรายใหม่ ในปี พ.ศ. 2562-2565

(Trend of new cancer patients: 2019-2022)



ตารางที่ 3

แสดงจำนวนผู้ป่วยโรคมะเร็ง แบ่งตามกลุ่มโรค ในปี พ.ศ. 2565

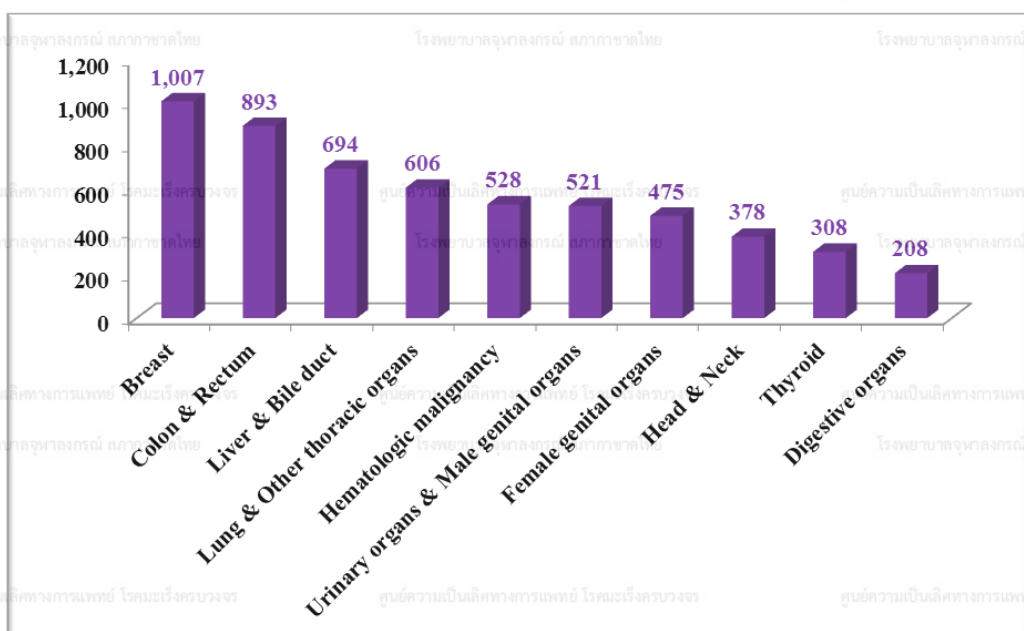
(Number of cancer by organs, 2022)

Organs	Male		Female		Total		ICD-10
	Case	%	Case	%	Case	%	
Head & Neck	268	10.0	110	3.3	378	6.3	C00-C14, C30-C32
Digestive organs	129	4.8	79	2.4	208	3.4	C15-C17, C26
Colon & Rectum	500	18.6	393	11.7	893	14.8	C18-C21
Liver & Bile duct	464	17.2	230	6.9	694	11.5	C22-C25
Lung & Other thoracic organs	317	11.8	289	8.6	606	10.0	C33-34, C37-39, C45
Bone & Soft tissue	63	2.3	72	2.1	135	2.2	C40-C41, C46-C49
Skin	60	2.2	57	1.7	117	1.9	C43-C44
Breast	3	0.1	1,004	29.9	1,007	16.7	C50
Female genital organs	0	0.0	475	14.2	475	7.9	C51-C58
Urinary organs & Male genital organs	457	17.0	64	1.9	521	8.6	C60-C68
Eye	4	0.1	3	0.1	7	0.1	C69
Brain & nervous system	60	2.2	50	1.5	110	1.8	C70-C72
Thyroid	59	2.2	249	7.4	308	5.1	C73
Other endocrine glands	13	0.5	13	0.4	26	0.4	C74-C75
Hematologic malignancy	280	10.4	248	7.4	528	8.7	C81-C96, D45-47
Other & unspecified	15	0.6	18	0.5	33	0.5	C80
Total	2,692	100.0	3,354	100.0	6,046	100.0	

แผนภูมิที่ 2

แสดงโรคมะเร็งที่พบบ่อยที่สุด 10 อันดับ แบ่งตามกลุ่มโรค ในปี พ.ศ. 2565

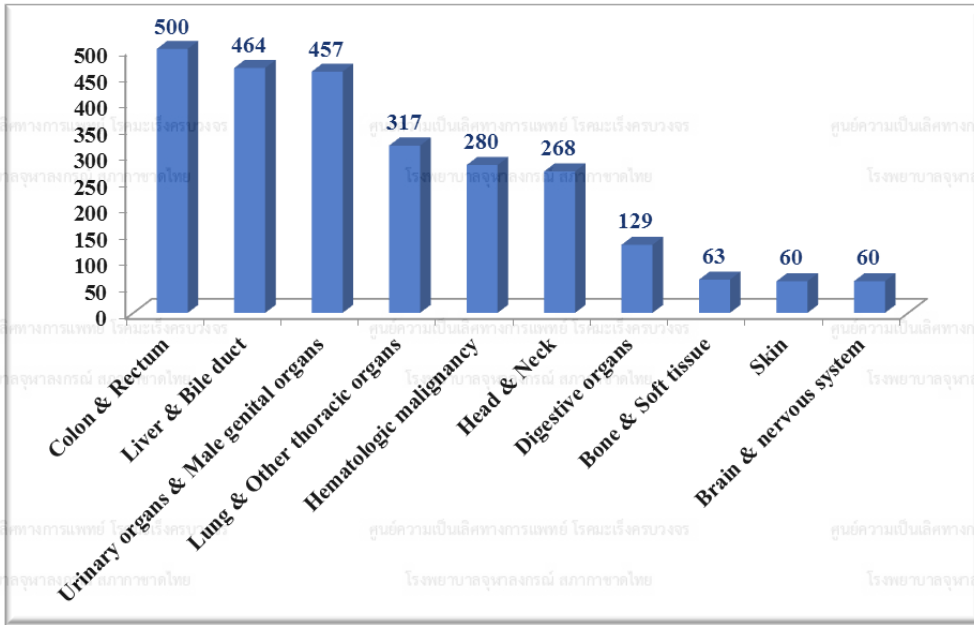
(Ten most common cancers by organ, 2022)



แผนภูมิที่ 3

แสดงโรคมะเร็งที่พบบ่อยที่สุด 10 อันดับ แบ่งตามกลุ่มโรค ในเพศชาย ในปี พ.ศ. 2565

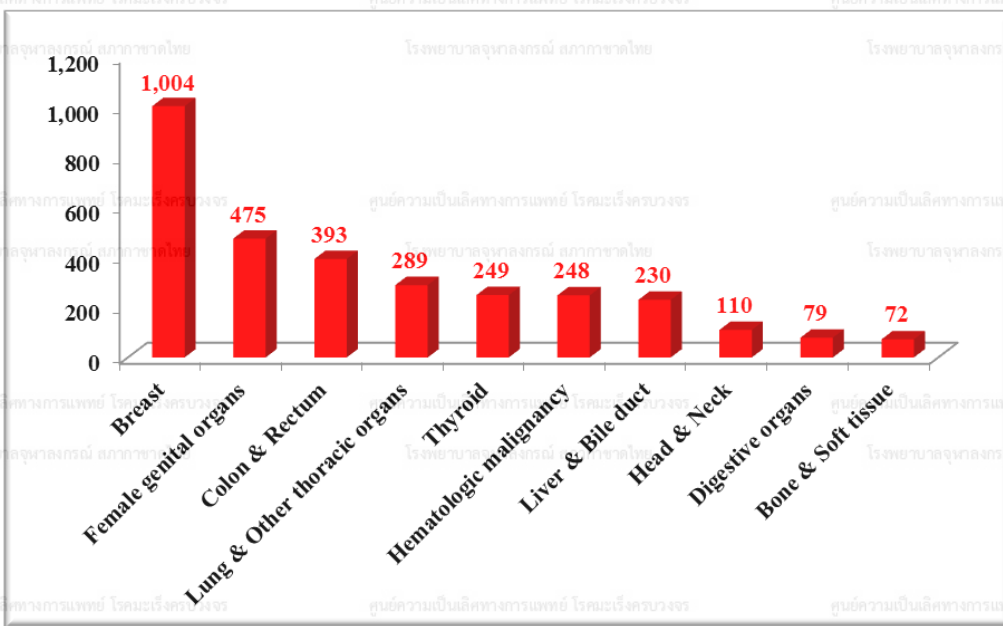
(Ten most common cancers by organ: male, 2022)



แผนภูมิที่ 4

แสดงโรคมะเร็งที่พบบ่อยที่สุด 10 อันดับ แบ่งตามกลุ่มโรค ในเพศหญิง ในปี พ.ศ. 2565

(Ten most common cancers by organ: female, 2022)



ตารางที่ 4

แสดงโรคมะเร็งที่พบบ่อยมากที่สุด 10 อันดับ ในเพศชาย ในปี พ.ศ. 2565

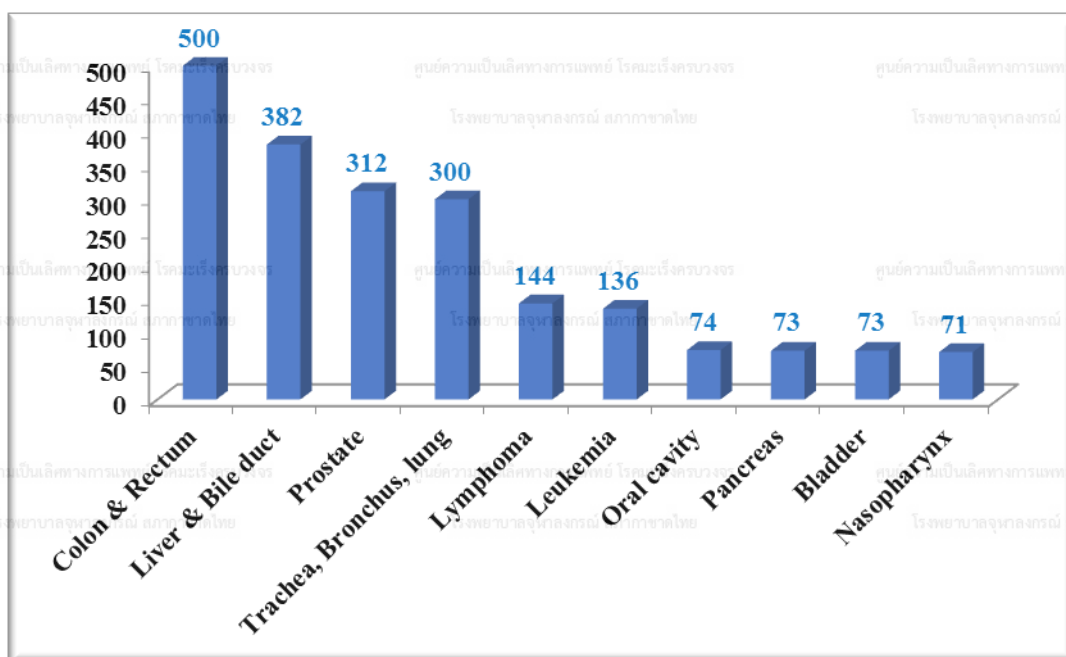
(Ten most common cancers: male, 2022)

Organs	Number	Percent
Colon & Rectum	500	18.6
Liver & Bile duct	382	14.2
Prostate	312	11.6
Trachea, Bronchus, lung	300	11.1
Lymphoma	144	5.3
Leukemia	136	5.1
Oral cavity	74	2.7
Pancreas	73	2.7
Bladder	73	2.7
Nasopharynx	71	2.6

แผนภูมิที่ 5

แสดงโรคมะเร็งที่พบบ่อยมากที่สุด 10 อันดับ ในเพศชาย ในปี พ.ศ. 2565

(Ten most common cancers: male, 2022)



ตารางที่ 5

แสดงโรคมะเร็งที่พบบ่อยมากที่สุด 10 อันดับ ในเพศหญิง ในปี พ.ศ. 2565

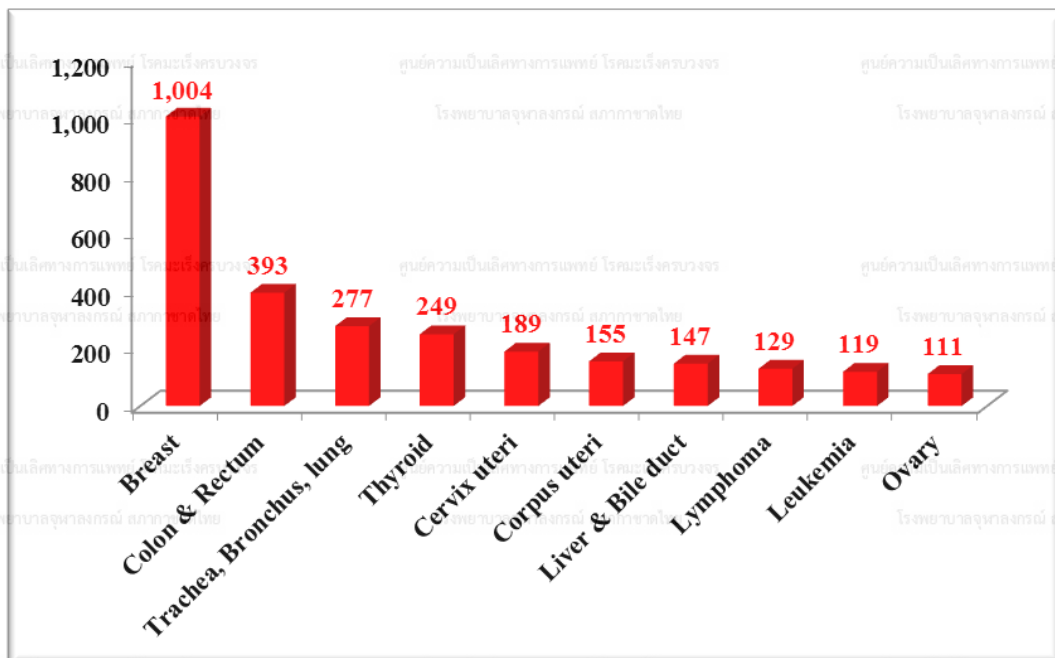
(Ten most common cancers: female, 2022)

Organs	Number	Percent
Breast	1,004	29.9
Colon & Rectum	393	11.7
Trachea, Bronchus, lung	277	8.3
Thyroid	249	7.4
Cervix uteri	189	5.6
Corpus uteri	155	4.6
Liver & Bile duct	147	4.4
Lymphoma	129	3.8
Leukemia	119	3.5
Ovary	111	3.3

แผนภูมิที่ 6

แสดงโรคมะเร็งที่พบบ่อยมากที่สุด 10 อันดับ ในเพศหญิง ในปี พ.ศ. 2565

(Ten most common cancers: female, 2022)



ตารางที่ 6

แสดงจำนวนผู้ป่วยโรคมะเร็ง จำแนกตามช่วงอายุ ในปี พ.ศ. 2565

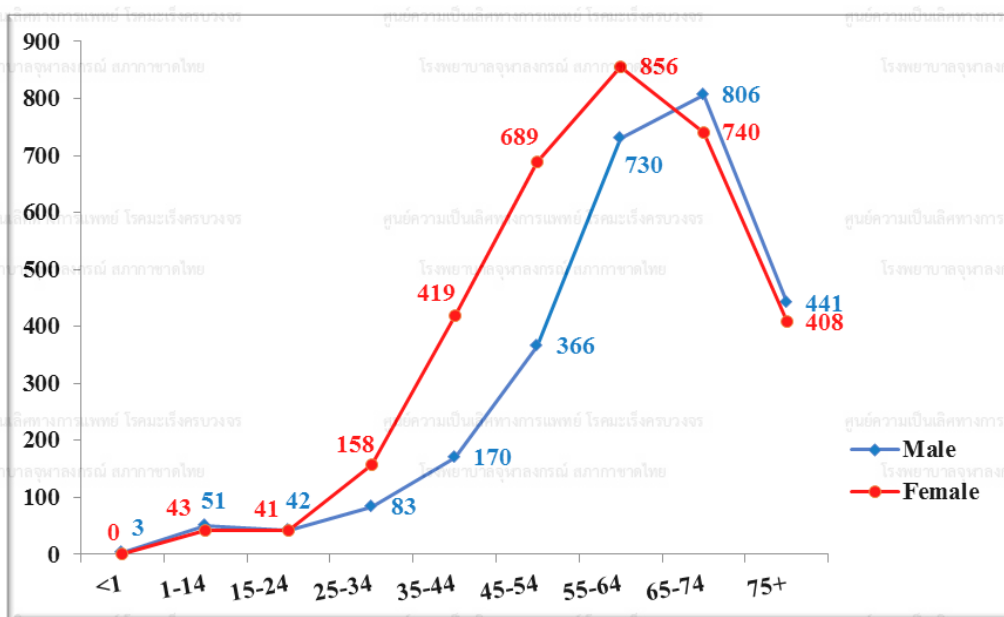
(Distribution of cancer patients by age-group, 2022)

Age group	Male		Female		Total	
	Number	%	Number	%	Number	%
<1	3	0.1	0	0.0	3	0.0
1-14	51	1.9	43	1.3	94	1.6
15-24	42	1.6	41	1.2	83	1.4
25-34	83	3.1	158	4.7	241	4.0
35-44	170	6.3	419	12.5	589	9.7
45-54	366	13.6	689	20.5	1055	17.4
55-64	730	27.1	856	25.5	1586	26.2
65-74	806	29.9	740	22.1	1546	25.6
75+	441	16.4	408	12.2	849	14.0
Total	2,692	100.0	3,354	100.0	6,046	100.0

แผนภูมิที่ 7

แสดงจำนวนผู้ป่วยโรคมะเร็ง จำแนกตามช่วงอายุ ในปี พ.ศ. 2565

(Distribution of cancer patients by age-group, 2022)



ตารางที่ 7

แสดงจำนวนผู้ป่วยโรคมะเร็ง จำแนกตามวิธีวินิจฉัย ในปี พ.ศ. 2565

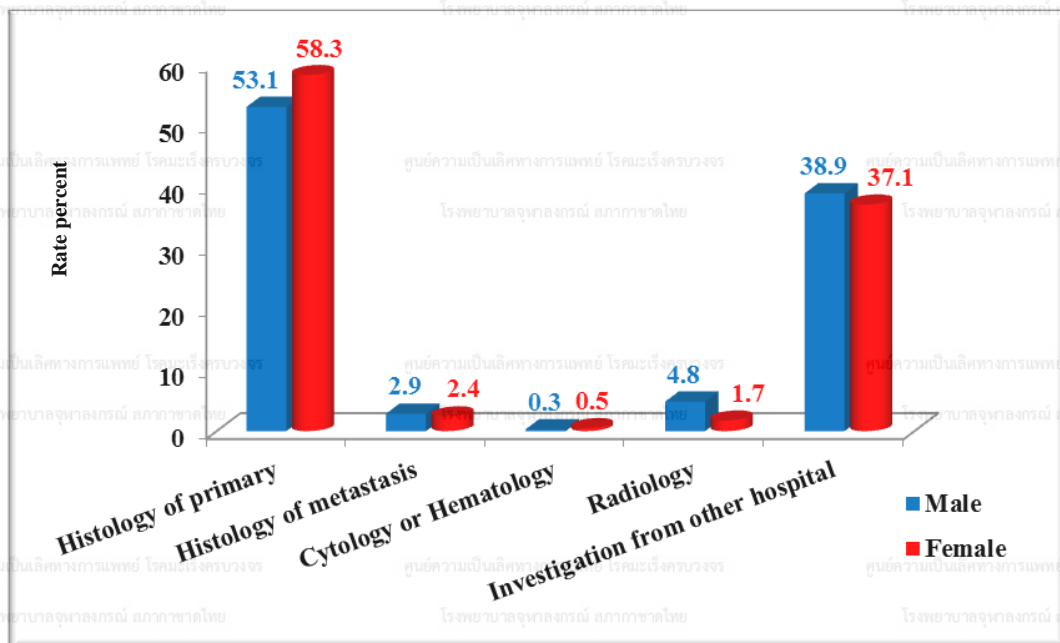
(Number of cancer patients by diagnostic method, 2022)

Method of diagnosis	Male		Female		Total	
	Number	%	Number	%	Number	%
Histology of primary	1,429	53.1	1,955	58.3	3,384	56.0
Histology of metastasis	77	2.9	81	2.4	158	2.6
Cytology or Hematology	8	0.3	16	0.5	24	0.4
Radiology	130	4.8	58	1.7	188	3.1
Investigation from other hospital	1,048	38.9	1,244	37.1	2,292	37.9
Total	2,692	100.0	3,354	100.0	6,046	100.0

แผนภูมิที่ 8

แสดงร้อยละของผู้ป่วยโรคมะเร็ง จำแนกตามวิธีวินิจฉัย ในปี พ.ศ. 2565

(Overall percentage of cancer patients by diagnostic method, 2022)



ตารางที่ 8

แสดงวิธีการรักษาผู้ป่วยโรคมะเร็ง แยกตามเพศ ในปี พ.ศ. 2565

(Method of treatment for cancer patients by gender, 2022)

วิธีการรักษา (ผู้ป่วย 1 ราย มีการรักษาได้มากกว่า 1 วิธี)	ผู้ป่วยชาย (n = 2,692)		ผู้ป่วยหญิง (n = 3,354)	
	จำนวน	ร้อยละ	จำนวน	ร้อยละ
Surgery	623	23.1	1,049	31.3
Radiation	1,015	37.7	1,522	45.4
Chemotherapy	994	36.9	1,361	40.6
Targeted therapy	316	11.7	506	15.1
Hormonal therapy	136	5.1	515	15.4
Interventional	205	7.6	517	15.4
TACE	110	4.1	40	1.2
Immunotherapy	106	3.9	64	1.9
Supportive Only	457	17.0	480	14.3
*No treatment data	213	7.9	217	6.5

*No treatment data: 1. ผู้ป่วยปฏิเสธการรักษา

2. ผู้ป่วยไปรักษาโรงพยาบาลอื่น

ตารางที่ 9

แสดงประเภทของโรคมะเร็งในเพศชาย จำแนกตามช่วงอายุ ในปี พ.ศ. 2565

SITE	ALL AGE	<1	1-14	15-24	25-34	35-44	45-54	55-64	65-74	75+	ICD -10
Oral cavity	74	-	-	-	1	7	9	29	20	8	C00, C02-C08
Oropharynx, etc.	39	-	-	-	-	-	13	16	7	3	C01, C09-C10,C14
Nasopharynx	71	-	-	-	1	11	18	27	10	4	C11
Hypopharynx	24	-	-	-	-	4	4	5	9	2	C12-C13
Esophagus	70	-	-	-	-	3	17	24	21	5	C15
Stomach	49	-	-	1	2	4	8	11	15	8	C16
Small intestine	10	-	-	-	1	-	-	-	7	2	C17
Colon & Rectum	500	-	-	2	13	23	86	126	168	82	C18-C21
Liver & Bile duct	382	-	-	1	2	35	48	129	113	54	C22, C24
Gallbladder	9	-	-	-	-	-	1	1	3	4	C23
Pancreas	73	-	-	1	-	2	16	20	24	10	C25
Nose, sinuses etc.	20	-	-	-	-	2	3	6	5	4	C30-C31
Larynx	40	-	-	-	-	1	6	14	12	7	C32
Trachea, bronchus, lung	300	-	-	1	2	12	31	81	111	62	C33-C34
Other thoracic organs	15	-	-	3	2	3	2	1	3	1	C37-C38
Bone	18	-	1	1	3	2	4	5	2	-	C40-C41
Skin	60	-	-	1	2	5	7	16	19	10	C43-C44
Mesothelioma	2	-	-	-	-	-	-	-	-	2	C45
Kaposi sarcoma	1	-	-	-	1	-	-	-	-	-	C46
Connective & Soft tissue	38	-	3	4	2	3	4	11	6	5	C47,C49
Retroperitoneum & Peritoneum	6	-	1	1	-	-	-	2	2	-	C48
Breast	3	-	-	-	-	-	-	1	1	1	C50
Penis	5	-	-	-	1	-	2	-	2	-	C60
Prostate	312	-	-	-	-	-	12	68	137	95	C61
Testis	4	1	-	1	-	1	1	-	-	-	C62
Kidney	52	1	1	1	1	6	13	12	11	6	C64
Renal pelvis	5	-	-	-	-	-	-	2	1	2	C65
Ureter	6	-	-	-	-	-	-	1	3	2	C66
Bladder	73	-	-	-	-	1	5	20	18	29	C67
Eye	4	-	-	-	-	-	-	1	2	1	C69
Brain, nervous system	60	-	15	6	6	7	7	15	3	1	C70-C72
Thyroid	59	-	-	2	10	14	3	18	12	-	C73
Adrenal gland	7	-	4	-	-	-	1	1	-	1	C74
Other endocrine	6	-	3	-	1	-	-	2	-	-	C75
Lymphoma	144	-	5	4	18	14	24	32	33	14	C81-C88,C96
Leukemia	110	1	17	12	10	9	17	24	12	8	C90-C95
Chronic myeloproliferative disease	15	-	1	-	1	1	3	3	4	2	MPD (D45,D47)
Myelodysplastic syndrome	11	-	-	-	1	-	-	1	6	3	MDS (D46)
Other & Unspecified	15	-	-	-	2	-	1	5	4	3	O&U
Total	2,692	3	51	42	83	170	366	730	806	441	

ตารางที่ 10

แสดงประเภทของโรคมะเร็งในเพศหญิง จำแนกตามช่วงอายุ ในปี พ.ศ. 2565

(Number of cancer patients by site: female, 2022)

SITE	ALL AGE	<1	1-14	15-24	25-34	35-44	45-54	55-64	65-74	75+	ICD -10
Oral cavity	60	-	-	2	1	7	9	20	14	7	C00, C02-C08
Oropharynx, etc.	5	-	-	-	-	-	-	5	-	-	C01, C09-C10,C14
Nasopharynx	33	-	-	-	2	6	7	11	3	4	C11
Hypopharynx	3	-	-	-	-	-	-	1	1	1	C12-C13
Esophagus	13	-	-	-	-	-	2	4	5	2	C15
Stomach	56	-	-	-	1	2	13	17	17	6	C16
Small intestine	10	-	-	-	-	-	1	1	6	2	C17
Colon & Rectum	393	-	-	1	11	25	70	99	110	77	C18-C21
Liver & Bile duct	147	-	1	-	4	4	16	33	45	44	C22,C24
Gallbladder	9	-	-	-	-	1	-	2	4	2	C23
Pancreas	74	-	-	-	-	1	6	22	29	16	C25
Nose, sinuses etc.	8	-	-	-	1	1	1	2	1	2	C30-C31
Larynx	1	-	-	-	-	-	-	1	-	-	C32
Trachea, bronchus, lung	277	-	-	-	4	16	38	70	96	53	C33-C34
Other thoracic organs	10	-	-	-	1	1	2	2	4	-	C37-C38
Bone	13	-	4	3	2	-	1	2	1	-	C40-C41
Skin	57	-	-	2	3	6	5	8	20	13	C43-C44
Mesothelioma	2	-	-	-	-	-	-	2	-	-	C45
Connective & Soft tissue	53	-	3	2	5	4	12	16	6	5	C47,C49
Retroperitoneum & Peritoneum	6	-	-	-	-	-	-	3	2	1	C48
Breast	1004	-	-	1	26	167	315	255	170	70	C50
Valva	7	-	-	-	-	-	3	1	1	2	C51
Vagina	4	-	-	-	-	-	-	1	3	-	C52
Cervix uteri	189	-	-	1	20	47	33	46	28	14	C53
Corpus uteri	155	-	-	-	6	14	24	58	34	19	C54
Uterus	3	-	-	-	1	1	1	-	-	-	C55
Ovary	111	-	1	2	3	19	31	32	20	3	C56
Female genital organs	4	-	-	-	-	1	1	1	1	-	C57
Placenta	2	-	-	-	-	2	-	-	-	-	C58
Kidney	24	-	-	-	1	1	6	7	9	-	C64
Renal pelvis	7	-	-	-	-	-	1	2	3	1	C65
Ureter	7	-	-	-	-	-	-	2	3	2	C66
Bladder	26	-	-	-	-	1	2	5	7	11	C67
Eye	3	-	-	-	-	1	-	-	-	2	C69
Brain, nervous system	50	-	13	3	8	8	5	9	3	1	C70-C72
Thyroid	249	-	1	14	40	53	49	42	36	14	C73
Adrenal gland	10	-	3	-	1	-	1	1	4	-	C74
Other endocrine	3	-	-	-	2	-	-	1	-	-	C75
Lymphoma	129	-	4	5	9	16	9	38	27	21	C81-C88,C96
Leukemia	96	-	13	4	6	11	19	22	14	7	C90-C95
Chronic myeloproliferative disease	11	-	-	1	-	1	3	2	4	-	MPD (D45,D47)
Myelodysplastic syndrome	12	-	-	-	-	1	2	4	2	3	MDS (D46)
Other & Unspecified	18	-	-	-	-	1	1	6	7	3	O&U
Total	3,354	0	43	41	158	419	689	856	740	408	

ตารางที่ 11

แสดงผลพยาธิวิทยา แยกตามชนิดของโรคมะเร็งและจำนวนที่พบในปี พ.ศ. 2565

Site code	Pathology	Morphology description	Male	Female	Total
C00, C02 - C08	Oral cavity		63	59	122
C00	Lip		0	3	3
	8070	Squamous cell carcinoma	0	3	3
C02	Tongue		31	28	59
	8051	Verrucous carcinoma	1	0	1
	8070	Squamous cell carcinoma	28	25	53
	8071	Squamous cell carcinoma, keratinizing	1	2	3
	8200	Adenoid cystic carcinoma	0	1	1
	8560	Adenosquamous carcinoma	1	0	1
C03	Gum		1	5	6
	8070	Squamous cell carcinoma	0	4	4
	8071	Squamous cell carcinoma, keratinizing	1	1	2
C04	Floor of Mouth		2	0	2
	8070	Squamous cell carcinoma	2	0	2
C05	Palate		6	4	10
	8070	Squamous cell carcinoma	6	4	10
C06	Mouth		5	7	12
	8070	Squamous cell carcinoma	4	4	8
	8071	Squamous cell carcinoma, keratinizing	1	1	2
	8200	Adenoid cystic carcinoma	0	1	1
	8811	Fibromyxosarcoma	0	1	1
C07	Parotid gland		15	12	27
	8070	Squamous cell carcinoma	2	0	2
	8200	Adenoid cystic carcinoma	0	2	2
	8246	Neuroendocrine carcinoma	0	1	1
	8430	Mucoepidermoid carcinoma	8	9	17
	8500	Duct carcinoma	2	0	2
	8502	Secretory carcinoma	1	0	1
	8550	Acinar cell carcinoma	1	0	1
	8941	Carcinoma in pleomorphic adenoma	1	0	1
C08	Major salivary gland		3	0	3
	8071	Squamous cell carcinoma, keratinizing	1	0	1
	8430	Mucoepidermoid carcinoma	1	0	1
	8500	Infiltrating duct carcinoma	1	0	1
C01, C09-C10,C14	Oropharynx, etc.		36	5	41
C01	Base of tongue		11	2	13
	8070	Squamous cell carcinoma	8	2	10
	8071	Squamous cell carcinoma, keratinizing	1	0	1
	8072	Squamous cell carcinoma, nonkeratinizing	2	0	2
C09	Tonsil		16	2	18
	8070	Squamous cell carcinoma	15	2	17
	8072	Squamous cell carcinoma, nonkeratinizing	1	0	1

Site code	Pathology	Morphology description	Male	Female	Total
C10	Oropharynx		9	1	10
	8070	Squamous cell carcinoma	8	0	8
	8071	Squamous cell carcinoma, keratinizing	1	0	1
	8200	Adenoid cystic carcinoma	0	1	1
C11	Nasopharynx		66	29	95
	8010	Carcinoma	2	1	3
	8020	Carcinoma, undifferentiated	8	1	9
	8070	Squamous cell carcinoma	4	1	5
	8071	Squamous cell carcinoma, keratinizing	1	1	2
	8072	Squamous cell carcinoma, nonkeratinizing	50	25	75
	8082	Lymphoepithelial carcinoma	1	0	1
C12-C13	Hypopharynx		23	3	26
C12	Pyriiform		12	0	12
	8070	Squamous cell carcinoma	11	0	11
	8082	Lymphoepithelial carcinoma	1	0	1
C13	Hypopharynx		11	3	14
	8052	Papillary squamous cell carcinoma	0	1	1
	8070	Squamous cell carcinoma	10	1	11
	8071	Squamous cell carcinoma, keratinizing	1	1	2
C15	Esophagus		65	13	78
	8070	Squamous cell carcinoma	59	11	70
	8071	Squamous cell carcinoma, keratinizing	1	0	1
	8072	Squamous cell carcinoma, nonkeratinizing	2	0	2
	8140	Adenocarcinoma	2	1	3
	8246	Neuroendocrine carcinoma	1	0	1
	8805	Undifferentiated sarcoma	0	1	1
C16	Stomach		46	53	99
	8140	Adenocarcinoma	33	32	65
	8144	Adenocarcinoma, intestinal type	1	1	2
	8145	Adenocarcinoma, diffuse type	2	0	2
	8211	Tubular adenocarcinoma	1	1	2
	8249	Neuroendocrine tumor, grade 2	1	0	1
	8480	Mucinous adenocarcinoma	1	0	1
	8490	Signet ring cell carcinoma	0	10	10
	8936	Gastrointestinal stromal sarcoma	7	9	16
C17	Small intestine		10	10	20
	8070	Squamous cell carcinoma	1	0	1
	8140	Adenocarcinoma	3	3	6
	8240	Neuroendocrine tumor, grade I	1	1	2
	8249	Neuroendocrine tumor, grade 2	0	1	1
	8936	Gastrointestinal stromal sarcoma	5	5	10
C18-C21	Colon & Rectum		449	362	811
C18	Colon		224	215	439
	8010	Carcinoma	1	0	1
	8013	Large cell neuroendocrine carcinoma	2	0	2
	8140	Adenocarcinoma	201	184	385

Site code	Pathology	Morphology description	Male	Female	Total
	8240	Neuroendocrine tumor, grade I	0	1	1
	8249	Neuroendocrine tumor, grade 2	0	1	1
	8480	Mucinous adenocarcinoma	18	27	45
	8481	Mucin-producing adenocarcinoma	0	1	1
	8490	Signet ring cell carcinoma	1	1	2
	8574	Adenocarcinoma with neuroendocrine differentiation	1	0	1
C19	Rectosigmoid juncton		25	22	47
	8140	Adenocarcinoma	25	22	47
C20	Rectum		179	118	297
	8010	Carcinoma	0	1	1
	8070	Squamous cell carcinoma	3	2	5
	8140	Adenocarcinoma	155	109	264
	8240	Neuroendocrine tumor, grade 1	0	1	1
	8244	Mixed adenoneuroendocrine carcinoma	1	0	1
	8246	Neuroendocrine carcinoma	1	0	1
	8249	Neuroendocrine tumor, grade 2	2	1	3
	8480	Mucinous adenocarcinoma	15	4	19
	8490	Signet ring cell carcinoma	1	0	1
	8936	Gastrointestinal stromal sarcoma	1	0	1
C21	Anus & Anal canal		21	7	28
	8070	Squamous cell carcinoma	7	2	9
	8123	Basaloid carcinoma	1	0	1
	8140	Adenocarcinoma	8	4	12
	8246	Neuroendocrine carcinoma	1	0	1
	8480	Mucinous adenocarcinoma	3	0	3
	8481	Mucin-p-producing adenocarcinoma	0	1	1
	8490	Signet ring cell carcinoma	1	0	1
C22, C24	Liver & Bile duct		92	30	122
C220, C222, 223-229	Liver		87	21	108
	8170	Hepatocellular carcinoma	81	16	97
	8174	Hepatocellular carcinoma, clear cell type	0	1	1
	8180	Hepatocholangiocarcinoma	6	1	7
	8970	Hepatoblastoma	0	1	1
	9120	Angiosarcoma	0	1	1
	9133	Epithelioid hemangioendothelioma	0	1	1
C221	Intrahepatic bile duct		43	33	76
	8010	Carcinoma	0	1	1
	8001	Tumor cells, malignant	1	0	1
	8140	Adenocarcinoma	24	14	38
	8160	Cholangiocarcinoma	17	18	35
	8503	Intraductal papillary-mucinous carcinoma of bile duct	1	0	1
C24	Other and unspecified parts of biliary tract		5	9	14
	8140	Adenocarcinoma	3	5	8
	8163	Pancreatobiliary-type carcinoma	1	4	5
	8480	Mucinous adenocarcinoma	1	0	1

Site code	Pathology	Morphology description	Male	Female	Total
C23	Gallbladder		3	6	9
	8070	Squamous cell carcinoma	0	1	1
	8140	Adenocarcinoma	3	4	7
	8480	Mucinous adenocarcinoma	0	1	1
C25	Pancreas		51	53	104
	8010	Carcinoma	1	1	2
	8020	Carcinoma, undifferentiated	1	0	1
	8140	Adenocarcinoma	32	39	71
	8151	Insulinoma, malignant	1	0	1
	8240	Neuroendocrine tumor, grade 1	4	3	7
	8246	Neuroendocrine carcinoma	2	1	3
	8249	Neuroendocrine tumor, grade 2	1	3	4
	8453	Intraductal papillary-mucinous carcinoma, invasive	1	0	1
	8481	Mucin-producing adenocarcinoma	1	0	1
	8500	Duct adenocarcinoma	6	6	12
	8560	Adenosquamous carcinoma	1	0	1
C30-C31	Nose, sinuses etc.		19	7	26
C30	Nasal cavity & Middle ear		14	6	20
	8020	Carcinoma, undifferentiated	0	1	1
	8070	Squamous cell carcinoma	5	2	7
	8072	Squamous cell carcinoma, nonkeratinizing	1	1	2
	8082	Lymphoepithelial carcinoma	1	1	2
	8140	Adenocarcinoma	1	0	1
	8901	Pleomorphic rhabdomyosarcoma, adult type	1	0	1
	8920	Alveolar rhabdomyosarcoma	1	0	1
	9522	Olfactory neuroblastoma	4	1	5
C31	Accessory sinuses		5	1	6
	8020	Carcinoma, undifferentiated	0	1	1
	8070	Squamous cell carcinoma	4	0	4
	8071	Squamous cell carcinoma, keratinizing	1	0	1
C32	Larynx		35	1	36
	8010	Carcinoma	1	0	1
	8013	Large cell neuroendocrine carcinoma	1	0	1
	8070	Squamous cell carcinoma	30	1	31
	8074	Squamous cell carcinoma, spindle cell	1	0	1
	8083	Basoloid squamous cell carcinoma	1	0	1
	8246	Neuroendocrine carcinoma	1	0	1
C33-C34	Trachea, Bronchus & Lung		253	245	498
C33	Trachea		0	1	1
	8430	Mucoepidermoid carcinoma	0	1	1
C34	Bronchus & Lung		253	244	497
	8001	Tumor cells, malignant	0	1	1
	8010	Carcinoma	2	1	3
	8041	Small cell carcinoma	11	2	13
	8045	Combined small cell-large cell carcinoma	0	0	0
	8046	Non-small cell carcinoma	21	3	24

Site code	Pathology	Morphology description	Male	Female	Total
	8070	Squamous cell carcinoma	27	9	36
	8071	Squamous cell carcinoma, keratinizing	4	0	4
	8072	Squamous cell carcinoma, nonkeratinizing	5	0	5
	8082	Lymphoepithelial carcinoma	0	1	1
	8140	Adenocarcinoma	155	181	336
	8200	Adenoid cystic carcinoma	0	1	1
	8230	Solid carcinoma	3	0	3
	8240	Neuroendocrine tumor, grade 1	0	1	1
	8246	Neuroendocrine carcinoma	1	0	1
	8250	Lepidic adenocarcinoma	4	4	8
	8260	Papillary adenocarcinoma	0	2	2
	8480	Mucinous adenocarcinoma	2	11	13
	8550	Acinar cell carcinoma	14	25	39
	8560	Adenosquamous carcinoma	2	0	2
	8805	Undifferentiated sarcoma	0	1	1
	8854	Pleomorphic liposarcoma	1	0	1
	9044	Clear cell sarcoma	1	0	1
	9120	Angiosarcoma	0	1	1
C37-C38	Other Thoracic organs		13	9	22
C37	Thymus		8	8	16
	8072	Squamous cell carcinoma, nonkeratinizing	0	1	1
	8580	Thymoma, malignant	1	1	2
	8581	Thymoma, type A, malignant	1	0	1
	8582	Thymoma, type AB, malignant	1	1	2
	8584	Thymoma, type B2, malignant	3	3	6
	8586	Thymic carcinoma	2	2	4
C38	Heart, Mediastinum, & Pleura		5	1	6
	8140	Adenocarcinoma	1	0	1
	8811	Fibromyxosarcoma	0	1	1
	8910	Embryonal rhabdomyosarcoma	1	0	1
	9061	Seminoma	1	0	1
	9064	Germinoma	1	0	1
	9120	Angiosarcoma	1	0	1
C40-C41	Bone		18	12	30
C40	Bones, Joints & Articular cartilage of Limbs		5	6	11
	9041	Synovial sarcoma, spindle cell	1	0	1
	9180	Osteosarcoma	2	5	7
	9186	Central osteosarcoma	0	1	1
	9220	Chondrosarcoma	1	0	1
	9260	Ewing sarcoma	1	0	1
C41	Bones, Joints & Articular cartilage of Other and unspecified sites		13	6	19
	9180	Osteosarcoma	5	0	5
	9186	Central osteosarcoma	0	2	2
	9220	Chondrosarcoma	1	1	2
	9260	Ewing sarcoma	0	2	2
	9270	Ameloblastic carcinoma	0	1	1

Site code	Pathology	Morphology description	Male	Female	Total
	9370	Chordoma	6	0	6
	9372	Dedifferentiated chordoma	1	0	1
C43-C44	Other Skin & Melanoma		59	55	114
C43	Melanoma		16	18	34
	8720	Malignant melanoma	15	15	30
	8772	Spindle cell melanoma	1	0	1
	8743	Superficial spreading melanoma	0	1	1
	8744	Acral lentiginous melanoma, malignant	0	1	1
	8771	Epithelioid cell melanoma	0	1	1
C44	Skin		43	37	80
	8070	Squamous cell carcinoma	10	9	19
	8071	Squamous cell carcinoma, keratinizing	1	0	1
	8072	Squamous cell carcinoma, nonkeratinizing	1	0	1
	8090	Basal cell carcinoma	13	16	29
	8092	Infiltrating basal cell carcinoma	0	1	1
	8097	Basal cell carcinoma, nodular	11	7	18
	8140	Adenocarcinoma	1	0	1
	8247	Merkel cell carcinoma	1	0	1
	8410	Sebaceous adenocarcinoma	1	2	3
	8832	Dermatofibrosarcoma	4	2	6
C45	Mesothelioma		2	2	4
	9050	Mesothelioma, malignant	2	1	3
	9051	Desmoplastic mesothelioma	0	1	1
C46	Kaposi's sarcoma		1	0	1
	9140	Kaposi sarcoma	1	0	1
C47;C49	Connective & Soft tissue		35	50	85
C47	Peripheral nerves & Autonomic nerves system		0	3	3
	9540	Malignant peripheral nerve sheath tumor	0	3	3
C49	Connective, subcutaneous & Other Soft tissue		35	47	82
	8800	Sarcoma	3	3	6
	8801	Spindle cell sarcoma	1	0	1
	8802	Giant cell sarcoma	1	3	4
	8803	Small cell sarcoma	1	2	3
	8805	Undifferentiated sarcoma	2	1	3
	8810	Fibrosarcoma	3	2	5
	8811	Fibromyxosarcoma	3	2	5
	8814	Infantile fibrosarcoma	1	0	1
	8815	Solitary fibrous tumor, malignant	0	4	4
	8830	Malignant fibrous histiocytoma	0	1	1
	8850	Liposarcoma	0	2	2
	8851	Liposarcoma, well differentiated	1	1	2
	8854	Pleomorphic liposarcoma	1	0	1
	8855	Mixed liposarcoma	0	1	1
	8858	Dedifferentiated liposarcoma	6	3	9
	8890	Leiomyosarcoma	3	10	13
	8896	Myxoid leiomyosarcoma	0	1	1

Site code	Pathology	Morphology description	Male	Female	Total
	8900	Rhabdomyosarcoma	1	0	1
	8910	Embryonal rhabdomyosarcoma	2	0	2
	8912	Spindle cell rhabdomyosarcoma	1	0	1
	8920	Alveolar rhabdomyosarcoma	0	1	1
	8936	Gastrointestinal stromal sarcoma	2	4	6
	9040	Synovial sarcoma	0	2	2
	9044	Clear cell sarcoma	0	1	1
	9120	Hemangiosarcoma	2	0	2
	9180	Extraskeletal osteosarcoma	0	1	1
	9260	Ewing sarcoma	0	1	1
	9364	Peripheral neuroectodermal tumor	1	0	1
	9581	Alveolar soft part sarcoma	0	1	1
C48	Retroperitoneum & Peritoneum		5	5	10
	8140	Adenocarcinoma	0	1	1
	8380	Endometrioid adenocarcinoma	0	1	1
	8441	Serous cystadenocarcinoma	0	1	1
	8806	Desmoplastic small round cell tumor	2	0	2
	8850	Liposarcoma	1	0	1
	8858	Dedifferentiated liposarcoma	2	1	3
	8890	Leiomyosarcoma	0	1	1
C50	Breast		3	938	941
	8010	Carcinoma	0	21	21
	8050	Papillary carcinoma	0	1	1
	8071	Squamous cell carcinoma, keratinizing	0	1	1
	8140	Adenocarcinoma	0	3	3
	8201	Ductal carcinoma, cribriform type	0	2	2
	8211	Tubular adenocarcinoma	0	1	1
	8343	Papillary carcinoma encapsulated	0	5	5
	8480	Mucinous adenocarcinoma	0	26	26
	8500	Infiltrating duct carcinoma	3	819	822
	8503	Intraductal papillary adenocarcinoma with invasion	0	4	4
	8520	Infiltrating lobular carcinoma	0	24	24
	8521	Infiltrating ductular carcinoma	0	1	1
	8522	Infiltrating duct & lobular carcinoma	0	4	4
	8523	Infiltrating duct mixed with other type of carcinoma	0	14	14
	8524	Infiltrating lobular mixed with other type of carcinoma	0	2	2
	8575	Metaplastic carcinoma	0	4	4
	8980	Carcinosarcoma	0	1	1
	9020	Phyllodes tumor, malignant	0	5	5
C51	Vulva		0	7	7
	8051	Verrucous carcinoma	0	1	1
	8071	Squamous cell carcinoma, keratinizing	0	3	3
	8090	Basal cell carcinoma	0	1	1
	8140	Adenocarcinoma	0	1	1
	8542	Paget disease, extramammary	0	1	1

Site code	Pathology	Morphology description	Male	Female	Total
C52	Vagina		0	4	4
	8070	Squamous cell carcinoma	0	1	1
	8310	Clear cell carcinoma	0	2	2
	8720	Malignant melanoma	0	1	1
C53	Cervix uteri		0	164	164
	8041	Small cell carcinoma	0	1	1
	8070	Squamous cell carcinoma	0	32	32
	8071	Squamous cell carcinoma, keratinizing	0	11	11
	8072	Squamous cell carcinoma, large cell, nonkeratinizing	0	76	76
	8073	Squamous cell carcinoma, small cell, nonkeratinizing	0	3	3
	8076	Squamous cell carcinoma, microinvasive	0	2	2
	8140	Adenocarcinoma	0	17	17
	8246	Neuroendocrine carcinoma	0	2	2
	8380	Endometrioid adenocarcinoma	0	1	1
	8384	Adenocarcinoma, endocervical type	0	12	12
	8480	Mucinous adenocarcinoma	0	1	1
	8560	Adenosquamous carcinoma	0	6	6
C54	Corpus uteri		0	143	143
	8010	Carcinoma	0	1	1
	8015	Glassy cell carcinoma	0	1	1
	8020	Carcinoma, undifferentiated	0	1	1
	8140	Adenocarcinoma	0	7	7
	8310	Clear cell carcinoma	0	6	6
	8380	Endometrioid adenocarcinoma	0	106	106
	8441	Serous cystadenocarcinoma	0	6	6
	8461	Serous surface papillary carcinoma	0	2	2
	8890	Leiomyosarcoma	0	3	3
	8930	Endometrial stromal sarcoma	0	6	6
	8950	Mullerian mixed tumor	0	2	2
	8980	Carcinosarcoma	0	2	2
C55	Uterus		0	3	3
	8380	Endometrioid adenocarcinoma	0	1	1
	8930	Endometrial stromal sarcoma	0	1	1
	9581	Alveolar soft part sarcoma	0	1	1
C56	Ovary		0	98	98
	8010	Carcinoma	0	3	3
	8140	Adenocarcinoma	0	7	7
	8310	Clear cell carcinoma	0	23	23
	8380	Endometrioid adenocarcinoma	0	19	19
	8441	Serous cystadenocarcinoma	0	33	33
	8470	Mucinous cystadenocarcinoma	0	5	5
	8480	Mucinous adenocarcinoma	0	3	3
	8620	Granulosa cell tumor, malignant	0	1	1
	8980	Carcinosarcoma	0	1	1
	9064	Germinoma	0	1	1
	9080	Teratoma, malignant	0	2	2

Site code	Pathology	Morphology description	Male	Female	Total
C57	Female genital tract		0	4	4
	8380	Endometrioid adenocarcinoma	0	2	2
	8441	Serous cystadenocarcinoma	0	2	2
C58	Placenta		0	1	1
	9100	Choriocarcinoma	0	1	1
C60	Penis		5	0	5
	8070	Squamous cell carcinoma	4	0	4
	8071	Squamous cell carcinoma, keratinizing	1	0	1
C61	Prostate		262	0	262
	8140	Adenocarcinoma	80	0	80
	8500	Duct adenocarcinoma	2	0	2
	8550	Acinar cell carcinoma	180	0	180
C62	Testis		4	0	4
	9061	Seminoma	1	0	1
	9064	Germinoma	1	0	1
	9080	Teratoma, malignant	1	0	1
	9085	Mixed germ cell tumor	1	0	1
C64	Kidney		50	20	70
	8240	Neuroendocrine carcinoma, low grade	0	1	1
	8260	Papillary renal cell carcinoma	1	1	2
	8312	Renal cell carcinoma	46	18	64
	8318	Renal cell carcinoma, sarcomatoid	1	0	1
	8960	Nephroblastoma	2	0	2
C65	Renal pelvis		5	7	12
	8010	Carcinoma	0	1	1
	8070	Squamous cell carcinoma	0	1	1
	8120	Transitional cell carcinoma	1	1	2
	8130	Papillary transitional cell carcinoma	3	4	7
	8140	Adenocarcinoma	1	0	1
C66	Ureter		6	6	12
	8120	Transitional cell carcinoma	4	3	7
	8130	Papillary transitional cell carcinoma	2	3	5
C67	Bladder		65	23	88
	8013	Large cell neuroendocrine carcinoma	0	1	1
	8120	Transitional cell carcinoma	42	16	58
	8130	Papillary transitional cell carcinoma	23	5	28
	8804	Epithelioid sarcoma	0	1	1
C69	Eye		4	2	6
	8070	Squamous cell carcinoma	3	2	5
	8200	Adenoid cystic carcinoma	1	0	1
C70-C72	Brain, nervous system		55	44	99
C70	Meninges		1	3	4
	9380	Glioma, malignant	1	0	1
	9530	Meningioma, malignant	0	3	3

Site code	Pathology	Morphology description	Male	Female	Total
C71	Brain		51	37	88
	9064	Germinoma	2	0	2
	9085	Mixed germ cell tumor	1	0	1
	9380	Glioma, malignant	16	13	29
	9391	Ependyoma	2	1	3
	9392	Ependyoma, anaplastic	0	1	1
	9400	Astrocytoma	10	11	21
	9440	Glioblastoma	12	7	19
	9442	Gliosarcoma	1	1	2
	9450	Oligodendroglioma	1	1	2
	9470	Medulloblastoma	5	1	6
	9505	Ganglioglioma, anaplastic	0	1	1
	9508	Atypical teratoid/rhabdoid tumor	1	0	1
C72	Spinal cord, cranial nerves, and other parts of central nervous system		3	4	7
	9380	Glioma, malignant	1	1	2
	9391	Ependyoma	2	3	5
C73	Thyroid		58	237	295
	8010	Carcinoma	2	2	4
	8021	Carcinoma, anaplastic	1	2	3
	8070	Squamous cell carcinoma	0	1	1
	8260	Papillary adenocarcinoma	29	127	156
	8290	Oxyphilic adenocarcinoma	1	8	9
	8330	Follicular adenocarcinoma	3	14	17
	8335	Follicular carcinoma, minimally invasive	3	7	10
	8340	Papillary carcinoma, follicular variant	1	27	28
	8341	Papillary microcarcinoma	13	25	38
	8343	Papillary carcinoma, encapsulated	2	14	16
	8344	Papillary carcinoma, columnar cell	1	8	9
	8347	Mixed medullary-papillary carcinoma	1	0	1
	8510	Medullary carcinoma	1	2	3
C74	Adrenal gland		5	8	13
	8370	Adrenal cortical carcinoma	0	6	6
	8700	Pheochromocytoma, malignant	1	0	1
	9500	Neuroblastoma	4	2	6
C75	Other endocrine		5	2	7
	8693	Extra-adrenal paraganglioma, malignant	1	0	1
	9064	Germinoma	2	0	2
	9085	Mixed germ cell tumor	1	0	1
	9362	Pineoblastoma	1	1	2
	9395	Papillary tumor of the pineal region	0	1	1
C81-C88,C96	Lymphoma		144	129	273
C81	Hodgkin's disease		14	10	24
	9650	Hodgkin lymphoma	7	4	11
	9651	Hodgkin lymphoma, lymphocyte-rich	0	1	1
	9652	Hodgkin lymphoma, mixed cellularity	0	2	2
	9659	Hodgkin lymphoma, nodular lymphocyte predominance	1	0	1

Site code	Pathology	Morphology description	Male	Female	Total
	9663	Hodgkin lymphoma, nodular sclerosis	6	3	9
C82	Follicular (nodular) non-Hodgkin's lymphoma		15	18	33
	9690	Follicular lymphoma	2	1	3
	9691	Follicular lymphoma, grade 2	5	6	11
	9695	Follicular lymphoma, grade1	3	5	8
	9698	Follicular lymphoma, grade 3	5	6	11
C83	Diffuse non-Hodgkin's lymphoma		84	74	158
	9670	Malignant lymphoma, small B lymphocytic	1	5	6
	9671	Malignant lymphoma, lymphoplasmacytic	1	0	1
	9673	Mantle cell lymphoma	8	2	10
	9675	Malignant lymphoma, mixed small and large cell, diffuse	1	0	1
	9679	Mediastinal large B-cell lymphoma	2	1	3
	9680	Malignant lymphoma, large B-cell, diffuse	63	55	118
	9687	Burkitt lymphoma	3	1	4
	9689	Splenic marginal zone B-cell lymphoma	0	1	1
	9699	Marginal zone B-cell lymphoma	4	8	12
	9712	Intravascular large B-cell lymphoma	0	1	1
	9735	Plasmablastic lymphoma	1	0	1
C84	Peripheral and cutaneous T-cell lymphomas		7	7	14
	9700	Mycosis fungoides	1	3	4
	9702	Mature T-cell lymphoma	4	3	7
	9714	Anaplastic large cell lymphoma, T cell and Null cell type	2	1	3
C85	Other and unspecified types of non-Hodgkin's lymphoma		5	6	11
	9590	Malignant lymphoma	1	1	2
	9591	Malignant lymphoma, non-Hodgkin	2	3	5
	9679	Thymic large B-cell lymphoma	2	2	4
C86	Other specified types of T/NK-cell lymphoma		7	4	11
	9705	Angioimmunoblastic T-cell lymphoma	2	1	3
	9708	Subcutaneous panniculitis-like T-cell lymphoma	0	2	2
	9717	Intestinal T-cell lymphoma	0	1	1
	9719	NK/T-cell lymphoma, nasal and nasal-type	5	0	5
C88	Other B-cell lymphoma malignant immunoproliferative diseases		8	8	16
	9699	Extranodal marginal zone B-cell lymphoma of mucosa associated lymphoid tissue (MALT-lymphoma)	8	6	14
	9761	Waldenstrom macroglobulinemia	0	2	2
C96	Other and unspecified malignant neoplasm of lymphoid, haematopoietic and related tissue		4	2	6
	9740	Mast cell sarcoma	0	1	1
	9751	Langerhans cell histiocytosis	3	1	4
	9758	Follicular dendritic cell sarcoma	1	0	1
C90	Multiple myeloma and malignant plasma cell neoplasms		28	35	63
	9731	Plasmacytoma	0	1	1
	9732	Multiple myeloma	28	33	61
	9734	Plasmacytoma, extramedullary	0	1	1
C91-C95	Leukemia		82	62	144
C91	Lymphoid leukemia		39	24	63
	9823	B-cell chronic lymphocytic leukemia/small lymphocytic lymphoma	10	8	18

Site code	Pathology	Morphology description	Male	Female	Total
	9826	Burkitt cell leukemia	1	0	1
	9835	Precursor cell lymphoblastic leukemia	14	10	24
	9836	Precursor B-cell lymphoblastic leukemia	10	3	13
	9837	Precursor T-cell lymphoblastic leukemia	3	3	6
	9940	Hairy cell leukemia	1	0	1
C92	Myeloid leukemia		37	35	72
	9861	Acute myeloid leukemia	20	22	42
	9863	Chronic myeloid leukemia	13	6	19
	9866	Acute promyelocytic leukemia	2	3	5
	9872	Acute myeloid leukemia, minimal differentiation	0	1	1
	9873	Acute myeloid leukemia without maturation	0	1	1
	9875	Chronic myelogenous leukemia, BCR/ABL positive	0	1	1
	9876	Atypical chronic myeloid leukemia, BCR/ABL negative	0	1	1
	9895	Acute myeloid leukemia with myelodysplasia-related changes	2	0	2
C93	Monocytic leukemia		4	2	6
	9891	Acute monocytic leukemia	3	2	5
	9946	Juvenile myelomonocytic leukemia	1	0	1
C94	Other leukemias of specified cell type		1	1	2
	9840	Acute myeloid leukemia, M6 type	1	0	1
C95	Leukemia of unspecified cell type		1	0	1
	9800	Leukemia	1	0	1
D45, D47	Myeloproliferative neoplasm (MPD)		15	13	28
D45	Polycythaemia vera		6	6	12
	9950	Polycythemia vera	6	6	12
D47	Other neoplasms of uncertain or unknown behaviour of lymphoid, haematopoietic and related tissue		9	5	14
	9960	Myeloproliferative disease	2	1	3
	9961	Primary myelofibrosis	4	1	5
	9962	Essential thrombocythemia	2	2	4
	9964	Chronic eosinophilic leukemia	1	1	2
D46	Myelodysplastic Syndromes (MDS)		11	12	23
	9980	Refractory anemia	2	0	2
	9982	Refractory anemia with sideroblasts	1	0	1
	9983	Refractory anemia with excess blasts	2	1	3
	9986	Myelodysplastic syndrome with 5q deletion syndrome	0	1	1
	9989	Myelodysplastic syndromes	6	10	16
C80	Other & unspecified		11	11	22
	8001	Tumor cells, malignant	0	1	1
	8010	Carcinoma	2	3	5
	8041	Small cell carcinoma	1	1	2
	8070	Squamous cell carcinoma	3	2	5
	8140	Adenocarcinoma	4	4	8
	8240	Neuroendocrine tumor, grade I	1	0	1

ข้อมูลโรคมะเร็งที่พบบ่อยของโรงพยาบาลจุฬาลงกรณ์ ในปี พ.ศ. 2565

- ◆ มะเร็งลำไส้ใหญ่และทวารหนัก (colon & rectum cancer)
- ◆ มะเร็งตับและท่อน้ำดี (liver & bile duct cancer)
- ◆ มะเร็งปอด (lung cancer)
- ◆ มะเร็งเต้านม (breast cancer)
- ◆ มะเร็งปากมดลูก (cervix uteri cancer)
- ◆ มะเร็งมดลูก (corpus uteri cancer)
- ◆ มะเร็งรังไข่ (ovarian cancer)
- ◆ มะเร็งต่อมลูกหมาก (prostate cancer)
- ◆ มะเร็งต่อมน้ำเหลือง (lymphoma)
- ◆ มะเร็งเม็ดเลือดขาว (leukemia)

◆ Colon & Rectum cancer

ตารางที่ 12

แสดงจำนวนผู้ป่วยโรคมะเร็งลำไส้ใหญ่และทวารหนัก ในปี พ.ศ. 2562-2565

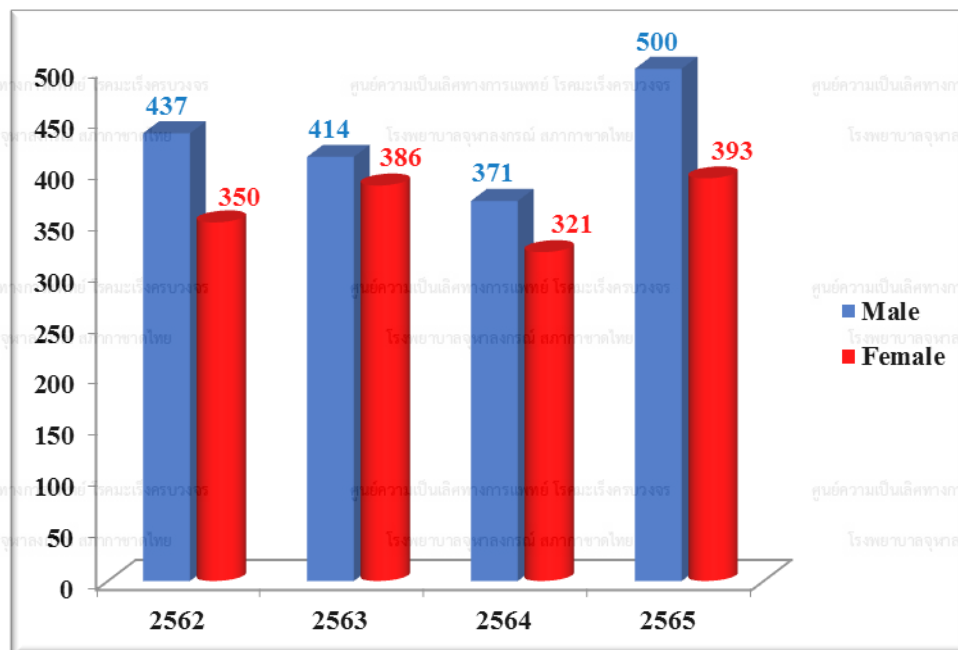
(Trend of colon & rectum cancer, 2019-2022)

Years	Number of patients		Total
	Male	Female	
2562	437	350	787
2563	414	386	800
2564	371	321	692
2565	500	393	893

แผนภูมิที่ 9

แสดงจำนวนผู้ป่วยโรคมะเร็งลำไส้ใหญ่และทวารหนัก ในปี พ.ศ. 2562-2565

(Trend of colon & rectum cancer, 2019-2022)



ตารางที่ 13

แสดงจำนวนผู้ป่วยโรคมะเร็งลำไส้ใหญ่และทวารหนัก จำแนกตามช่วงอายุ ในปี พ.ศ. 2565

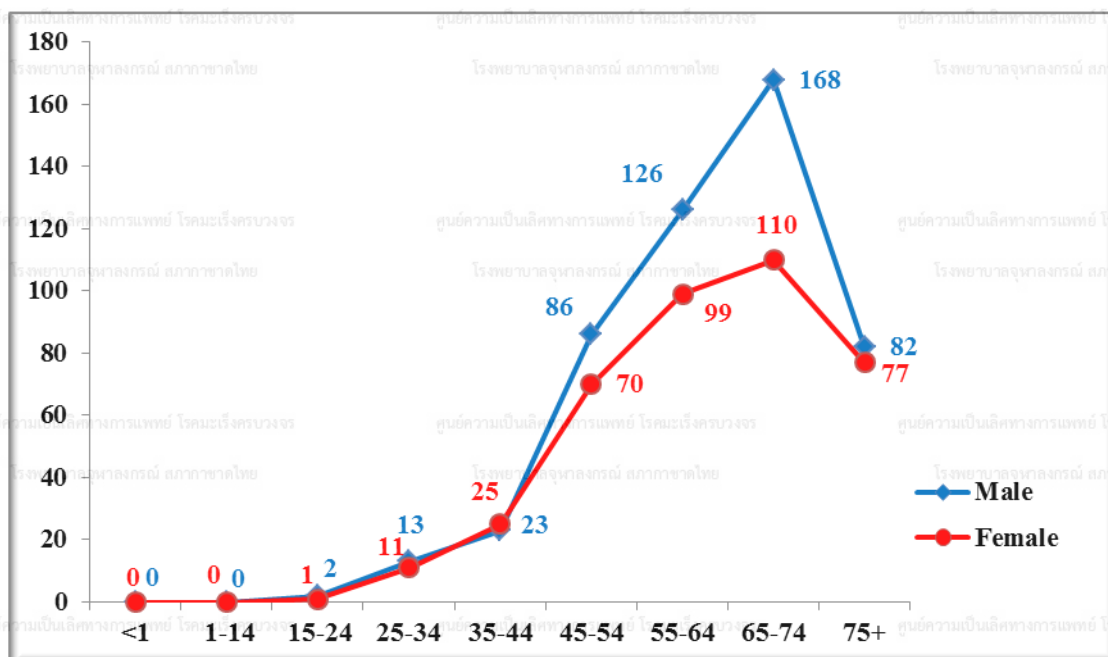
(Distribution of colon & rectum cancer by age-group, 2022)

Age group	Male		Female		Total	
	Number	%	Number	%	Number	%
<1	0	0.0	0	0.0	0	0.0
1-14	0	0.0	0	0.0	0	0.0
15-24	2	0.4	1	0.3	3	0.3
25-34	13	2.6	11	2.8	24	2.7
35-44	23	4.6	25	6.4	48	5.4
45-54	86	17.2	70	17.8	156	17.5
55-64	126	25.2	99	25.2	225	25.2
65-74	168	33.6	110	28.0	278	31.1
75+	82	16.4	77	19.6	159	17.8
Total	500	100.0	393	100.0	893	100.0

แผนภูมิที่ 10

แสดงจำนวนผู้ป่วยโรคมะเร็งลำไส้ใหญ่และทวารหนัก จำแนกตามช่วงอายุ ในปี พ.ศ. 2565

(Distribution of colon & rectum cancer by age-group, 2022)



ตารางที่ 14

แสดงจำนวนผู้ป่วยโรคมะเร็งลำไส้ใหญ่และทวารหนัก จำแนกตามวิธีวินิจฉัย ในปี พ.ศ. 2565

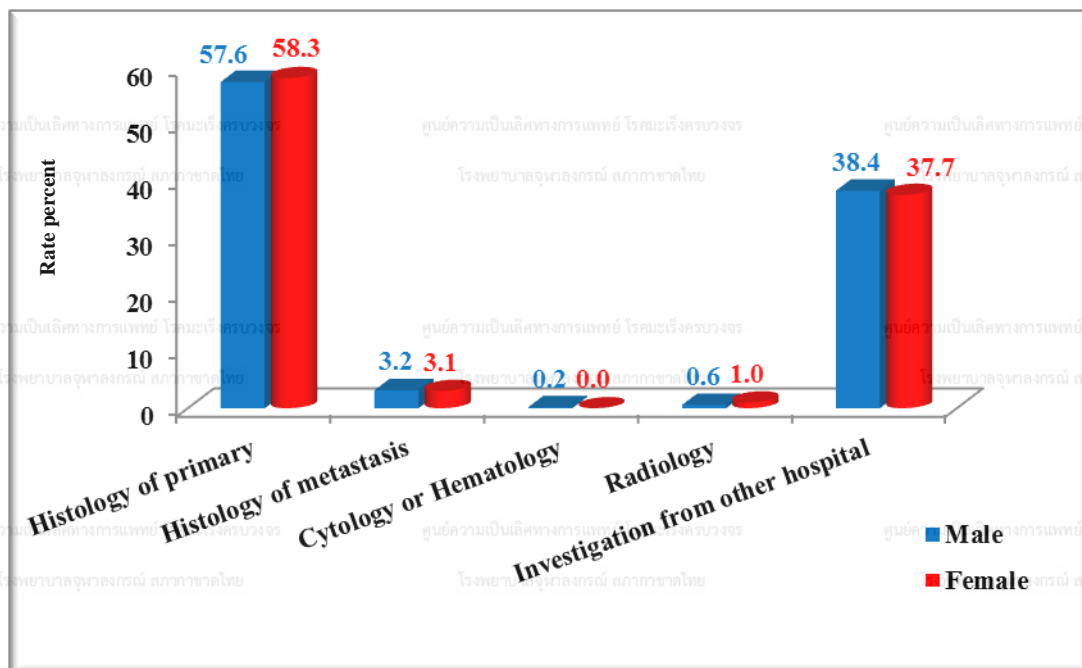
(Number of colon & rectum cancer patients by diagnostic method, 2022)

Method of diagnosis	Male		Female		Total	
	Number	%	Number	%	Number	%
Histology of primary	288	57.6	229	58.3	517	57.9
Histology of metastasis	16	3.2	12	3.1	28	3.1
Cytology or Hematology	1	0.2	0	0.0	1	0.1
Radiology	3	0.6	4	1.0	7	0.8
Investigation from other hospital	192	38.4	148	37.7	340	38.1
Total	500	100.0	393	100.0	893	100.0

แผนภูมิที่ 11

แสดงร้อยละของผู้ป่วยโรคมะเร็งลำไส้ใหญ่และทวารหนัก จำแนกตามวิธีวินิจฉัย ในปี พ.ศ. 2565

(Percentage of colon & rectum cancer patients by diagnostic method, 2022)



ตารางที่ 15

แสดงวิธีการรักษาผู้ป่วยโรคมะเร็งลำไส้ใหญ่และทวารหนัก แยกตามเพศ ในปี พ.ศ. 2565

(Method of treatment for colon & rectum cancer patients by gender, 2022)

วิธีการรักษา (ผู้ป่วย 1 ราย มีการรักษาได้มากกว่า 1 วิธี)	ผู้ป่วยชาย (n = 500)		ผู้ป่วยหญิง (n = 393)	
	จำนวน	ร้อยละ	จำนวน	ร้อยละ
Surgery	196	39.2	164	41.7
Radiation	154	30.8	76	19.3
Chemotherapy	270	54.0	185	47.1
Targeted therapy	66	13.2	39	9.9
Interventional	39	7.8	27	6.9
Immunotherapy	5	1.0	4	1.0
Supportive Only	65	13.0	70	17.8
*No treatment data	45	9.0	41	10.4

*No treatment data: 1. ผู้ป่วยปฏิเสธการรักษา

2. ผู้ป่วยไปรักษาโรงพยาบาลอื่น

◆ Liver & Bile duct cancer

ตารางที่ 16

แสดงจำนวนผู้ป่วยโรคมะเร็งตับและท่อน้ำดี ในปี พ.ศ. 2562-2565

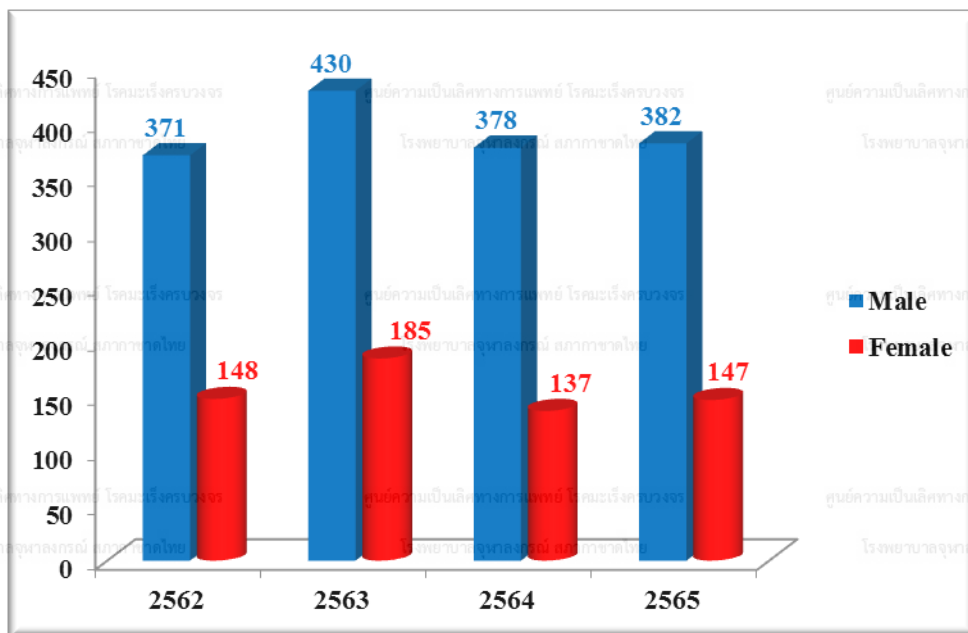
(Trend of liver & bile duct cancer, 2019-2022)

Years	Number of patients		Total
	Male	Female	
2562	371	148	519
2563	430	185	615
2564	378	137	515
2565	382	147	529

แผนภูมิที่ 12

แสดงจำนวนผู้ป่วยโรคมะเร็งตับและท่อน้ำดี ในปี พ.ศ. 2562-2565

(Trend of liver & bile duct cancer, 2019-2022)



ตารางที่ 17

แสดงจำนวนผู้ป่วยโรคมะเร็งตับและท่อน้ำดี จำแนกตามช่วงอายุ ในปี พ.ศ. 2565

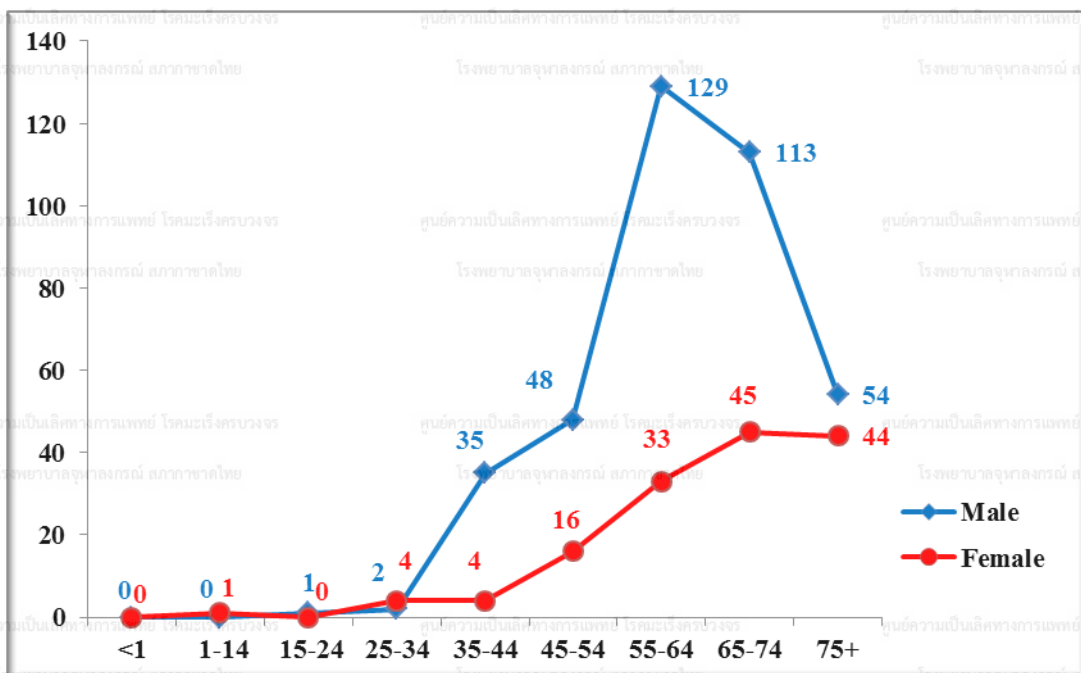
(Distribution of liver & bile duct cancer by age-group, 2022)

Age group	Male		Female		Total	
	Number	%	Number	%	Number	%
<1	0	0.0	0	0.0	0	0.0
1-14	0	0.0	1	0.7	1	0.2
15-24	1	0.3	0	0.0	1	0.2
25-34	2	0.5	4	2.7	6	1.1
35-44	35	9.2	4	2.7	39	7.4
45-54	48	12.6	16	10.9	64	12.1
55-64	129	33.8	33	22.4	162	30.6
65-74	113	29.6	45	30.6	158	29.9
75+	54	14.1	44	29.9	98	18.5
Total	382	100.0	147	100.0	529	100.0

แผนภูมิที่ 13

แสดงจำนวนผู้ป่วยโรคมะเร็งตับและท่อน้ำดี จำแนกตามช่วงอายุ ในปี พ.ศ. 2565

(Distribution of liver & bile duct cancer by age-group, 2022)



ตารางที่ 18

แสดงจำนวนผู้ป่วยโรคมะเร็งตับและท่อน้ำดี จำแนกตามวิธีวินิจฉัย ในปี พ.ศ. 2565

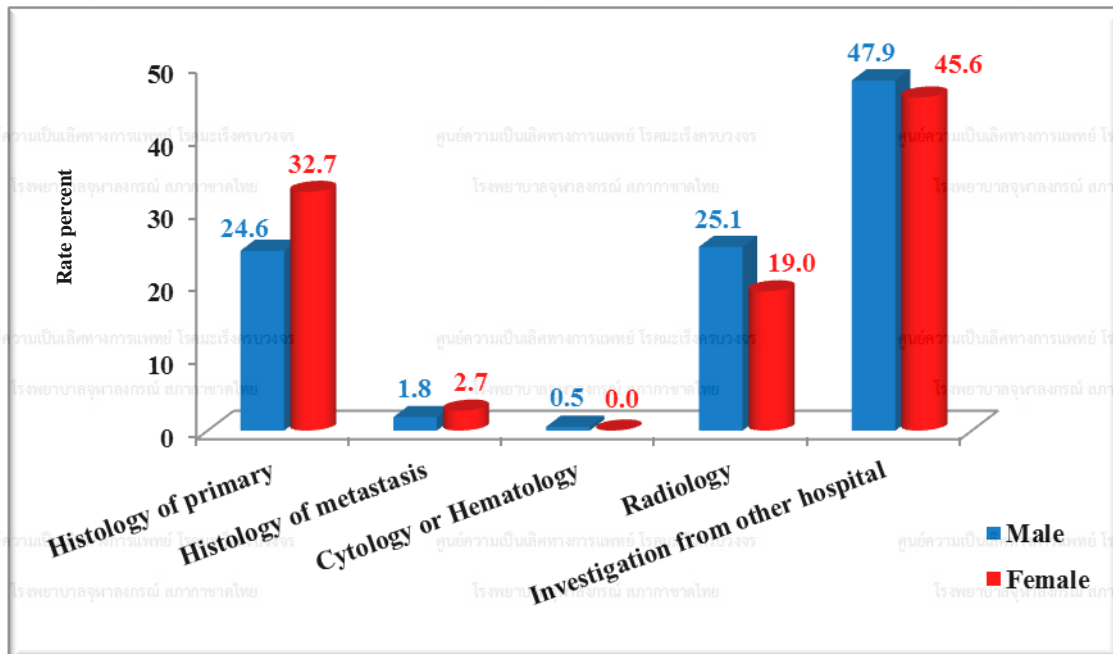
(Number of liver & bile duct cancer patients by diagnostic method, 2022)

Method of diagnosis	Male		Female		Total	
	Number	%	Number	%	Number	%
Histology of primary	94	24.6	48	32.7	142	26.8
Histology of metastasis	7	1.8	4	2.7	11	2.1
Cytology or Hematology	2	0.5	0	0.0	2	0.4
Radiology	96	25.1	28	19.0	124	23.4
Investigation from other hospital	183	47.9	67	45.6	250	47.3
Total	382	100.0	147	100.0	529	100.0

แผนภูมิที่ 14

แสดงร้อยละของผู้ป่วยโรคมะเร็งตับและท่อน้ำดี จำแนกตามวิธีวินิจฉัย ในปี พ.ศ. 2565

(Percentage of liver & bile duct cancer patients by diagnostic method, 2022)



ตารางที่ 19

แสดงวิธีการรักษาผู้ป่วยโรคมะเร็งตับและท่อน้ำดีแยกตามเพศ ในปี พ.ศ. 2565

(Method of treatment for liver & bile duct cancer patients by gender, 2022)

วิธีการรักษา (ผู้ป่วย 1 ราย มีการรักษาได้มากกว่า 1 วิธี)	ผู้ป่วยชาย (n = 382)		ผู้ป่วยหญิง (n = 147)	
	จำนวน	ร้อยละ	จำนวน	ร้อยละ
Surgery	35	9.2	20	13.6
Radiation	81	21.2	23	15.6
Chemotherapy	63	16.5	31	21.1
Targeted therapy	39	10.2	13	8.8
Interventional	93	24.3	37	25.2
TACE	109	28.5	39	26.5
Immunotherapy	23	6.0	5	3.4
Supportive Only	85	22.3	36	24.5
*No treatment data	41	10.7	13	8.8

*No treatment data: 1. ผู้ป่วยปฏิเสธการรักษา

2. ผู้ป่วยไปรักษาโรงพยาบาลอื่น

◆ Lung cancer

ตารางที่ 20

แสดงจำนวนผู้ป่วยโรคมะเร็งปอด ในปี พ.ศ. 2562-2565

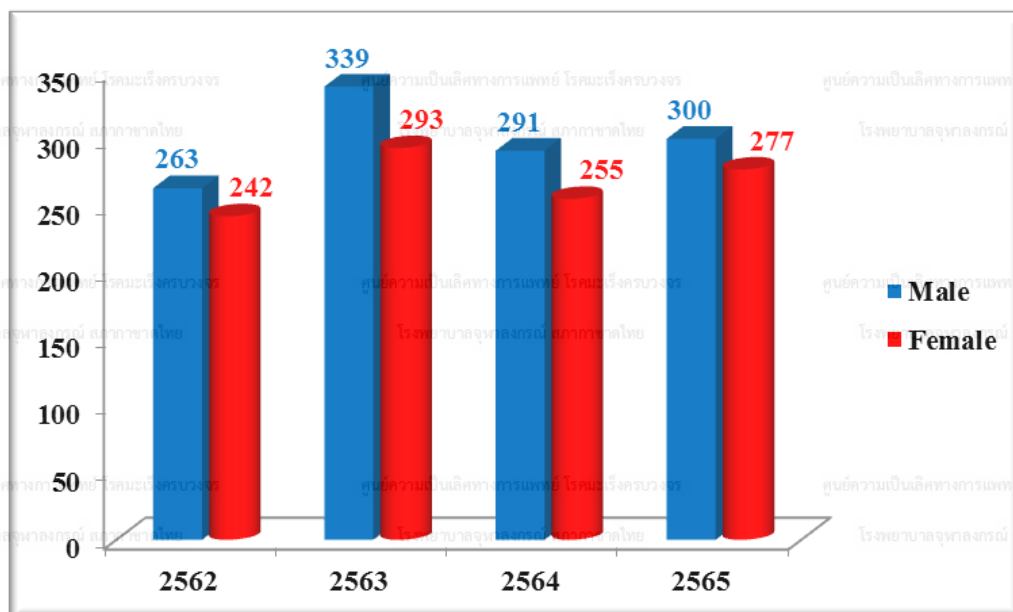
(Trend of lung cancer, 2019-2022)

Years	Number of patients		Total
	Male	Female	
2562	263	242	505
2563	339	293	632
2564	291	255	546
2565	300	277	577

แผนภูมิที่ 15

แสดงจำนวนผู้ป่วยโรคมะเร็งปอด ในปี พ.ศ. 2562-2565

(Trend of Lung Cancer, 2019-2022)



ตารางที่ 21

แสดงจำนวนผู้ป่วยโรคมะเร็งปอด จำแนกตามช่วงอายุ ในปี พ.ศ. 2565

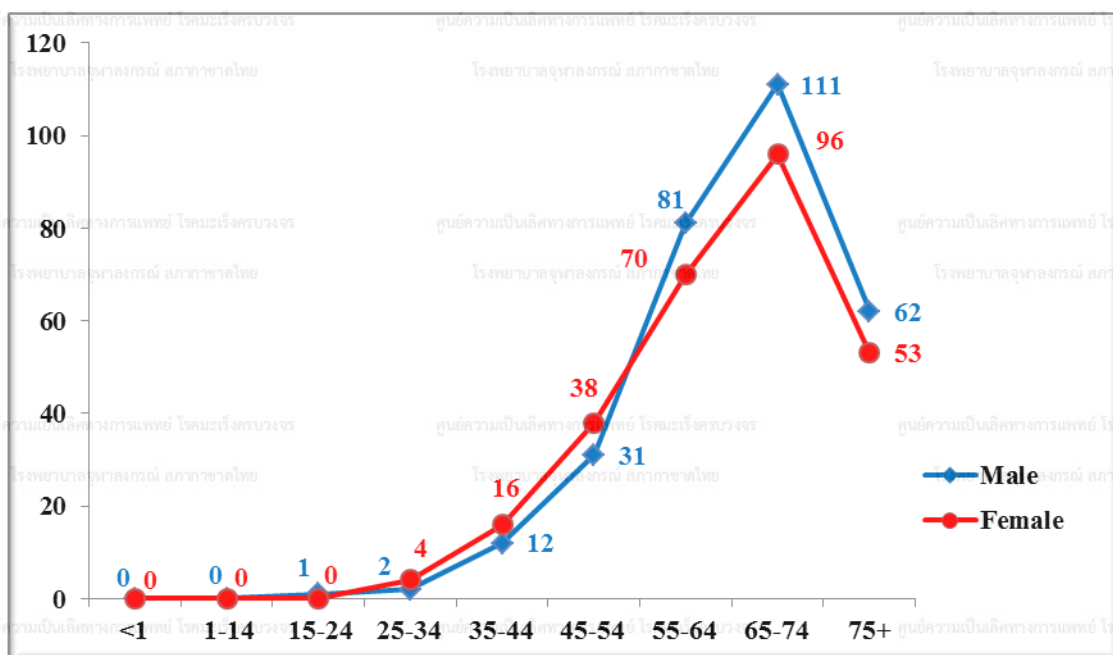
(Distribution of lung cancer by age-group, 2022)

Age group	Male		Female		Total	
	Number	%	Number	%	Number	%
<1	0	0.0	0	0.0	0	0.0
1-14	0	0.0	0	0.0	0	0.0
15-24	1	0.3	0	0.0	1	0.2
25-34	2	0.7	4	1.4	6	1.0
35-44	12	4.0	16	5.8	28	4.9
45-54	31	10.3	38	13.7	69	12.0
55-64	81	27.0	70	25.3	151	26.2
65-74	111	37.0	96	34.7	207	35.9
75+	62	20.7	53	19.1	115	19.9
Total	300	100.0	277	100.0	577	100.0

แผนภูมิที่ 16

แสดงจำนวนผู้ป่วยโรคมะเร็งปอด จำแนกตามช่วงอายุ ในปี พ.ศ. 2565

(Distribution of lung cancer by age-group, 2022)



ตารางที่ 22

แสดงจำนวนผู้ป่วยโรคมะเร็งปอด จำแนกตามวิธีวินิจฉัย ในปี พ.ศ. 2565

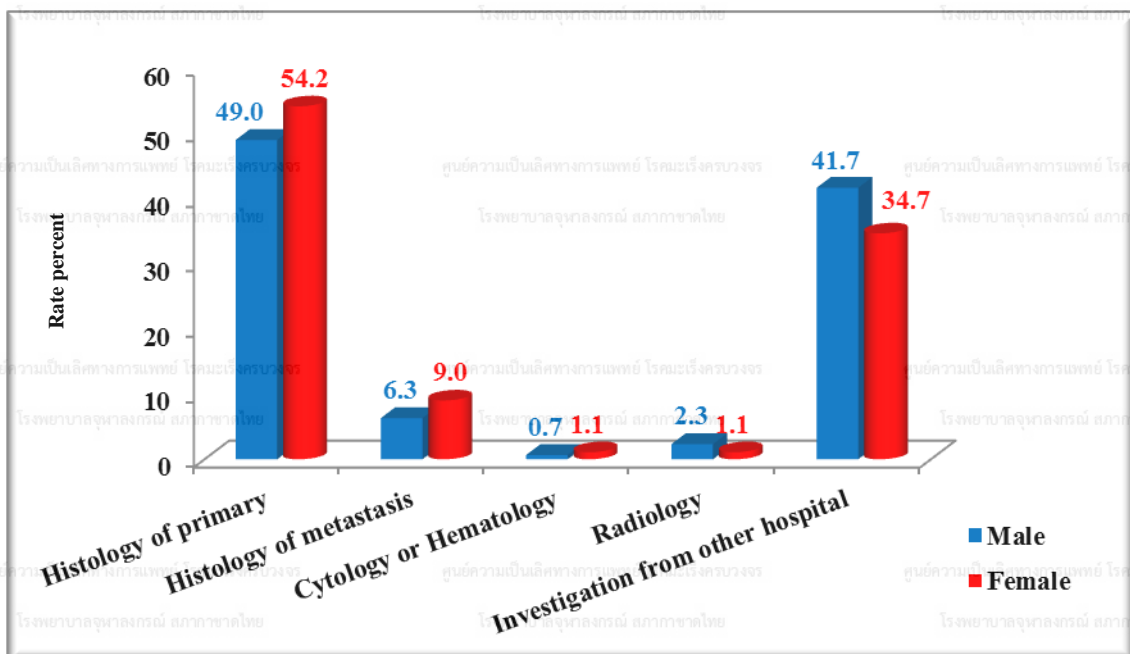
(Number of lung cancer patients by diagnostic method, 2022)

Method of diagnosis	Male		Female		Total	
	Number	%	Number	%	Number	%
Histology of primary	147	49.0	150	54.2	297	51.5
Histology of metastasis	19	6.3	25	9.0	44	7.6
Cytology or Hematology	2	0.7	3	1.1	5	0.9
Radiology	7	2.3	3	1.1	10	1.7
Investigation from other hospital	125	41.7	96	34.7	221	38.3
Total	300	100.0	277	100.0	577	100.0

แผนภูมิที่ 17

แสดงร้อยละของผู้ป่วยโรคมะเร็งปอด จำแนกตามวิธีวินิจฉัย ในปี พ.ศ. 2565

(Percentage of lung cancer patients by diagnostic method, 2022)



ตารางที่ 23

แสดงวิธีการรักษาผู้ป่วยโรคมะเร็งปอด แยกตามเพศ ในปี พ.ศ. 2565

(Method of treatment for lung cancer patients by gender, 2022)

วิธีการรักษา (ผู้ป่วย 1 ราย มีการรักษาได้มากกว่า 1 วิธี)	ผู้ป่วยชาย (n = 300)		ผู้ป่วยหญิง (n = 277)	
	จำนวน	ร้อยละ	จำนวน	ร้อยละ
Surgery	38	12.7	55	19.9
Radiation	155	51.7	102	36.8
Chemotherapy	115	38.3	96	34.7
Targeted therapy	60	20.0	114	41.2
Interventional	8	2.7	2	0.7
Immunotherapy	28	9.3	12	4.3
Supportive Only	49	16.3	37	13.4
*No treatment data	23	7.7	9	3.2

*No treatment data: 1. ผู้ป่วยปฏิเสธการรักษา

2. ผู้ป่วยไปรักษาโรงพยาบาลอื่น

◆ Breast cancer

ตารางที่ 24

แสดงจำนวนผู้ป่วยโรคมะเร็งเต้านม ในปี พ.ศ. 2562-2565

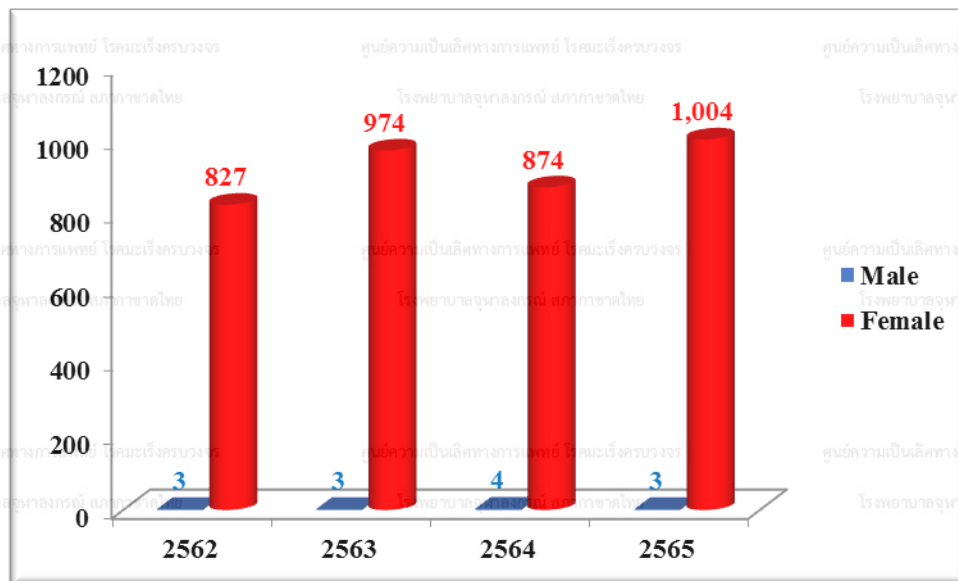
(Trend of breast cancer, 2019-2022)

Years	Number of patients		Total
	Male	Female	
2562	3	827	830
2563	3	974	977
2564	4	874	878
2565	3	1,004	1,007

แผนภูมิที่ 18

แสดงจำนวนผู้ป่วยโรคมะเร็งเต้านม ในปี พ.ศ. 2562-2565

(Trend of breast cancer, 2019-2022)



ตารางที่ 25

แสดงจำนวนผู้ป่วยโรคมะเร็งเต้านม จำแนกตามช่วงอายุ ในปี พ.ศ. 2565

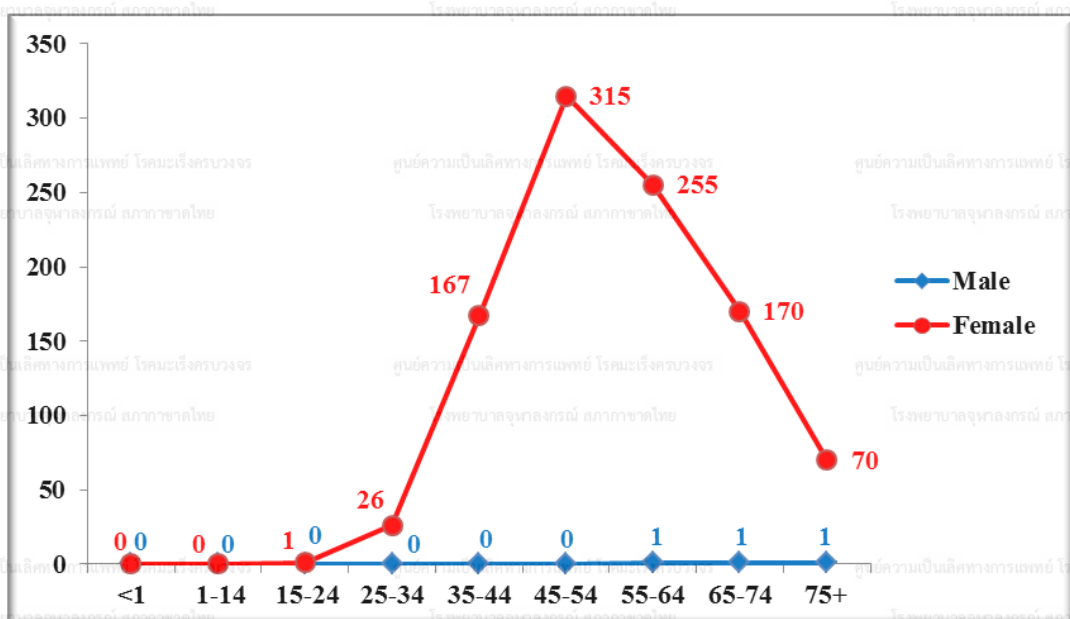
(Distribution of breast cancer by age-group, 2022)

Age group	Male		Female		Total	
	Number	%	Number	%	Number	%
<1	0	0.0	0	0.0	0	0.0
1-14	0	0.0	0	0.0	0	0.0
15-24	0	0.0	1	0.1	1	0.1
25-34	0	0.0	26	2.6	26	2.6
35-44	0	0.0	167	16.6	167	16.6
45-54	0	0.0	315	31.4	315	31.3
55-64	1	33.3	255	25.4	256	25.4
65-74	1	33.3	170	16.9	171	17.0
75+	1	33.3	70	7.0	71	7.1
Total	3	100.0	1,004	100.0	1,007	100.0

แผนภูมิที่ 19

แสดงจำนวนผู้ป่วยโรคมะเร็งเต้านม จำแนกตามช่วงอายุ ในปี พ.ศ. 2565

(Distribution of breast cancer by age-group, 2022)



ตารางที่ 26

แสดงจำนวนผู้ป่วยโรคมะเร็งเต้านม จำแนกตามวิธีวินิจฉัย ในปี พ.ศ. 2565

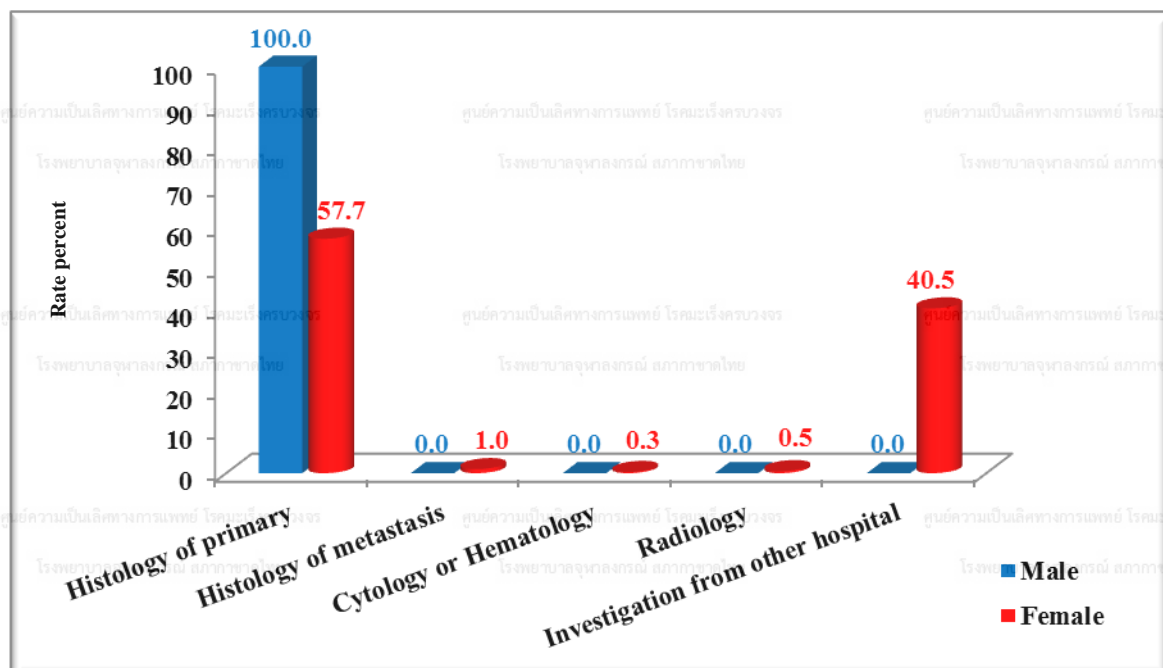
(Number of breast cancer patients by diagnostic method, 2022)

Method of diagnosis	Male		Female		Total	
	Number	%	Number	%	Number	%
Histology of primary	3	100.0	579	57.7	582	57.8
Histology of metastasis	0	0.0	10	1.0	10	1.0
Cytology or Hematology	0	0.0	3	0.3	3	0.3
Radiology	0	0.0	5	0.5	5	0.5
Investigation from other hospital	0	0.0	407	40.5	407	40.4
Total	3	100.0	1,004	100.0	1,007	100.0

แผนภูมิที่ 20

แสดงร้อยละของผู้ป่วยโรคมะเร็งเต้านม จำแนกตามวิธีวินิจฉัย ในปี พ.ศ. 2565

(Percentage of breast cancer patients by diagnostic method, 2022)



ตารางที่ 27

แสดงจำนวนวิธีการรักษาผู้ป่วยโรคมะเร็งเต้านม แยกตามเพศ ในปี พ.ศ. 2565

(Method of treatment for breast cancer patients by gender, 2022)

วิธีการรักษา (ผู้ป่วย 1 ราย มีการรักษาได้มากกว่า 1 วิธี)	ผู้ป่วยชาย (n = 3)		ผู้ป่วยหญิง (n = 1,004)	
	จำนวน	ร้อยละ	จำนวน	ร้อยละ
Surgery	3	100.0	385	38.3
Radiation	0	0.0	638	63.5
Chemotherapy	1	33.3	455	45.3
Targeted therapy	0	0.0	187	18.6
Hormonal therapy	3	100.0	507	50.5
Immunotherapy	0	0.0	10	1.0
Supportive Only	0	0.0	58	5.8
*No treatment data	0	0.0	59	5.9

*No treatment data: 1. ผู้ป่วยปฏิเสธการรักษา

2. ผู้ป่วยไปรักษาโรงพยาบาลอื่น

◆ Cervix uteri cancer

ตารางที่ 28

แสดงจำนวนผู้ป่วยโรคมะเร็งปากมดลูก ในปี พ.ศ. 2562-2565

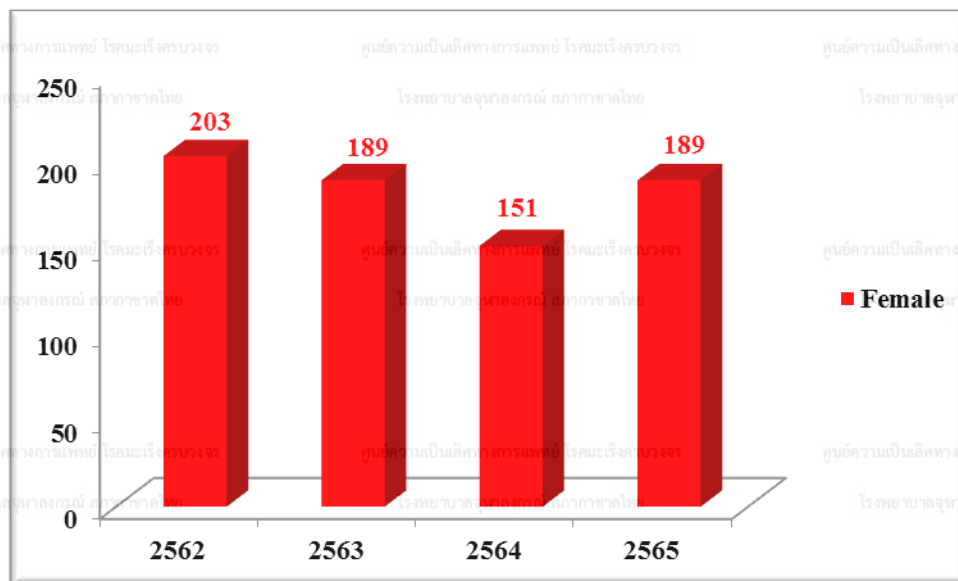
(Trend of cervix uteri cancer, 2019-2022)

Years	Number of patients Female	Total
2562	203	203
2563	189	189
2564	151	151
2565	189	189

แผนภูมิที่ 21

แสดงจำนวนผู้ป่วยโรคมะเร็งปากมดลูก ในปี พ.ศ. 2562-2565

(Trend of cervix uteri cancer, 2019-2022)



ตารางที่ 29

แสดงจำนวนผู้ป่วยโรคมะเร็งปากมดลูก จำแนกตามช่วงอายุ ในปี พ.ศ. 2565

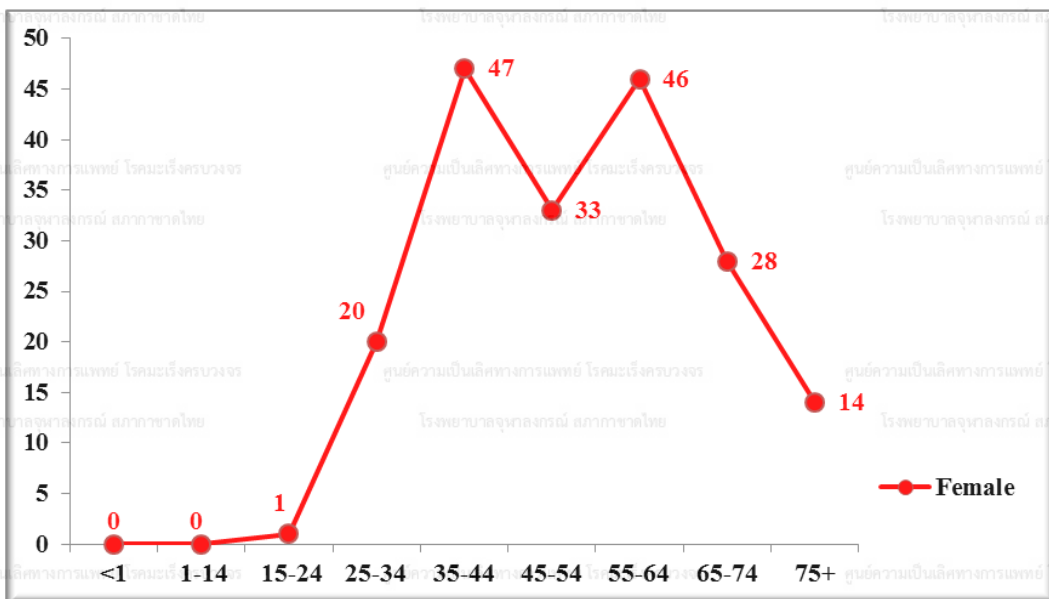
(Distribution of cervix uteri cancer by age-group, 2022)

Age group	Female	
	Number	%
<1	0	0.0
1-14	0	0.0
15-24	1	0.5
25-34	20	10.6
35-44	47	24.9
45-54	33	17.5
55-64	46	24.3
65-74	28	14.8
75+	14	7.4
Total	189	100.0

แผนภูมิที่ 22

แสดงจำนวนผู้ป่วยโรคมะเร็งปากมดลูก จำแนกตามช่วงอายุ ในปี พ.ศ. 2565

(Distribution of cervix uteri cancer by age-group, 2022)



ตารางที่ 30

แสดงจำนวนผู้ป่วยโรคมะเร็งปากมดลูก จำแนกตามวิธีวินิจฉัย ในปี พ.ศ. 2565

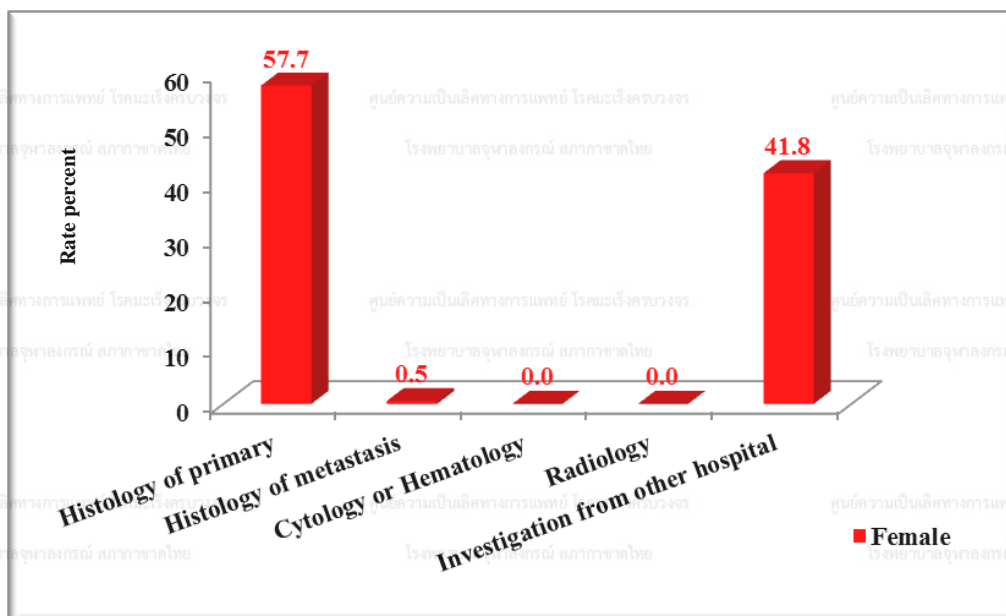
(Number of cervix uteri cancer patients by diagnostic method, 2022)

Method of diagnosis	Female	
	Number	%
Histology of primary	109	57.7
Histology of metastasis	1	0.5
Cytology or Hematology	0	0.0
Radiology	0	0.0
Investigation from other hospital	79	41.8
Total	189	100.0

แผนภูมิที่ 23

แสดงร้อยละของผู้ป่วยโรคมะเร็งปากมดลูก จำแนกตามวิธีวินิจฉัย ในปี พ.ศ. 2565

(Percentage of cervix uteri cancer patients by diagnostic method, 2022)



◆ Corpus uteri cancer

ตารางที่ 32

แสดงจำนวนผู้ป่วยโรคมะเร็งมดลูก ในปี พ.ศ. 2562-2565

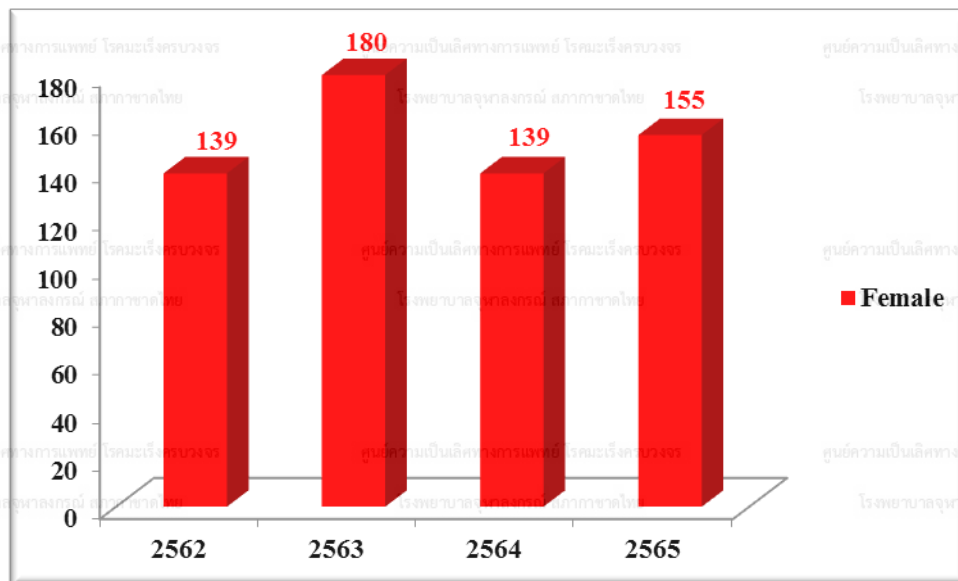
(Trend of corpus uteri cancer, 2019-2022)

Years	Number of patients Female	Total
2562	139	139
2563	180	180
2564	139	139
2565	155	155

แผนภูมิที่ 24

แสดงจำนวนผู้ป่วยโรคมะเร็งมดลูก ในปี พ.ศ. 2562-2565

(Trend of corpus uteri cancer, 2019-2022)



ตารางที่ 33

แสดงจำนวนผู้ป่วยโรคมะเร็งมดลูก จำแนกตามช่วงอายุ ในปี พ.ศ. 2565

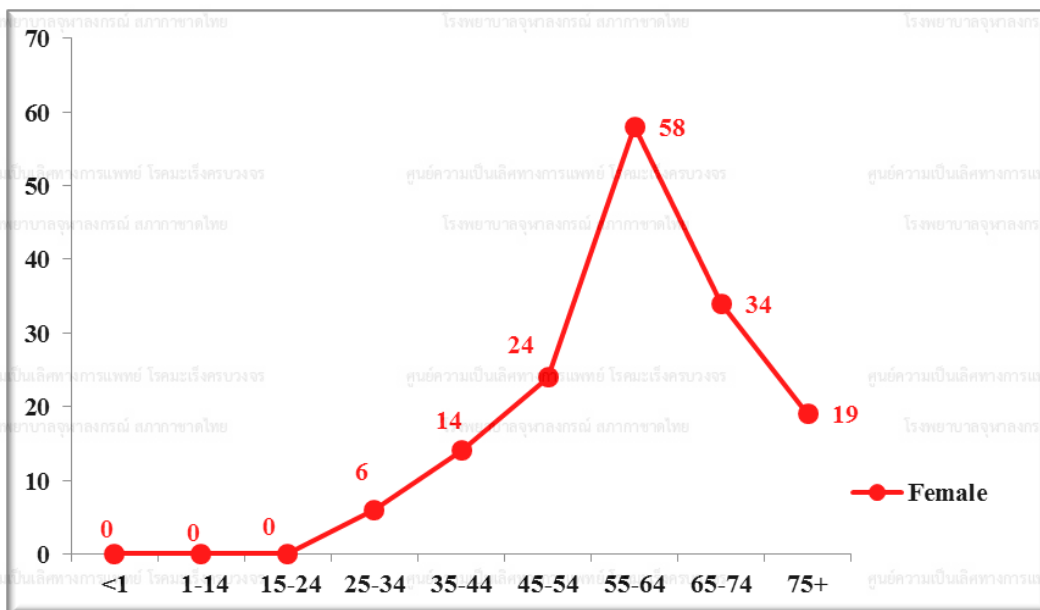
(Distribution of corpus uteri cancer by age-group, 2022)

Age group	Female	
	Number	%
<1	0	0.0
1-14	0	0.0
15-24	0	0.0
25-34	6	3.9
35-44	14	9.0
45-54	24	15.5
55-64	58	37.4
65-74	34	21.9
75+	19	12.3
Total	155	100.0

แผนภูมิที่ 25

แสดงจำนวนผู้ป่วยโรคมะเร็งมดลูก จำแนกตามช่วงอายุ ในปี พ.ศ. 2565

(Distribution of corpus uteri cancer by age-group, 2022)



ตารางที่ 34

แสดงจำนวนผู้ป่วยโรคมะเร็งมดลูก จำแนกตามวิธีวินิจฉัย ในปี พ.ศ. 2565

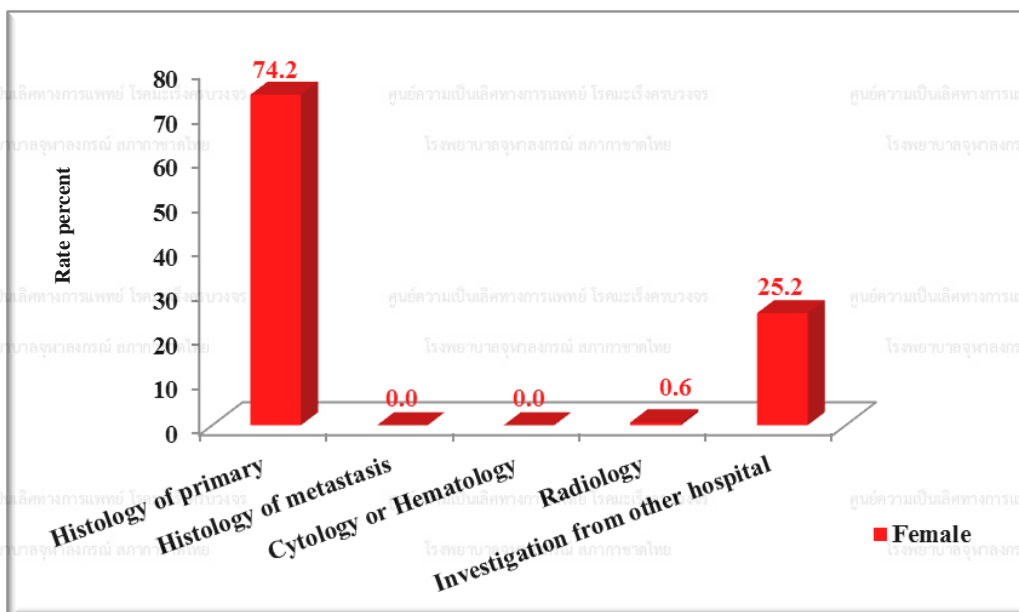
(Number of corpus uteri cancer patients by diagnostic method, 2022)

Method of diagnosis	Female	
	Number	%
Histology of primary	115	74.2
Histology of metastasis	0	0.0
Cytology or Hematology	0	0.0
Radiology	1	0.6
Investigation from other hospital	39	25.2
Total	155	100.0

แผนภูมิที่ 26

แสดงร้อยละของผู้ป่วยโรคมะเร็งมดลูก จำแนกตามวิธีวินิจฉัย ในปี พ.ศ. 2565

(Percentage of corpus uteri cancer patients by diagnostic method, 2022)



ตารางที่ 35

แสดงจำนวนวิธีการรักษาผู้ป่วยโรคมะเร็งมดลูก ในปี พ.ศ. 2565

(Method of treatment for corpus uteri cancer patients, 2022)

วิธีการรักษา (ผู้ป่วย 1 ราย มีการรักษาได้มากกว่า 1 วิธี)	ผู้ป่วยหญิง (n = 155)	
	จำนวน	ร้อยละ
Surgery	72	46.5
Radiation	78	50.3
Chemotherapy	48	31.0
Targeted therapy	3	1.9
Hormonal therapy	5	3.2
Immunotherapy	2	1.3
Supportive Only	24	15.5
*No treatment data	11	7.1

*No treatment data: 1. ผู้ป่วยปฏิเสธการรักษา

2. ผู้ป่วยไปรักษาโรงพยาบาลอื่น

◆ Ovarian cancer

ตารางที่ 36

แสดงจำนวนผู้ป่วยโรคมะเร็งรังไข่ในปี พ.ศ. 2562-2565

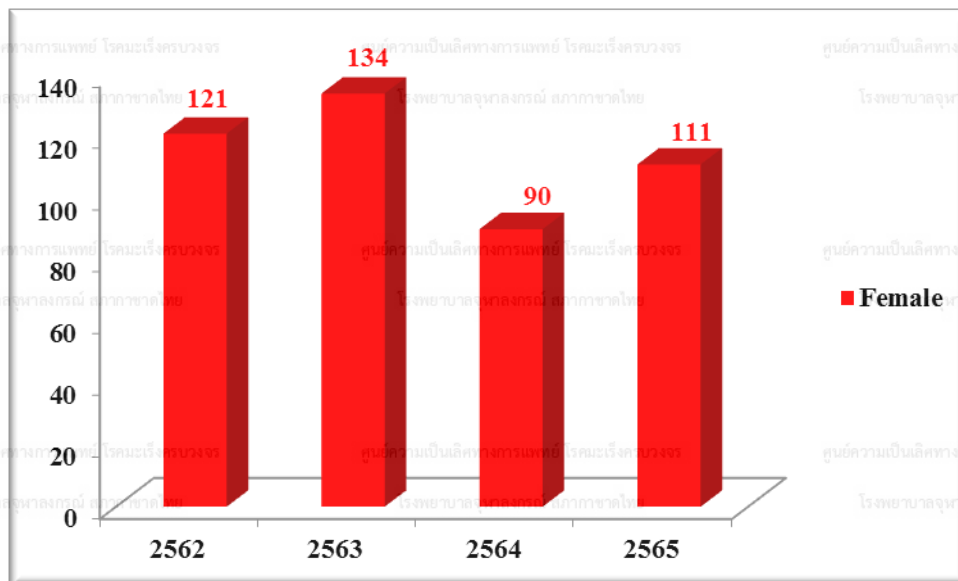
(Trend of ovarian cancer, 2019-2022)

Years	Number of patients Female	Total
2562	121	121
2563	134	134
2564	90	90
2565	111	111

แผนภูมิที่ 27

แสดงจำนวนผู้ป่วยโรคมะเร็งรังไข่ในปี พ.ศ. 2562-2565

(Trend of ovarian cancer, 2019-2022)



ตารางที่ 37

แสดงจำนวนผู้ป่วยโรคมะเร็งรังไข่ จำแนกตามช่วงอายุ ในปี พ.ศ. 2565

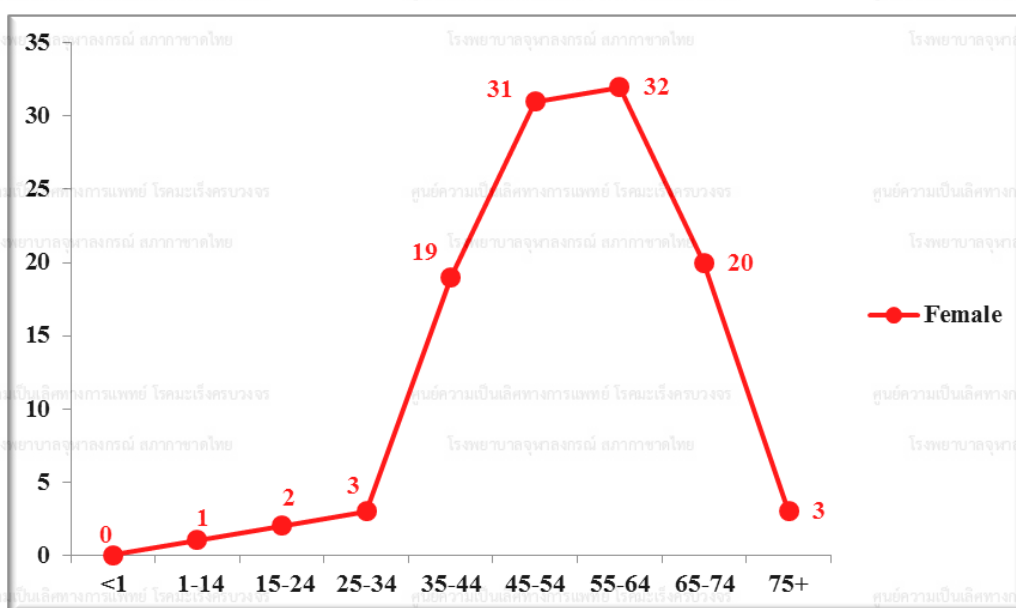
(Distribution of ovarian cancer by age-group, 2022)

Age group	Female	
	Number	%
<1	0	0.0
1-14	1	0.9
15-24	2	1.8
25-34	3	2.7
35-44	19	17.1
45-54	31	27.9
55-64	32	28.8
65-74	20	18.0
75+	3	2.7
Total	111	100.0

แผนภูมิที่ 28

แสดงจำนวนผู้ป่วยโรคมะเร็งรังไข่ จำแนกตามช่วงอายุ ในปี พ.ศ. 2565

(Distribution of ovarian cancer by age-group, 2022)



ตารางที่ 38

แสดงจำนวนผู้ป่วยโรคมะเร็งรังไข่ จำแนกตามวิธีวินิจฉัย ในปี พ.ศ. 2565

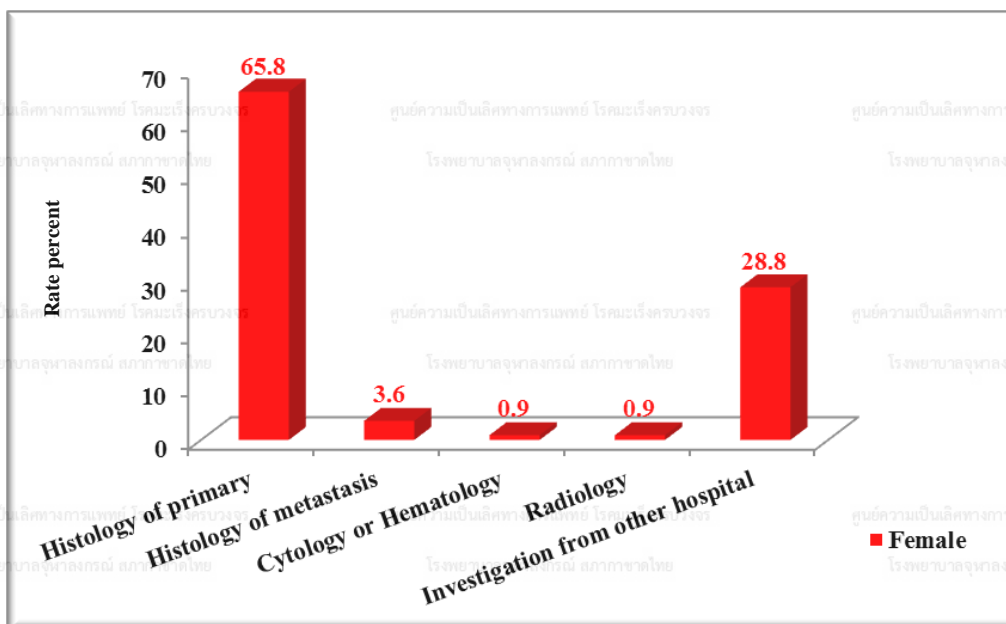
(Number of ovarian cancer patients by diagnostic method, 2022)

Method of diagnosis	Female	
	Number	%
Histology of primary	73	65.8
Histology of metastasis	4	3.6
Cytology or Hematology	1	0.9
Radiology	1	0.9
Investigation from other hospital	32	28.8
Total	111	100.0

แผนภูมิที่ 29

แสดงร้อยละของผู้ป่วยโรคมะเร็งรังไข่ จำแนกตามวิธีวินิจฉัย ในปี พ.ศ. 2565

(Percentage of ovarian cancer patients by diagnostic method, 2022)



ตารางที่ 39

แสดงจำนวนวิธีการรักษาผู้ป่วยโรคมะเร็งรังไข่ ในปี พ.ศ. 2565

(Method of treatment for ovarian cancer patients, 2022)

วิธีการรักษา (ผู้ป่วย 1 ราย มีการรักษาได้มากกว่า 1 วิธี)	ผู้ป่วยหญิง (n = 111)	
	จำนวน	ร้อยละ
Surgery	56	50.5
Radiation	5	4.5
Chemotherapy	65	58.6
Targeted therapy	22	19.8
Hormonal therapy	2	1.8
Supportive Only	22	19.8
*No treatment data	7	6.3

*No treatment data: 1. ผู้ป่วยปฏิเสธการรักษา

2. ผู้ป่วยไปรักษาโรงพยาบาลอื่น

◆ Prostate cancer

ตารางที่ 40

แสดงจำนวนผู้ป่วยโรคมะเร็งต่อมลูกหมาก ในปี พ.ศ. 2562-2565

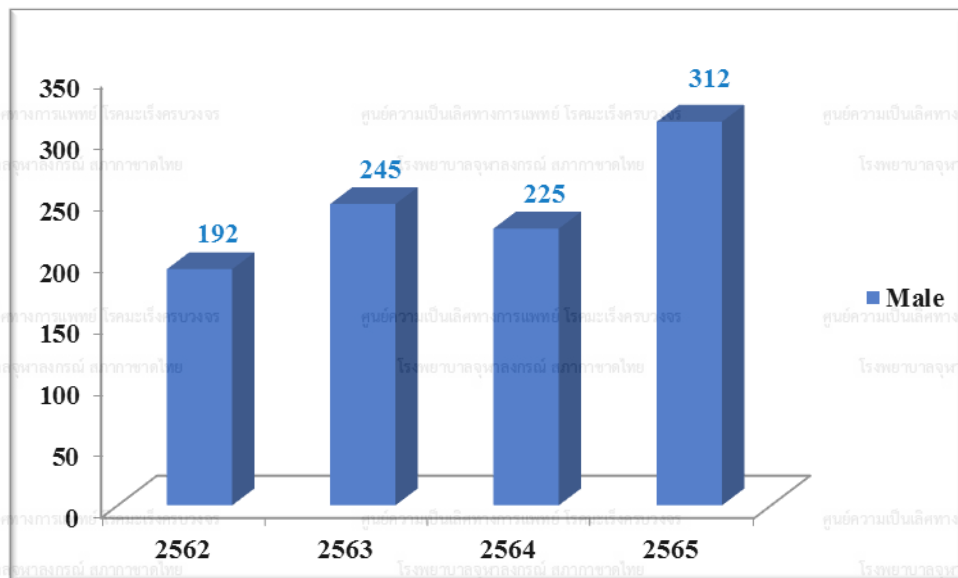
(Trend of prostate cancer, 2019-2022)

Years	Number of patients	Total
	Male	
2562	192	192
2563	245	245
2564	225	225
2565	312	312

แผนภูมิที่ 30

แสดงจำนวนผู้ป่วยโรคมะเร็งต่อมลูกหมาก ในปี พ.ศ. 2562-2565

(Trend of prostate cancer, 2019-2022)



ตารางที่ 41

แสดงจำนวนผู้ป่วยโรคมะเร็งต่อมลูกหมาก จำแนกตามช่วงอายุ ในปี พ.ศ. 2565

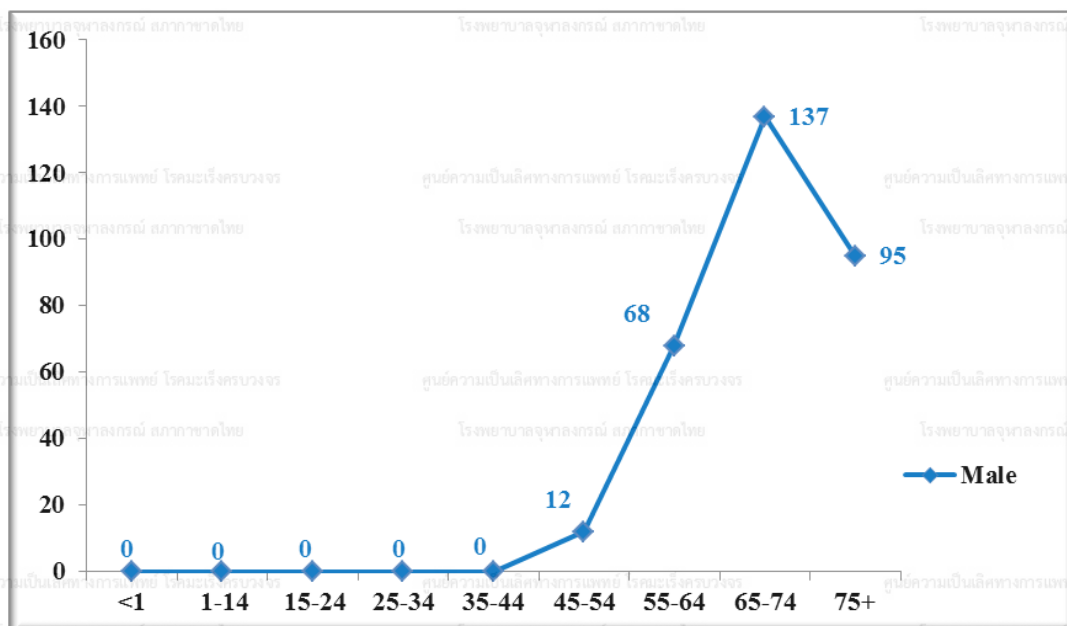
(Distribution of prostate cancer by age-group, 2022)

Age group	Male	
	Number	%
<1	0	0.0
1-14	0	0.0
15-24	0	0.0
25-34	0	0.0
35-44	0	0.0
45-54	12	3.8
55-64	68	21.8
65-74	137	43.9
75+	95	30.4
Total	312	100.0

แผนภูมิที่ 31

แสดงจำนวนผู้ป่วยโรคมะเร็งต่อมลูกหมาก จำแนกตามช่วงอายุ ในปี พ.ศ. 2565

(Distribution of prostate cancer by age-group, 2022)



ตารางที่ 42

แสดงจำนวนผู้ป่วยโรคมะเร็งต่อมลูกหมาก จำแนกตามวิธีวินิจฉัย ในปี พ.ศ. 2565

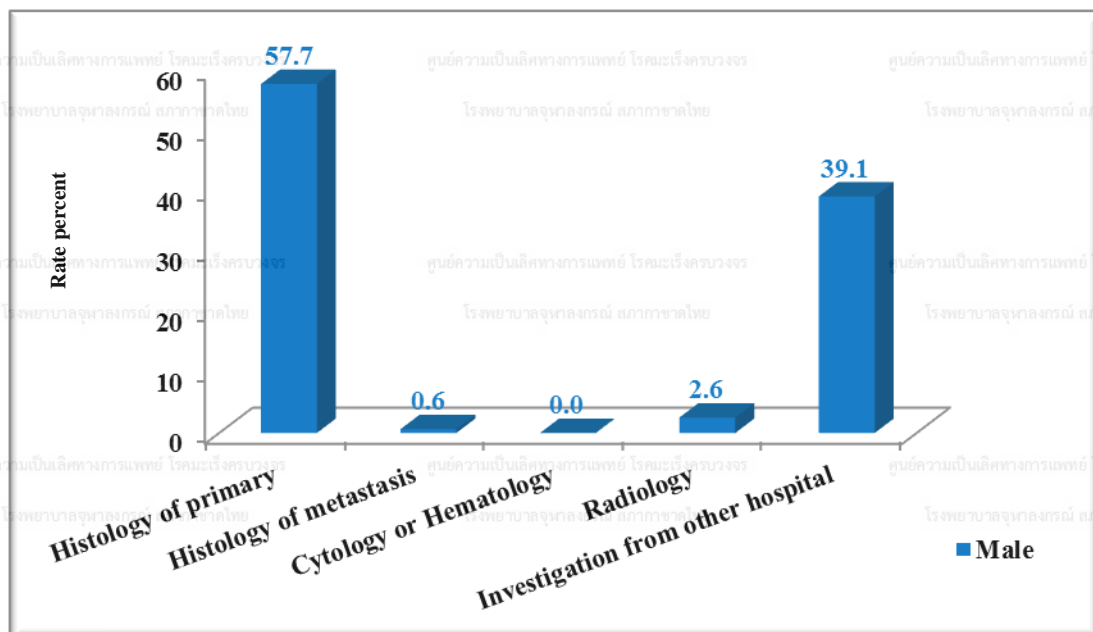
(Number of prostate cancer patients by diagnostic method, 2022)

Method of diagnosis	Male	
	Number	%
Histology of primary	180	57.7
Histology of metastasis	2	0.6
Cytology or Hematology	0	0.0
Radiology	8	2.6
Investigation from other hospital	122	39.1
Total	312	100.0

แผนภูมิที่ 32

แสดงร้อยละของผู้ป่วยโรคมะเร็งต่อมลูกหมาก จำแนกตามวิธีวินิจฉัย ในปี พ.ศ. 2565

(Percentage of prostate cancer patients by diagnostic method, 2022)



ตารางที่ 43

แสดงจำนวนวิธีการรักษาผู้ป่วยโรคมะเร็งต่อมลูกหมาก ในปี พ.ศ. 2565
(Method of treatment for prostate cancer patients, 2022)

วิธีการรักษา (ผู้ป่วย 1 ราย มีการรักษาได้มากกว่า 1 วิธี)	ผู้ป่วยชาย (n = 312)	
	จำนวน	ร้อยละ
Surgery	84	26.9
Radiation	119	38.1
Chemotherapy	14	4.5
Hormonal therapy	133	42.6
Immunotherapy	1	0.3
Supportive Only	51	16.3
*No treatment data	18	5.8

*No treatment data: 1. ผู้ป่วยปฏิเสธการรักษา

2. ผู้ป่วยไปรักษาโรงพยาบาลอื่น

◆ Lymphoma

ตารางที่ 44

แสดงจำนวนผู้ป่วยโรคมะเร็งต่อมน้ำเหลือง ในปี พ.ศ. 2562-2565

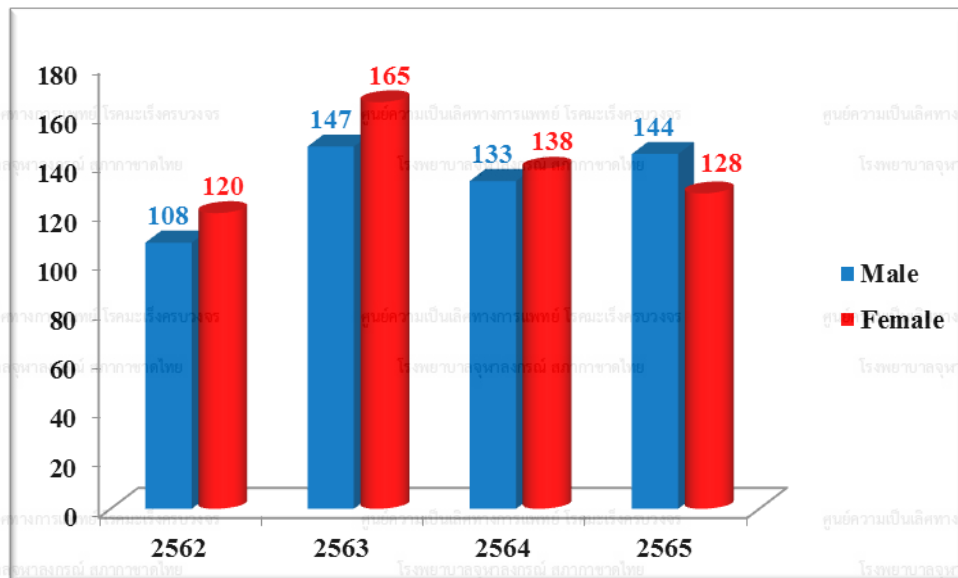
(Trend of lymphoma, 2019-2022)

Years	Number of patients		Total
	Male	Female	
2562	108	120	228
2563	147	165	312
2564	133	138	271
2565	144	128	272

แผนภูมิที่ 33

แสดงจำนวนผู้ป่วยโรคมะเร็งต่อมน้ำเหลือง ในปี พ.ศ. 2562-2565

(Trend of lymphoma, 2019-2022)



ตารางที่ 45

แสดงจำนวนผู้ป่วยโรคมะเร็งต่อมน้ำเหลือง จำแนกตามช่วงอายุในปี พ.ศ. 2565

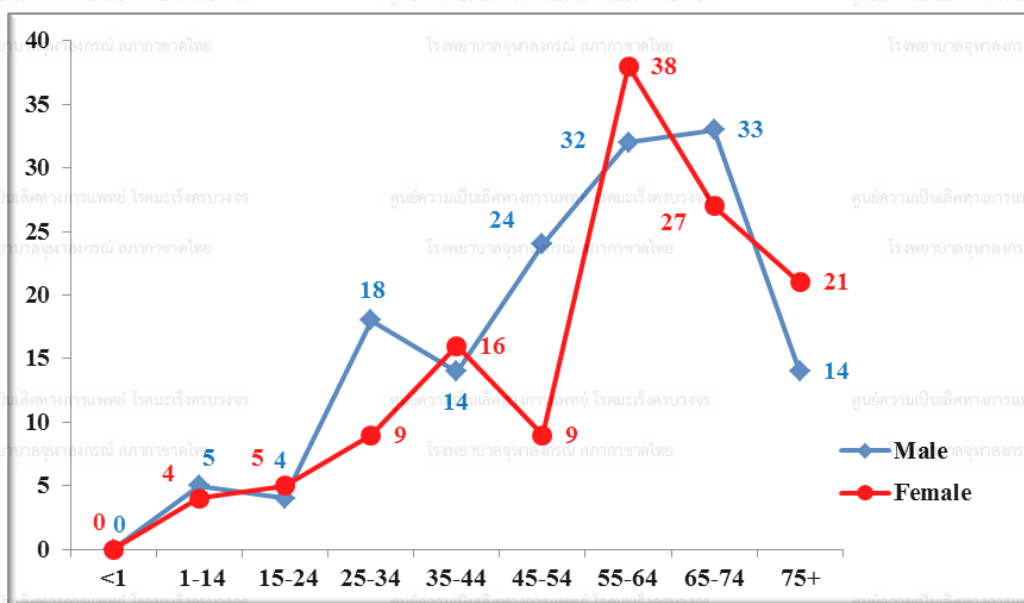
(Distribution of lymphoma by age-group, 2022)

Age group	Male		Female		Total	
	Number	%	Number	%	Number	%
<1	0	0.0	0	0.0	0	0.0
1-14	5	3.5	4	3.1	9	3.3
15-24	4	2.8	5	3.9	9	3.3
25-34	18	12.5	9	7.0	27	9.9
35-44	14	9.7	16	12.4	30	11.0
45-54	24	16.7	9	7.0	33	12.1
55-64	32	22.2	38	29.5	70	25.6
65-74	33	22.9	27	20.9	60	22.0
75+	14	9.7	21	16.3	35	12.8
Total	144	100.0	129	100.0	273	100.0

แผนภูมิที่ 34

แสดงจำนวนผู้ป่วยโรคมะเร็งต่อมน้ำเหลือง จำแนกตามช่วงอายุในปี พ.ศ. 2565

(Distribution of lymphoma by age-group, 2022)



ตารางที่ 46

แสดงจำนวนผู้ป่วยโรคมะเร็งต่อมน้ำเหลือง จำแนกตามวิธีวินิจฉัย ในปี พ.ศ. 2565

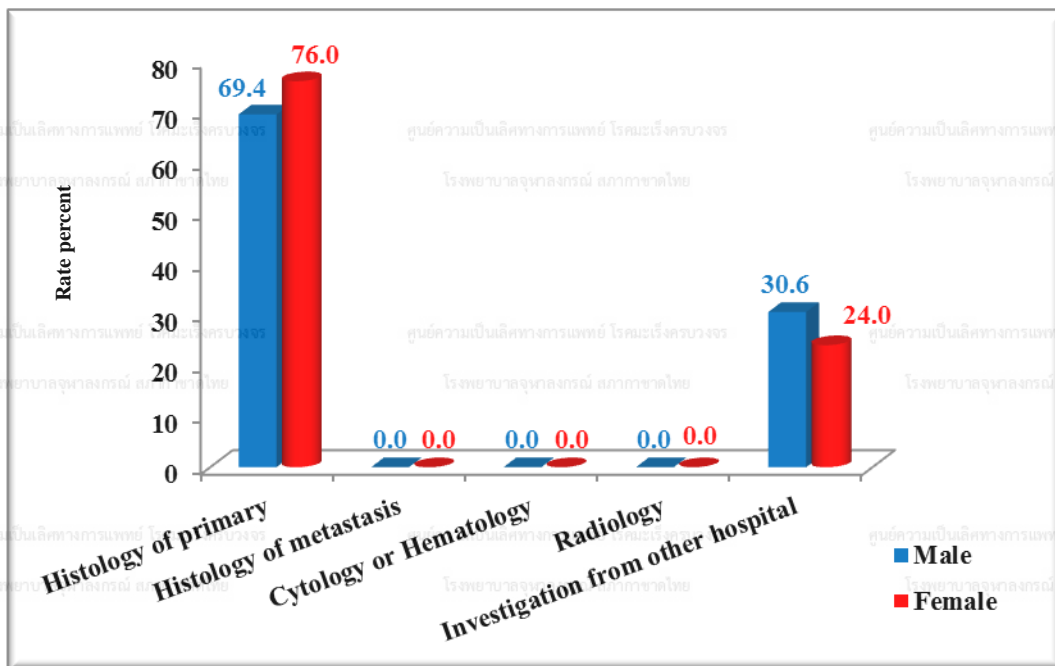
(Number of lymphoma patients by diagnostic method, 2022)

Method of diagnosis	Male		Female		Total	
	Number	%	Number	%	Number	%
Histology of primary	100	69.4	98	76.0	198	72.5
Histology of metastasis	0	0.0	0	0.0	0	0.0
Cytology or Hematology	0	0.0	0	0.0	0	0.0
Radiology	0	0.0	0	0.0	0	0.0
Investigation from other hospital	44	30.6	31	24.0	75	27.5
Total	144	100.0	129	100.0	273	100.0

แผนภูมิที่ 35

แสดงร้อยละของผู้ป่วยโรคมะเร็งต่อมน้ำเหลือง จำแนกตามวิธีวินิจฉัย ในปี พ.ศ. 2565

(Percentage of lymphoma patients by diagnostic method, 2022)



ตารางที่ 47

แสดงจำนวนวิธีการรักษาผู้ป่วยโรคมะเร็งต่อมน้ำเหลือง แยกตามเพศ ในปี พ.ศ. 2565

(Method of treatment for lymphoma patients by gender, 2022)

วิธีการรักษา (ผู้ป่วย 1 ราย มีการรักษาได้มากกว่า 1 วิธี)	ผู้ป่วยชาย (n = 144)		ผู้ป่วยหญิง (n = 129)	
	จำนวน	ร้อยละ	จำนวน	ร้อยละ
Surgery	0	0.0	1	0.8
Radiation	40	27.8	29	22.5
Chemotherapy	94	65.3	81	62.8
Targeted therapy	65	45.1	69	53.5
Interventional	5	3.5	4	3.1
Immunotherapy	4	2.8	1	0.8
Supportive Only	28	19.4	25	19.4
*No treatment data	14	9.7	10	7.8

*No treatment data: 1. ผู้ป่วยปฏิเสธการรักษา

2. ผู้ป่วยไปรักษาโรงพยาบาลอื่น

Leukemia

ตารางที่ 48

แสดงจำนวนผู้ป่วยโรคมะเร็งเม็ดเลือดขาว ในปี พ.ศ. 2562-2565

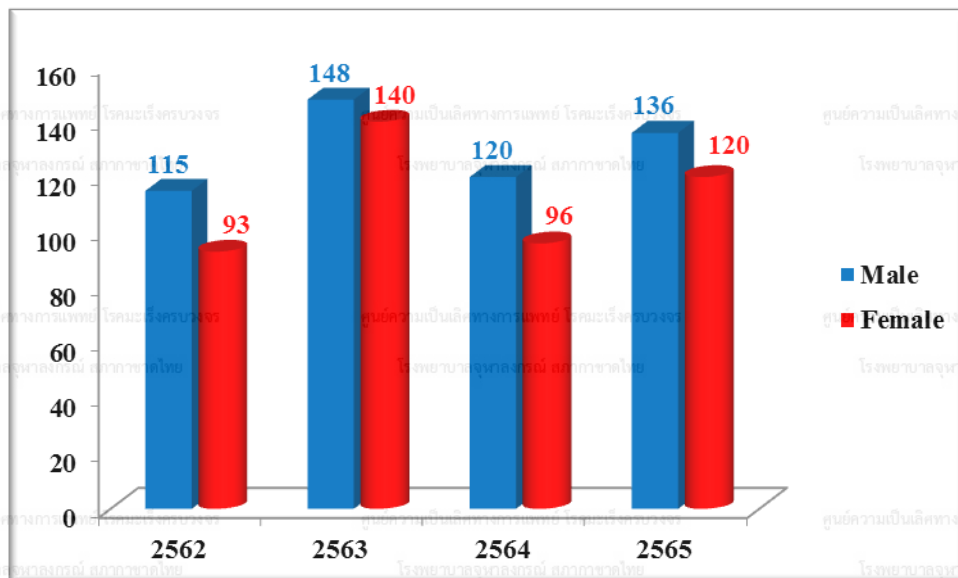
(Trend of leukemia, 2019-2022)

Years	Number of patients		Total
	Male	Female	
2562	115	93	208
2563	148	140	288
2564	120	96	216
2565	136	120	256

แผนภูมิที่ 36

แสดงจำนวนผู้ป่วยโรคมะเร็งเม็ดเลือดขาว ในปี พ.ศ. 2562-2565

(Trend of leukemia, 2019-2022)



ตารางที่ 49

แสดงจำนวนผู้ป่วยโรคมะเร็งเม็ดเลือดขาว จำแนกตามช่วงอายุ ในปี พ.ศ. 2565

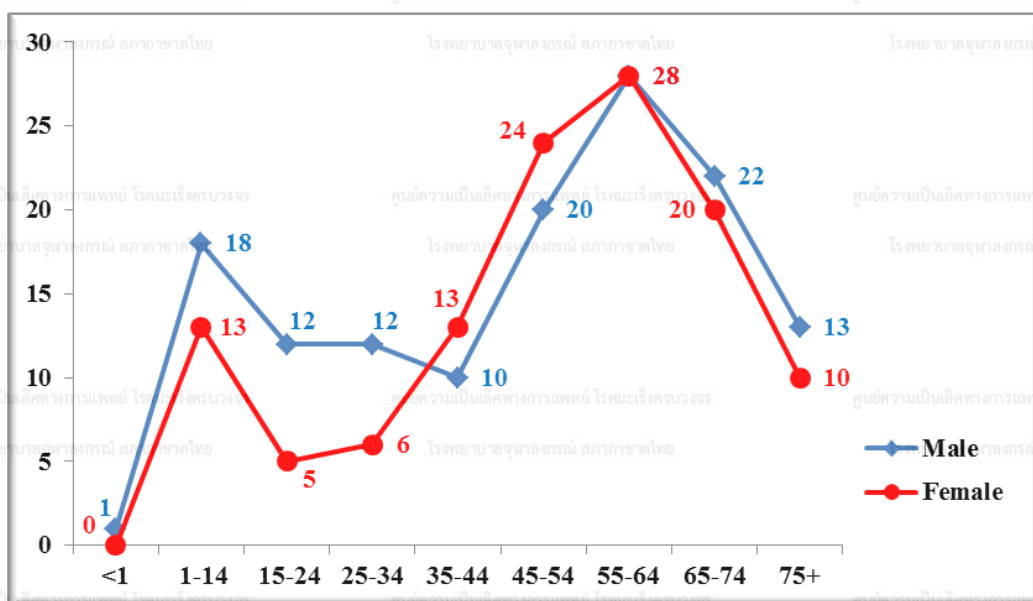
(Distribution of leukemia by age-group, 2022)

Age group	Male		Female		Total	
	Number	%	Number	%	Number	%
<1	1	0.7	0	0.0	1	0.4
1-14	18	13.2	13	10.9	31	12.2
15-24	12	8.8	5	4.2	17	6.7
25-34	12	8.8	6	5.0	18	7.1
35-44	10	7.4	13	10.9	23	9.0
45-54	20	14.7	24	20.2	44	17.3
55-64	28	20.6	28	23.5	56	22.0
65-74	22	16.2	20	16.8	42	16.5
75+	13	9.6	10	8.4	23	9.0
Total	136	100.0	119	100.0	255	100.0

แผนภูมิที่ 37

แสดงจำนวนผู้ป่วยโรคมะเร็งเม็ดเลือดขาว จำแนกตามช่วงอายุ ในปี พ.ศ. 2565

(Distribution of leukemia by age-group, 2022)



ตารางที่ 50

แสดงจำนวนผู้ป่วยโรคมะเร็งเม็ดเลือดขาว จำแนกตามวิธีวินิจฉัย ในปี พ.ศ. 2565

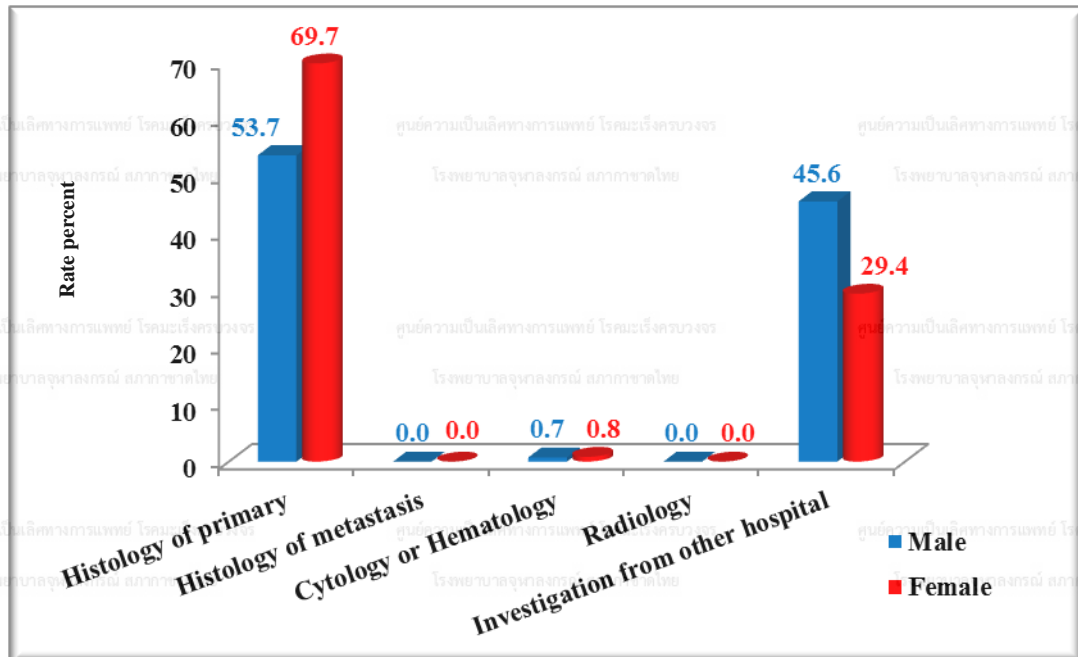
(Number of leukemia patients by diagnostic method, 2022)

Method of diagnosis	Male		Female		Total	
	Number	%	Number	%	Number	%
Histology of primary	73	53.7	83	69.7	156	61.2
Histology of metastasis	0	0.0	0	0.0	0	0.0
Cytology or Hematology	1	0.7	1	0.8	2	0.8
Radiology	0	0.0	0	0.0	0	0.0
Investigation from other hospital	62	45.6	35	29.4	97	38.0
Total	136	100.0	119	100.0	255	100.0

แผนภูมิที่ 38

แสดงร้อยละของผู้ป่วยโรคมะเร็งเม็ดเลือดขาว จำแนกตามวิธีวินิจฉัย ในปี พ.ศ. 2565

(Percentage of leukemia patients by diagnostic method, 2022)



ตารางที่ 51

แสดงจำนวนวิธีการรักษาผู้ป่วยโรคมะเร็งเม็ดเลือดขาว แยกตามเพศ ในปี พ.ศ. 2565

(Method of treatment for leukemia patients by gender, 2022)

วิธีการรักษา (ผู้ป่วย 1 ราย มีการรักษาได้มากกว่า 1 วิธี)	ผู้ป่วยชาย (n = 136)		ผู้ป่วยหญิง (n = 119)	
	จำนวน	ร้อยละ	จำนวน	ร้อยละ
Radiation	8	5.9	9	7.6
Chemotherapy	61	44.9	67	56.3
Targeted therapy	45	33.1	28	23.5
Interventional	10	7.4	7	5.9
Immunotherapy	2	1.5	0	0.0
Supportive Only	36	26.5	31	26.1
*No treatment data	21	15.4	11	9.2

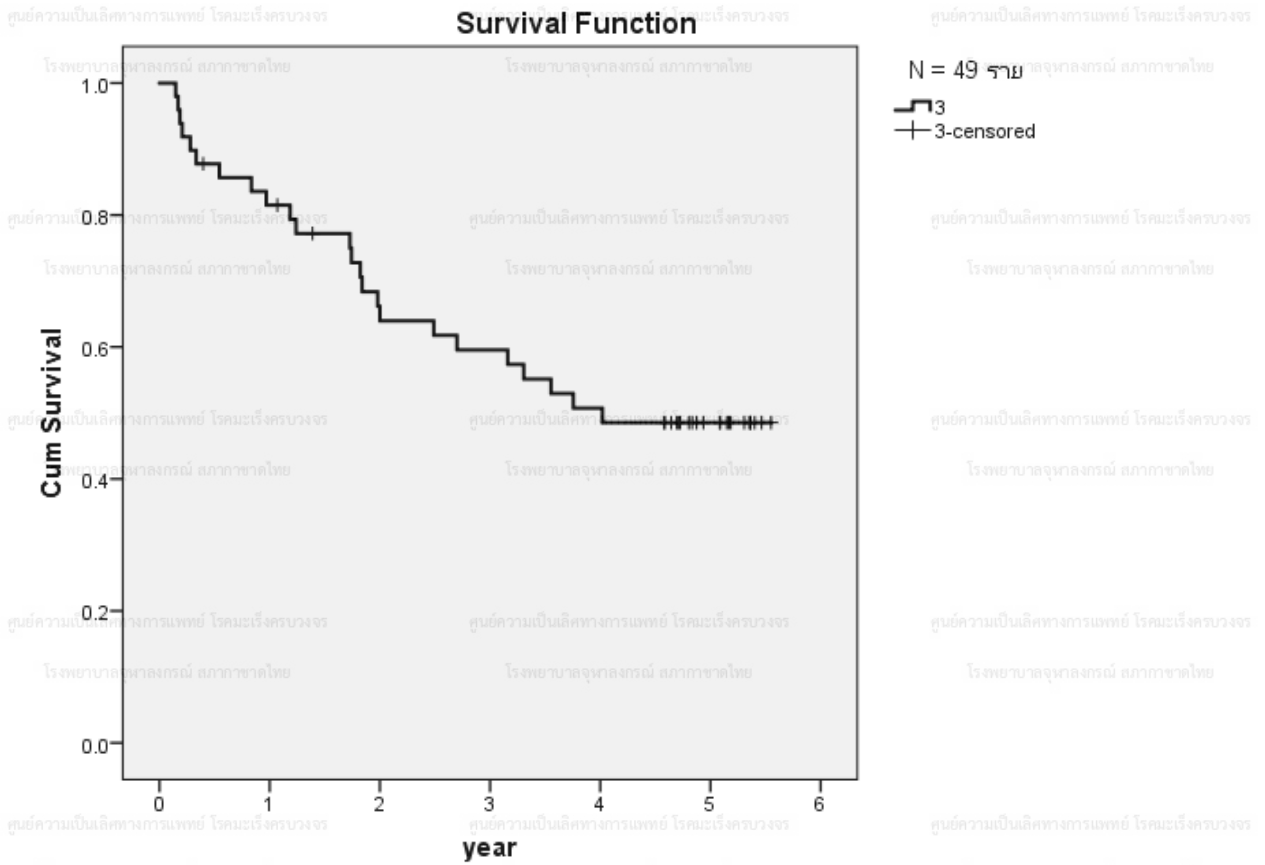
*No treatment data: 1. ผู้ป่วยปฏิเสธการรักษา

2. ผู้ป่วยไปรักษาโรงพยาบาลอื่น

แผนภูมิที่ 39

แสดงอัตราการรอดชีพของผู้ป่วยโรคมะเร็งลิ้นที่วินิจฉัยในปี พ.ศ. 2562
(Survival rate of tongue cancer patients diagnosed in 2019)

Graph Kaplan-Meier



ภาพรวมผู้ป่วยโรคมะเร็งลิ้น (tongue cancer) ในปี พ.ศ. 2562 ทั้งเพศชายและเพศหญิง โดยแบ่งเป็นปี พบว่า

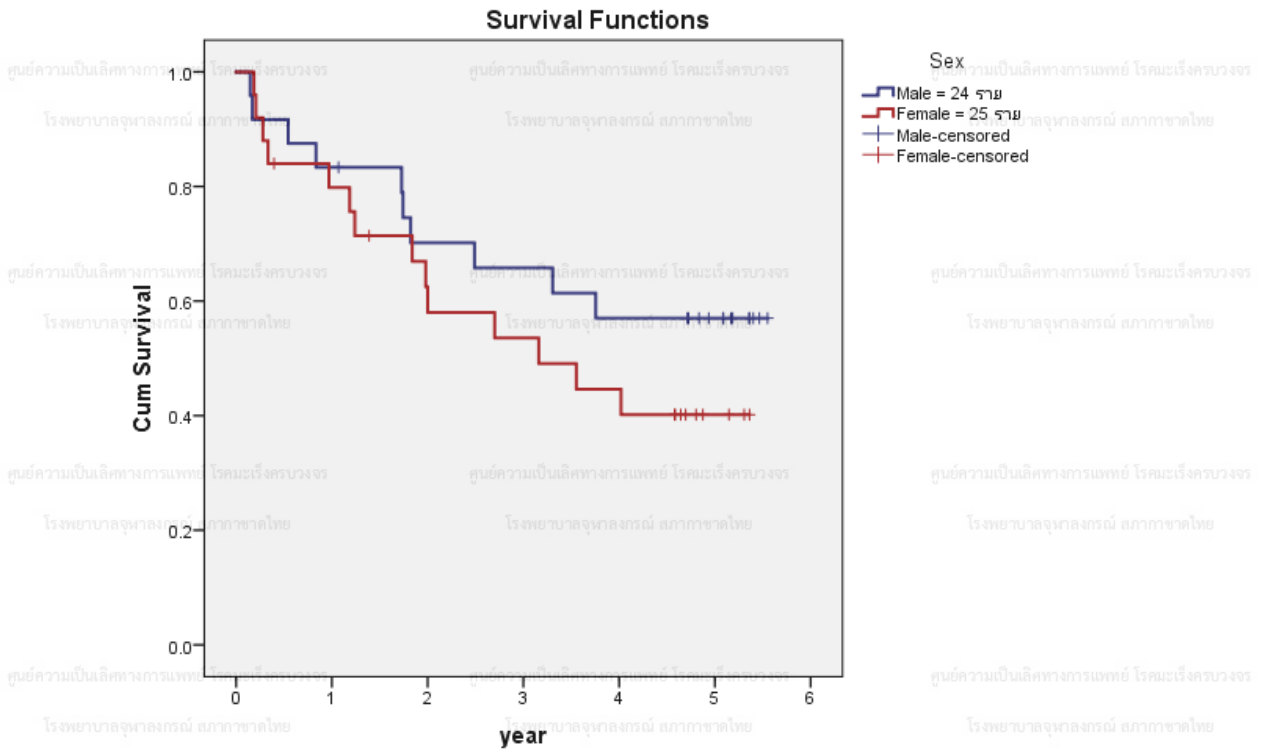
1. อัตราการรอดชีพที่ 3 ปี เท่ากับ 59.6%
2. อัตราการรอดชีพที่ 5 ปี เท่ากับ 48.5%

แผนภูมิที่ 40

แสดงอัตราการรอดชีพของผู้ป่วยโรคมะเร็งลิ้นที่วินิจฉัยในปี พ.ศ. 2562 แยกตามเพศ

(Survival rate of tongue cancer patients diagnosed in 2019 by gender)

Graph Kaplan-Meier



ผู้ป่วยเพศชาย	ผู้ป่วยเพศหญิง
อัตราการรอดชีพที่ 3 ปี เท่ากับ 65.8%	อัตราการรอดชีพที่ 3 ปี เท่ากับ 53.6%
อัตราการรอดชีพที่ 5 ปี เท่ากับ 57.0%	อัตราการรอดชีพที่ 5 ปี เท่ากับ 40.2%

Overall Comparisons

	Chi-Square	df	Sig.
Log Rank (Mantel-Cox)	1.064	1	.302
Breslow (Generalized Wilcoxon)	.784	1	.376
Tarone-Ware	.927	1	.336

Test of equality of survival distributions for the different levels of sex.

หมายเหตุ *ค่านี้สำคัญทางสถิติที่ระดับ .05

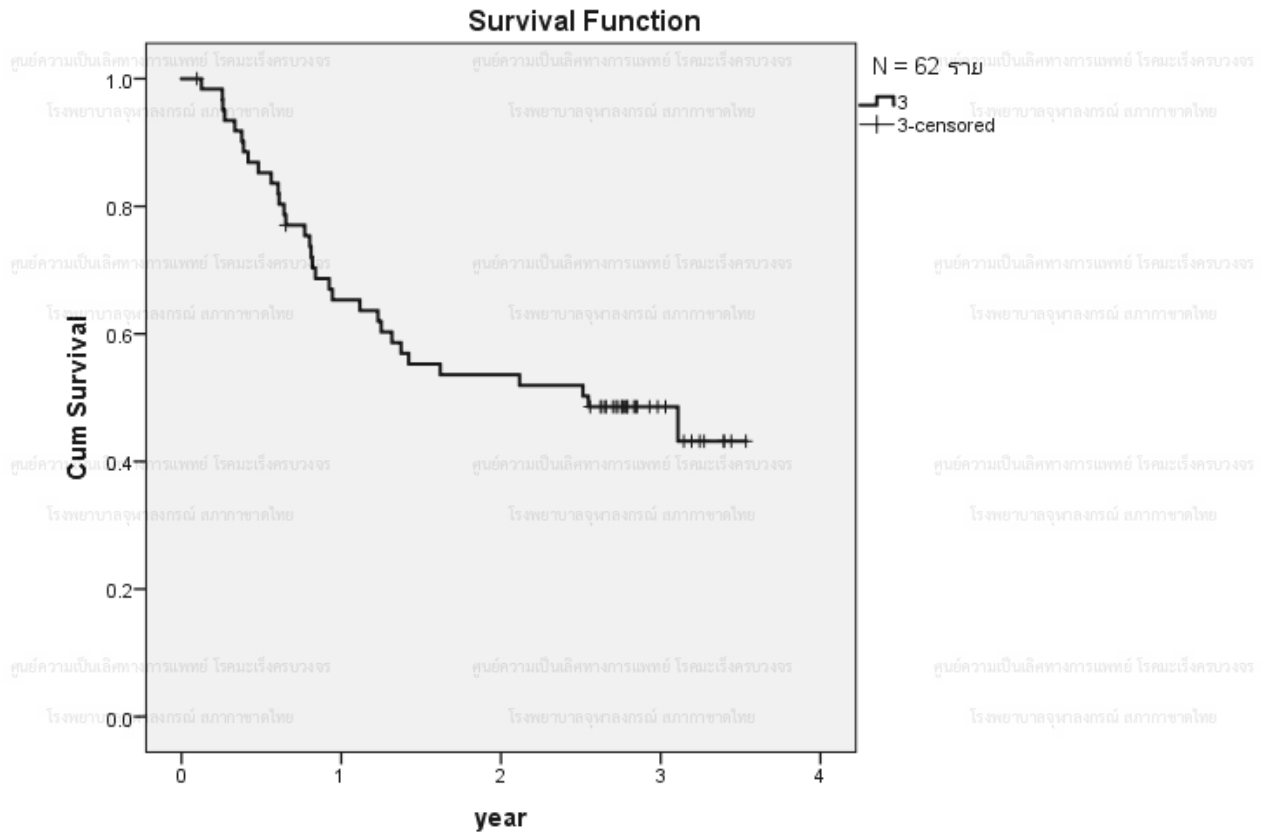
จากการศึกษา พบว่า เพศต่างกันมีอัตราการรอดชีพของผู้ป่วยโรคมะเร็งลิ้น (tongue cancer) ไม่แตกต่างกันอย่างมีนัยสำคัญทางสถิติที่ระดับ .05

แผนภูมิที่ 41

แสดงอัตราการรอดชีพของผู้ป่วยโรคมะเร็งลิ้นที่วินิจฉัยในปี พ.ศ. 2564

(Survival rate of tongue cancer patients diagnosed in 2021)

Graph Kaplan-Meier



ภาพรวมผู้ป่วยโรคมะเร็งลิ้น (tongue cancer) ในปี พ.ศ. 2564 ทั้งเพศชาย และเพศหญิง

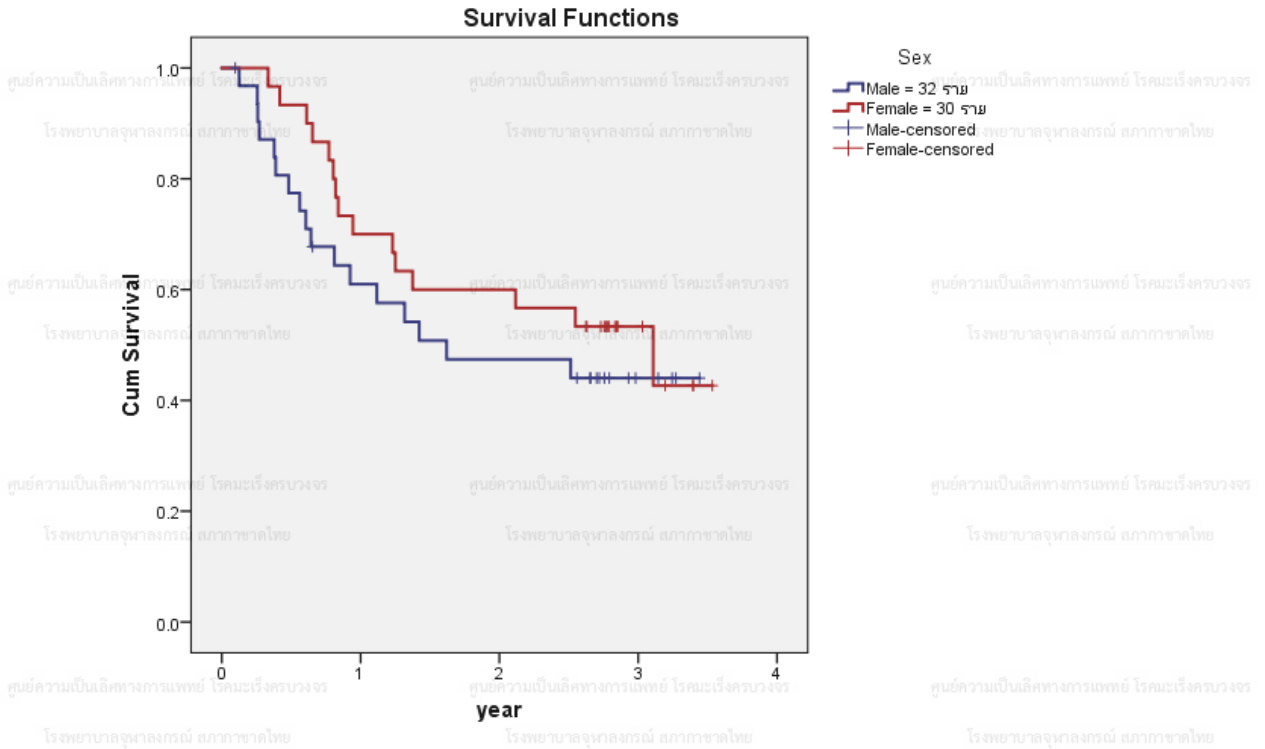
โดยแบ่งเป็นปี พบว่า อัตราการรอดชีพที่ 3 ปี เท่ากับ 48.6%

แผนภูมิที่ 42

แสดงอัตราการรอดชีพของผู้ป่วยโรคมะเร็งลิ้นที่วินิจฉัยในปี พ.ศ. 2564 แยกตามเพศ

(Survival rate of tongue cancer patients diagnosed in 2021 by gender)

Graph Kaplan-Meier



ผู้ป่วยเพศชาย	ผู้ป่วยเพศหญิง
อัตราการรอดชีพที่ 3 ปี เท่ากับ 44.0%	อัตราการรอดชีพที่ 3 ปี เท่ากับ 53.3%

Overall Comparisons

	Chi-Square	df	Sig.
Log Rank (Mantel-Cox)	.657	1	.418
Breslow (Generalized Wilcoxon)	1.466	1	.226
Tarone-Ware	1.085	1	.298

Test of equality of survival distributions for the different levels of Sex.

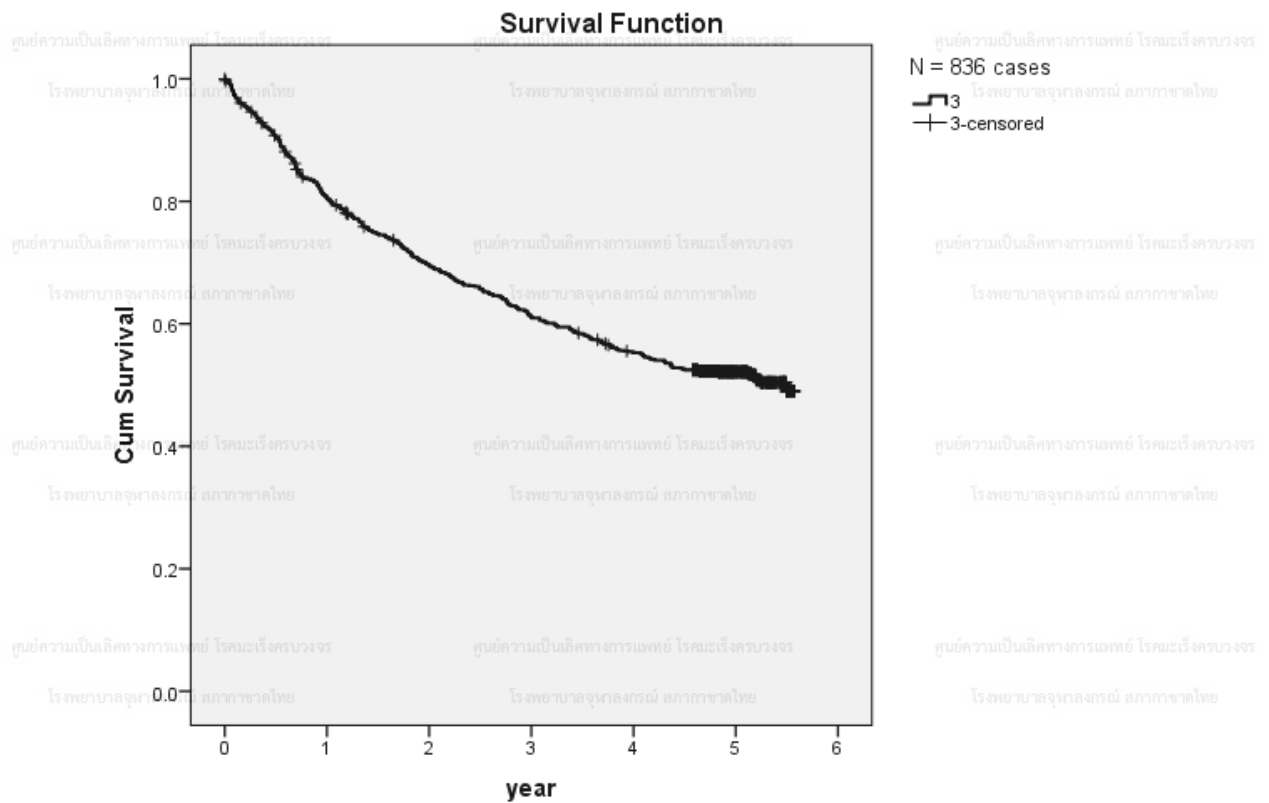
หมายเหตุ *ค่านี้สำคัญทางสถิติที่ระดับ .05

จากการศึกษา พบว่า เพศต่างกันมีอัตราการรอดชีพของผู้ป่วยโรคมะเร็งลิ้น (tongue cancer) ไม่แตกต่างกันอย่างมีนัยสำคัญทางสถิติที่ระดับ .05

แผนภูมิที่ 43

แสดงอัตราการรอดชีพของผู้ป่วยโรคมะเร็งลำไส้ใหญ่และทวารหนักที่วินิจฉัยในปี พ.ศ. 2562
(Survival rate of colon & rectum cancer patients diagnosed in 2019)

Graph Kaplan-Meier



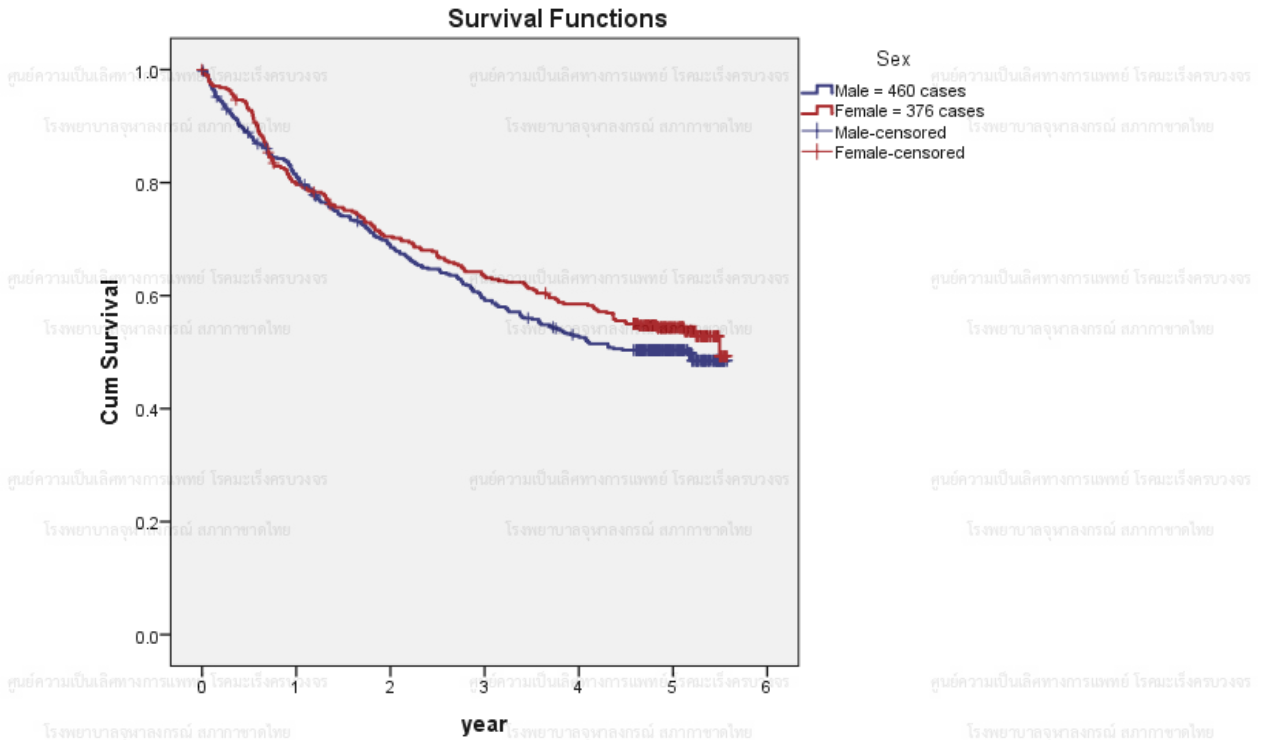
ภาพรวมผู้ป่วย โรคมะเร็งลำไส้ใหญ่และทวารหนัก (colon & rectum cancer) ในปี พ.ศ. 2562
ทั้งเพศชายและเพศหญิง โดยแบ่งเป็นปี พบว่า

1. อัตราการรอดชีพที่ 3 ปี เท่ากับ 61.2%
2. อัตราการรอดชีพที่ 5 ปี เท่ากับ 52.1%

แผนภูมิที่ 44

แสดงอัตราการรอดชีพของผู้ป่วยโรคมะเร็งลำไส้ใหญ่และทวารหนักที่วินิจฉัยในปี พ.ศ. 2562 แยกตามเพศ
(Survival rate of colon & rectum cancer patients diagnosed in 2019 by gender)

Graph Kaplan-Meier



ผู้ป่วยเพศชาย	ผู้ป่วยเพศหญิง
อัตราการรอดชีพที่ 3 ปี เท่ากับ 59.3%	อัตราการรอดชีพที่ 3 ปี เท่ากับ 63.4%
อัตราการรอดชีพที่ 5 ปี เท่ากับ 50.4%	อัตราการรอดชีพที่ 5 ปี เท่ากับ 54.3%

Overall Comparisons

	Chi-Square	df	Sig.
Log Rank (Mantel-Cox)	1.309	1	.253
Breslow (Generalized Wilcoxon)	1.334	1	.248
Tarone-Ware	1.371	1	.242

Test of equality of survival distributions for the different levels of sex.

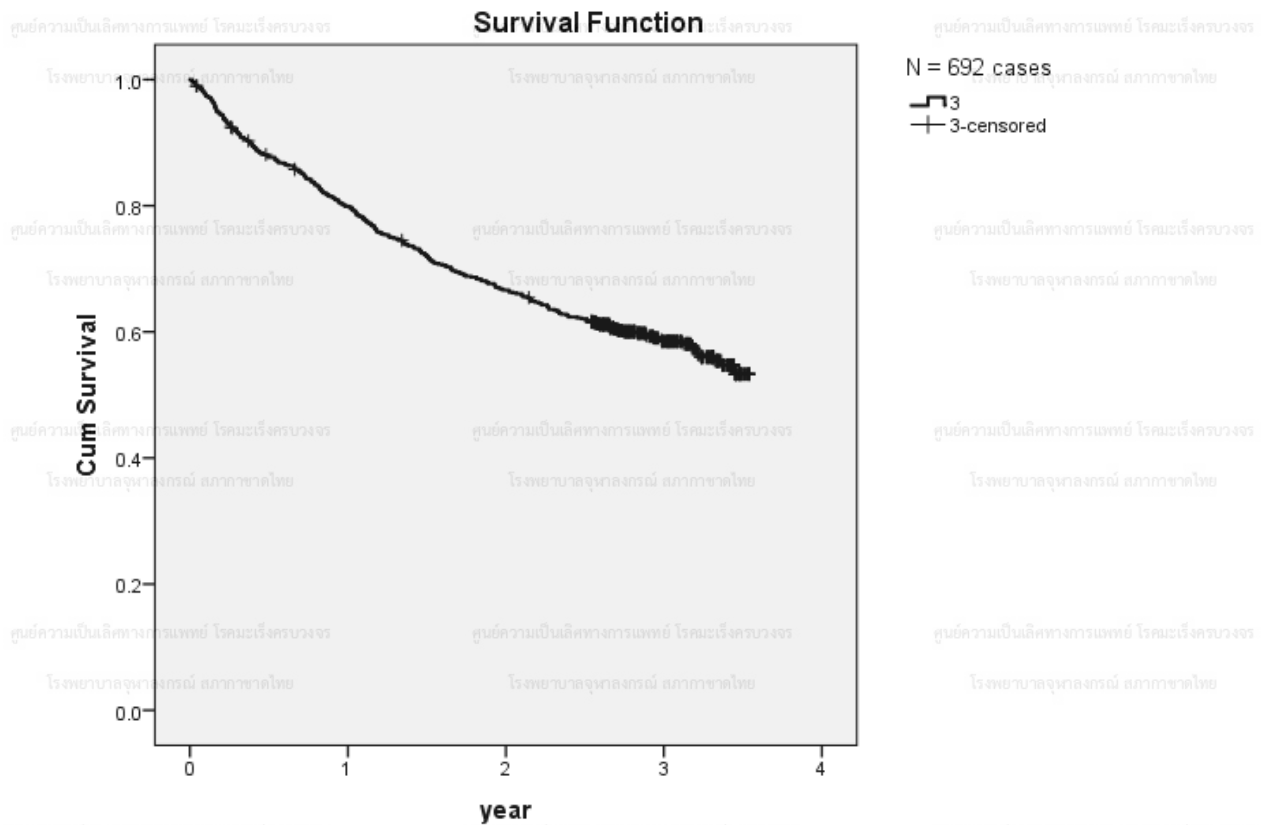
หมายเหตุ *ค่านี้สำคัญทางสถิติที่ระดับ .05

จากการศึกษา พบว่า เพศต่างกันมีอัตราการรอดชีพของผู้ป่วยโรคมะเร็งลำไส้ใหญ่และทวารหนัก (colon & rectum cancer) ไม่แตกต่างกันอย่างมีนัยสำคัญทางสถิติที่ระดับ .05

แผนภูมิที่ 45

แสดงอัตราการรอดชีพของผู้ป่วยโรคมะเร็งลำไส้ใหญ่และทวารหนักที่วินิจฉัยในปี พ.ศ. 2564
(Survival rate of colon & rectum cancer patients diagnosed in 2021)

Graph Kaplan-Meier



ภาพรวมผู้ป่วยโรคมะเร็งลำไส้ใหญ่และทวารหนัก (colon & rectum cancer) ในปี พ.ศ. 2564 ทั้งเพศชายและเพศหญิง โดยแบ่งเป็นปี พบว่า อัตราการรอดชีพที่ 3 ปี เท่ากับ 58.5%

แผนภูมิที่ 46

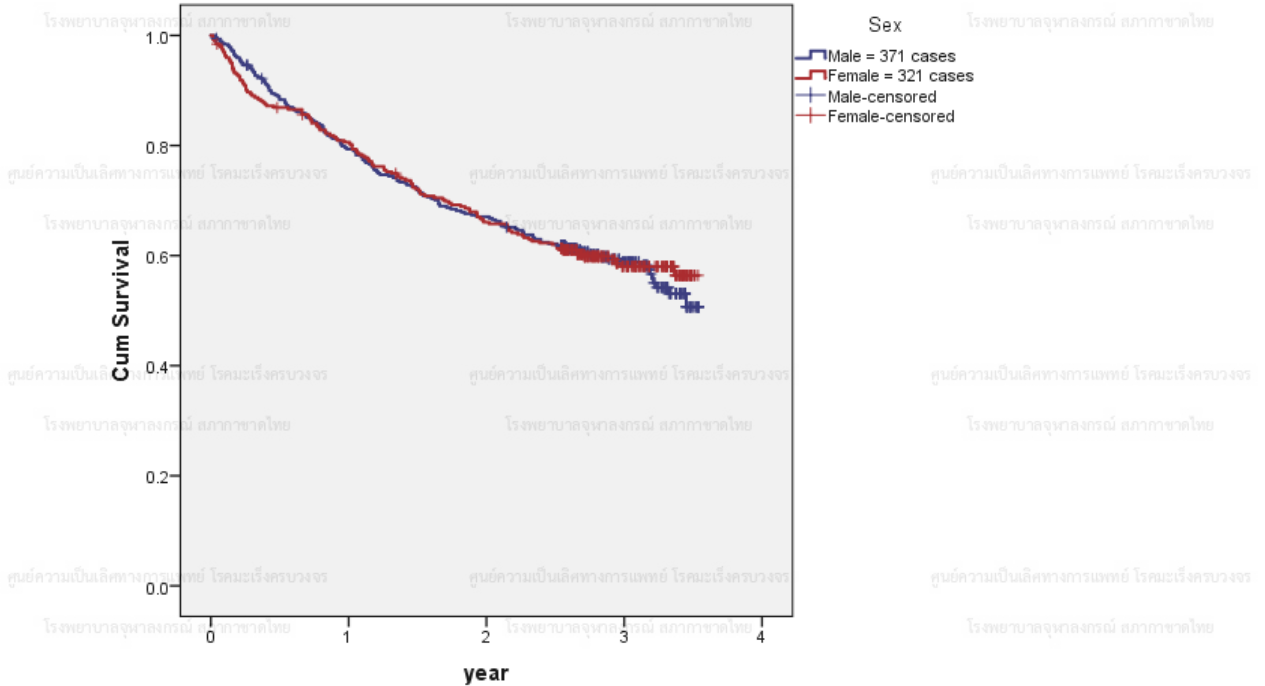
แสดงอัตราการรอดชีวิตของผู้ป่วยโรคมะเร็งลำไส้ใหญ่และทวารหนักที่วินิจฉัย

ในปี พ.ศ. 2564 แยกตามเพศ

(Survival rate of colon & rectum cancer patients diagnosed in 2021 by gender)

Graph Kaplan-Meier

Survival Functions



ผู้ป่วยเพศชาย	ผู้ป่วยเพศหญิง
อัตราการรอดชีวิตที่ 3 ปี เท่ากับ 58.8%	อัตราการรอดชีวิตที่ 3 ปี เท่ากับ 58.0%

Overall Comparisons

	Chi-Square	df	Sig.
Log Rank (Mantel-Cox)	.032	1	.858
Breslow (Generalized Wilcoxon)	.029	1	.865
Tarone-Ware	.002	1	.968

Test of equality of survival distributions for the different levels of Sex.

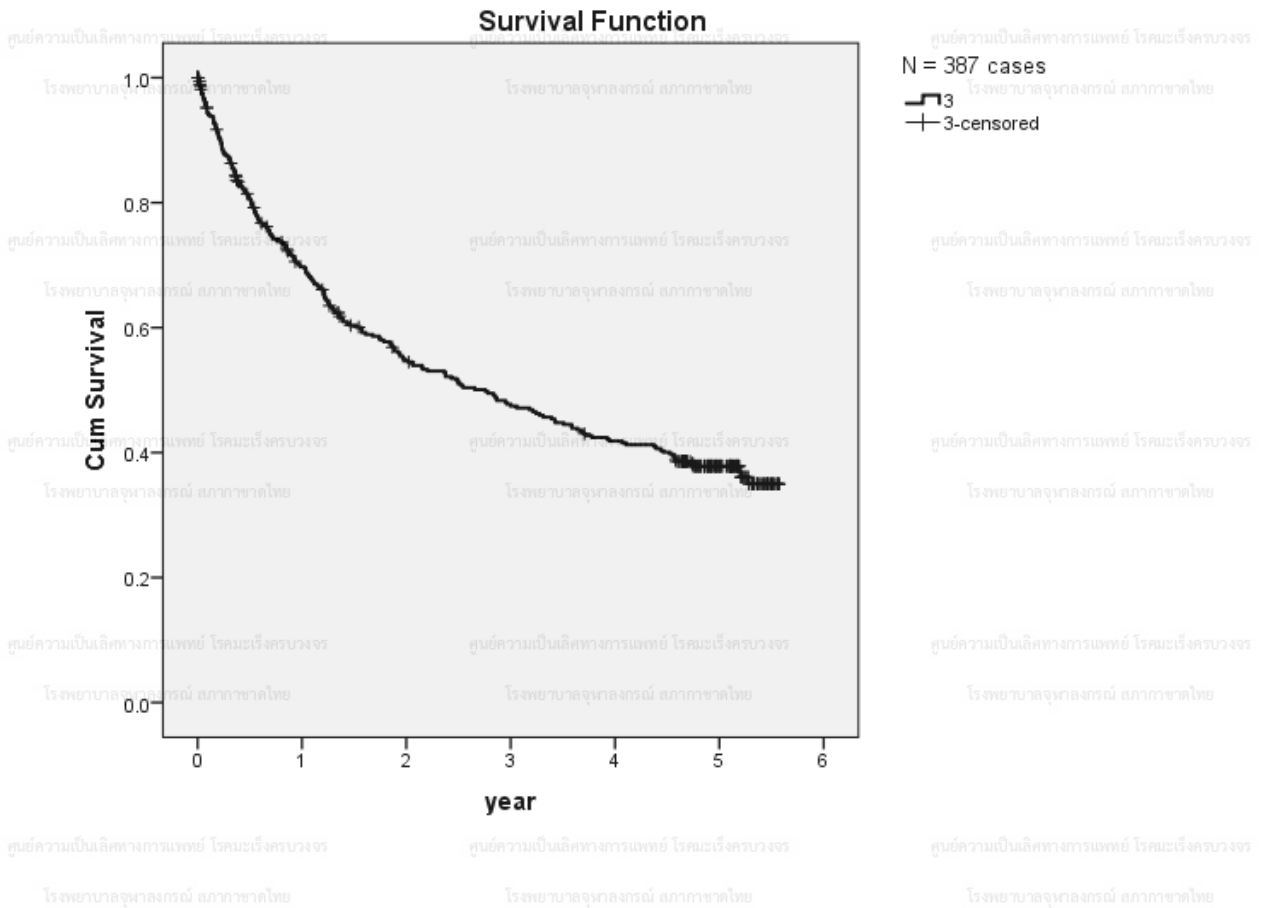
หมายเหตุ *ค่านี้สำคัญทางสถิติที่ระดับ .05

จากการศึกษา พบว่า เพศต่างกันมีอัตราการรอดชีวิตของผู้ป่วยโรคมะเร็งลำไส้ใหญ่และทวารหนัก (colon & rectum cancer) ไม่แตกต่างกันอย่างมีนัยสำคัญทางสถิติที่ระดับ .05

แผนภูมิที่ 47

แสดงอัตราการรอดชีพของผู้ป่วยโรคมะเร็งตับที่วินิจฉัย ในปี พ.ศ. 2562
(Survival rate of liver cancer patients diagnosed in 2019)

Graph Kaplan-Meier



ภาพรวมผู้ป่วย โรคมะเร็งตับ (liver cancer) ในปี พ.ศ. 2562 ทั้งเพศชายและเพศหญิง โดยแบ่งเป็นปี พบว่า

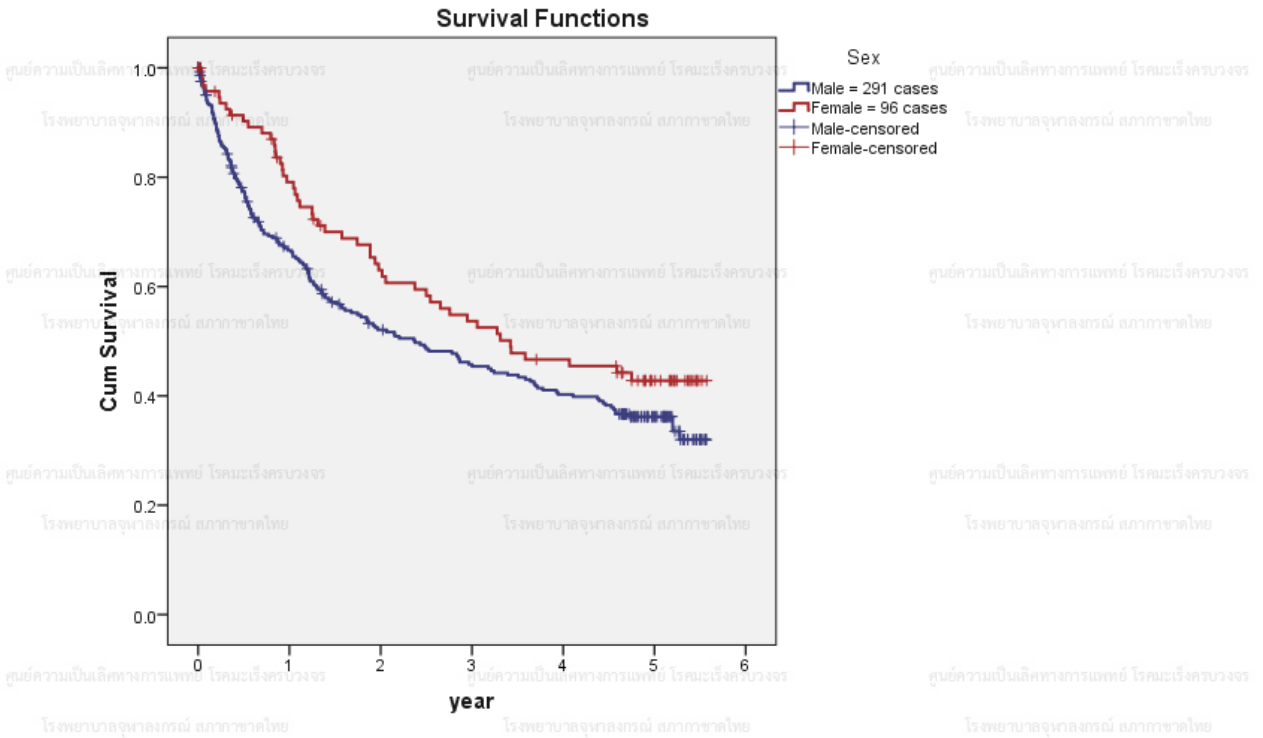
1. อัตราการรอดชีพที่ 3 ปี เท่ากับ 47.4%
2. อัตราการรอดชีพที่ 5 ปี เท่ากับ 37.8%

แผนภูมิที่ 48

แสดงอัตราการรอดชีพของผู้ป่วยโรคมะเร็งตับที่วินิจฉัยในปี พ.ศ. 2562 แยกตามเพศ

(Survival rate of liver cancer patients diagnosed in 2019 by gender)

Graph Kaplan-Meier



ผู้ป่วยเพศชาย	ผู้ป่วยเพศหญิง
อัตราการรอดชีพที่ 3 ปี เท่ากับ 32.9%	อัตราการรอดชีพที่ 3 ปี เท่ากับ 51.8%
อัตราการรอดชีพที่ 5 ปี เท่ากับ 26.0%	อัตราการรอดชีพที่ 5 ปี เท่ากับ 38.2%

Overall Comparisons

	Chi-Square	df	Sig.
Log Rank (Mantel-Cox)	3.329	1	.068
Breslow (Generalized Wilcoxon)	4.855	1	.028
Tarone-Ware	4.066	1	.044

Test of equality of survival distributions for the different levels of Sex.

หมายเหตุ *ค่านี้สำคัญทางสถิติที่ระดับ .05

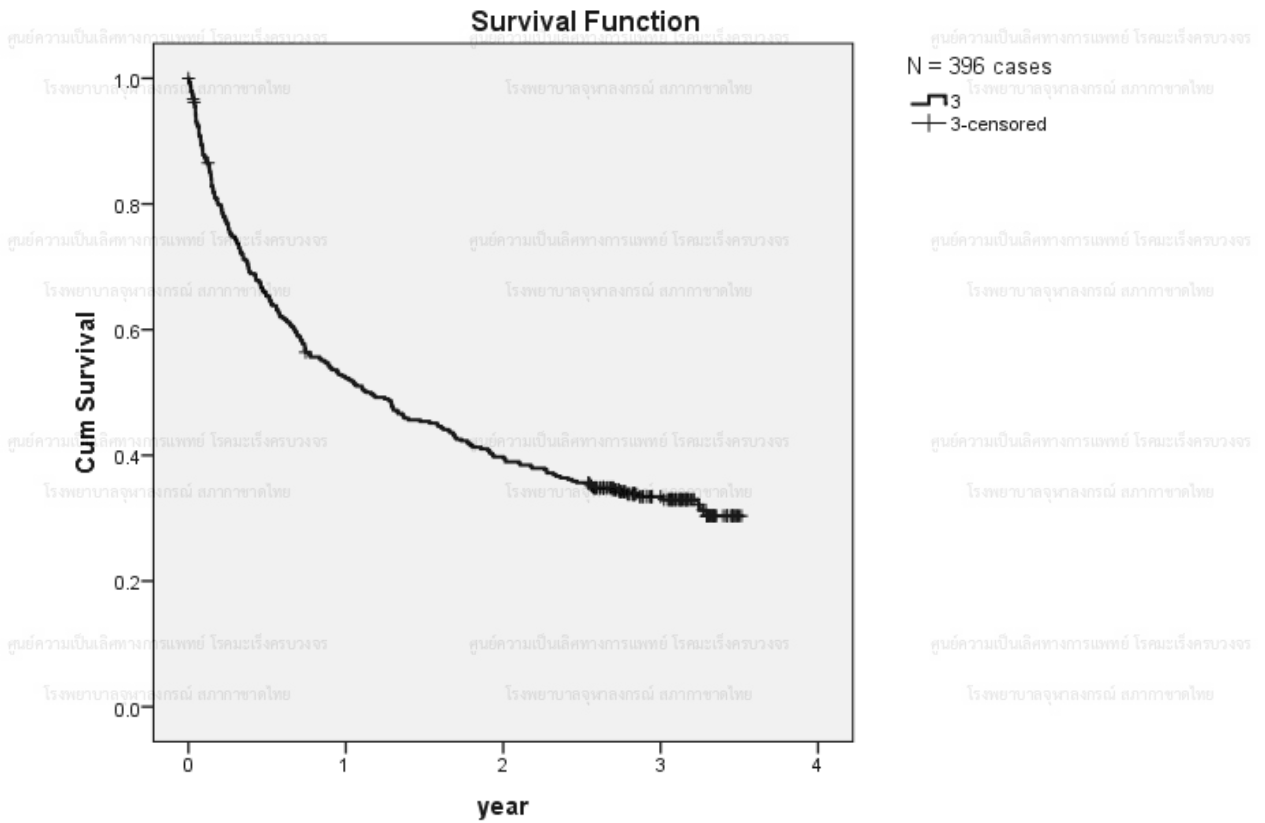
จากการศึกษา พบว่า เพศต่างกันมีอัตราการรอดชีพของผู้ป่วยโรคมะเร็งตับ (liver cancer)

ไม่แตกต่างกันอย่างมีนัยสำคัญทางสถิติที่ระดับ .05

แผนภูมิที่ 49

แสดงอัตราการรอดชีพของผู้ป่วยโรคมะเร็งตับที่วินิจฉัยในปี พ.ศ. 2564
(Survival rate of liver cancer patients diagnosed in 2021)

Graph Kaplan-Meier



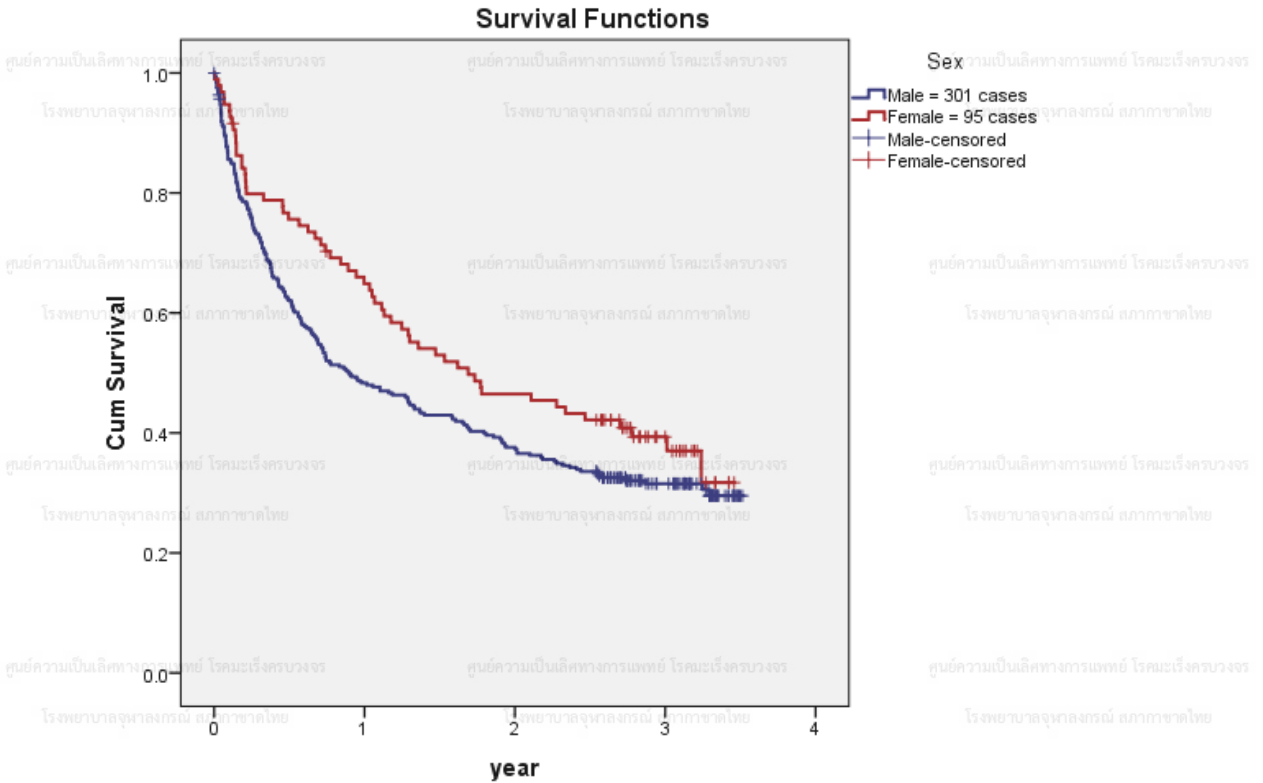
ภาพรวมผู้ป่วย โรคมะเร็งตับ (liver cancer) ในปี พ.ศ. 2564 ทั้งเพศชาย และเพศหญิง โดยแบ่งเป็นปี พบว่า อัตราการรอดชีพที่ 3 ปี เท่ากับ 33.4%

แผนภูมิที่ 50

แสดงอัตราการรอดชีพของผู้ป่วยโรคมะเร็งตับที่วินิจฉัยในปี พ.ศ. 2564 แยกตามเพศ

(Survival rate of liver cancer patients diagnosed in 2021 by gender)

Graph Kaplan-Meier



ผู้ป่วยเพศชาย	ผู้ป่วยเพศหญิง
อัตราการรอดชีพที่ 3 ปี เท่ากับ 34.5%	อัตราการรอดชีพที่ 3 ปี เท่ากับ 38.9%

Overall Comparisons

	Chi-Square	df	Sig.
Log Rank (Mantel-Cox)	2.993	1	.084
Breslow (Generalized Wilcoxon)	4.885	1	.027
Tarone-Ware	4.140	1	.042

Test of equality of survival distributions for the different levels of Sex.

หมายเหตุ *ค่านัยสำคัญทางสถิติที่ระดับ .05

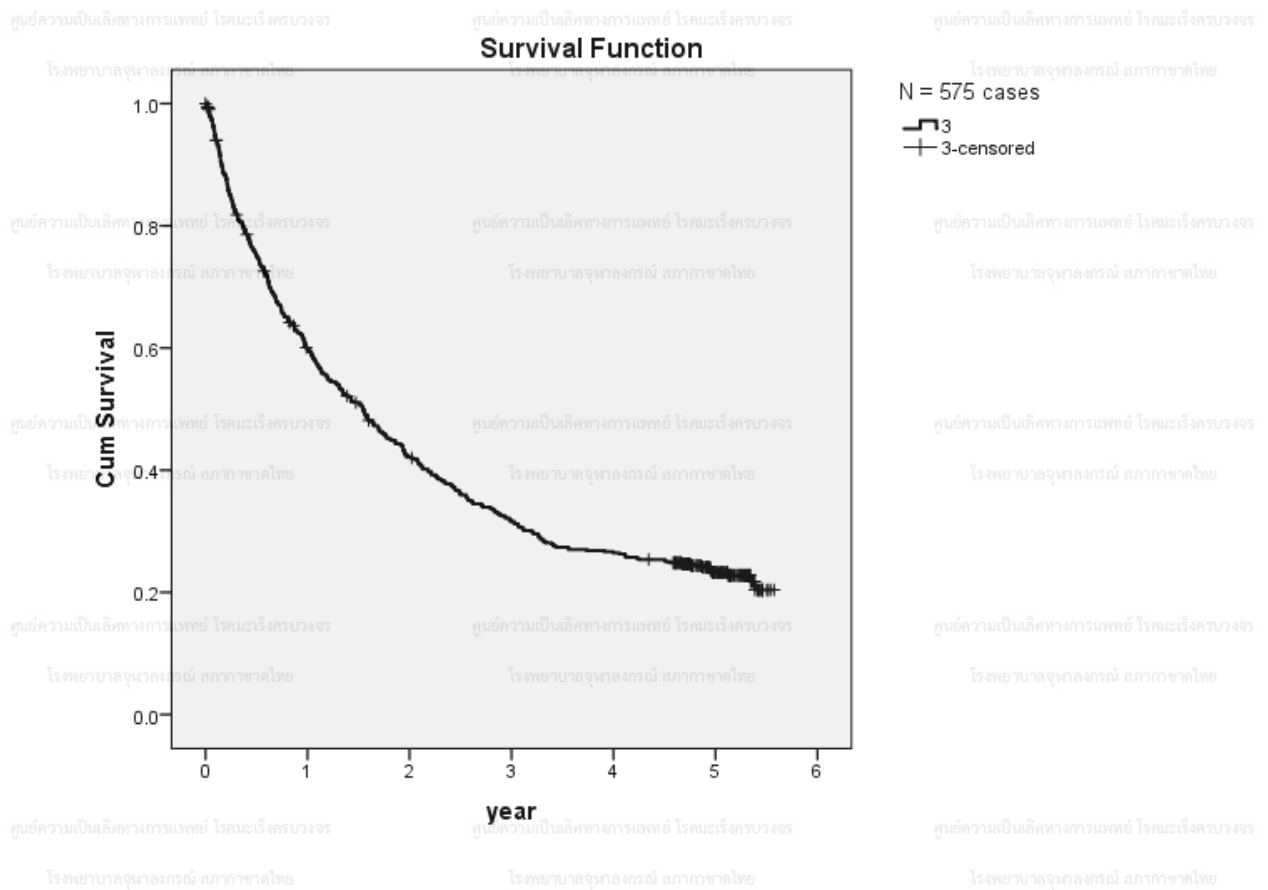
จากการศึกษา พบว่า เพศต่างกันมีอัตราการรอดชีพของผู้ป่วยโรคมะเร็งตับ (liver cancer)

ไม่แตกต่างกันอย่างมีนัยสำคัญทางสถิติที่ระดับ .05

แผนภูมิที่ 51

แสดงอัตราการรอดชีพของผู้ป่วยโรคมะเร็งปอดที่วินิจฉัยในปี พ.ศ. 2562
(Survival rate of lung cancer patients diagnosed in 2019)

Graph Kaplan-Meier



ภาพรวมผู้ป่วยโรคมะเร็งปอด (lung cancer) ในปี พ.ศ. 2562 ทั้งเพศชาย และเพศหญิง โดยแบ่งเป็นปี พบว่า

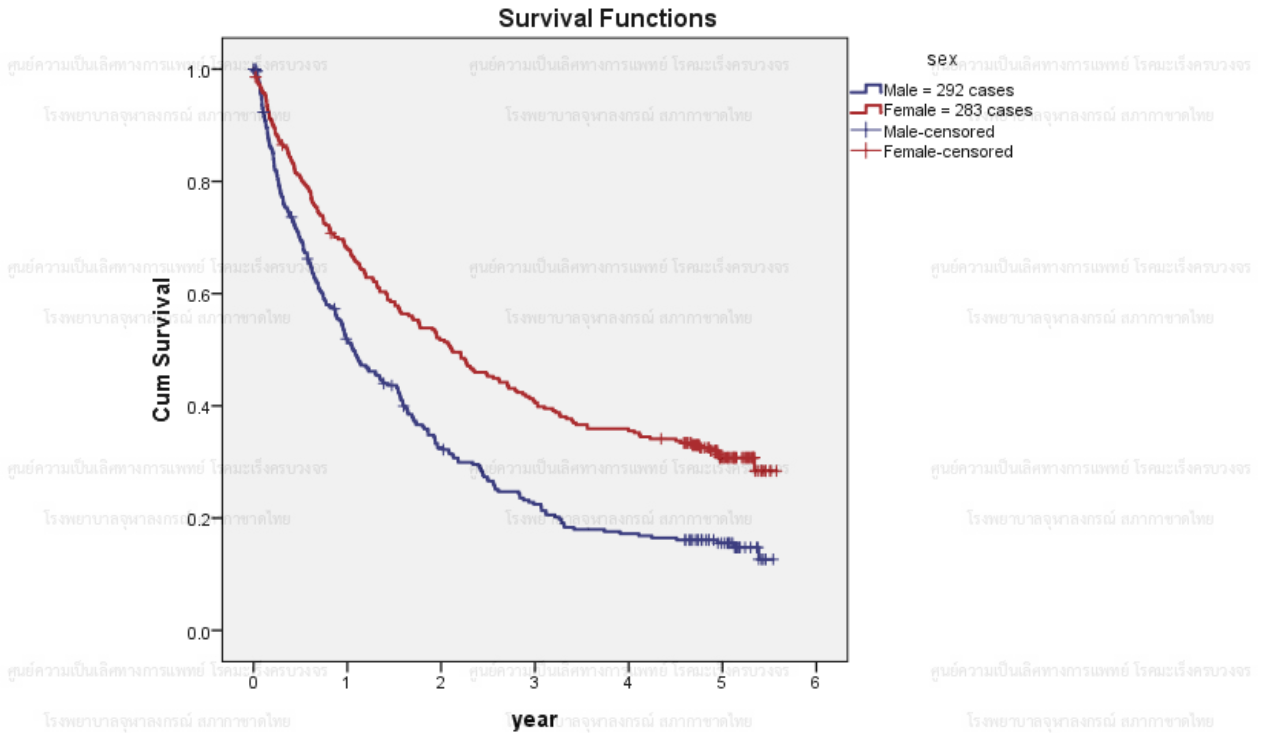
1. อัตราการรอดชีพที่ 3 ปี เท่ากับ 31.6%
2. อัตราการรอดชีพที่ 5 ปี เท่ากับ 23.2%

แผนภูมิที่ 52

แสดงอัตราการรอดชีพของผู้ป่วยโรคมะเร็งปอดที่วินิจฉัยในปี พ.ศ. 2562 แยกตามเพศ

(Survival rate of lung cancer patients diagnosed in 2019 by gender)

Graph Kaplan-Meier



ผู้ป่วยเพศชาย	ผู้ป่วยเพศหญิง
อัตราการรอดชีพที่ 3 ปี เท่ากับ 22.5%	อัตราการรอดชีพที่ 3 ปี เท่ากับ 40.6%
อัตราการรอดชีพที่ 5 ปี เท่ากับ 15.5%	อัตราการรอดชีพที่ 5 ปี เท่ากับ 30.8%

Overall Comparisons

	Chi-Square	df	Sig.
Log Rank (Mantel-Cox)	26.263	1	.000
Breslow (Generalized Wilcoxon)	23.328	1	.000
Tarone-Ware	25.435	1	.000

Test of equality of survival distributions for the different levels of sex.

หมายเหตุ *ค่านัยสำคัญทางสถิติที่ระดับ .05

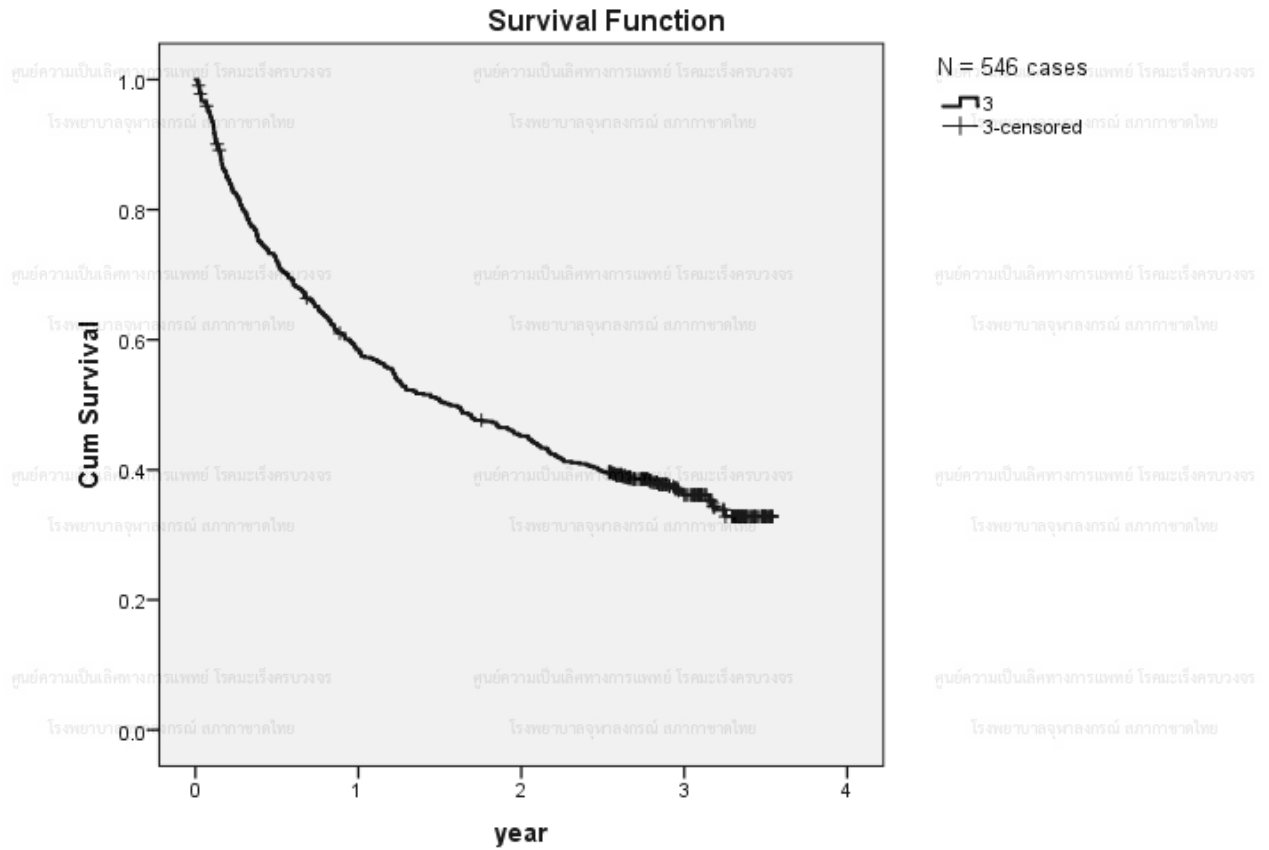
จากการศึกษา พบว่า เพศต่างกันมีอัตราการรอดชีพของผู้ป่วยโรคมะเร็งปอด (lung cancer)

แตกต่างกันอย่างมีนัยสำคัญทางสถิติที่ระดับ .05

แผนภูมิที่ 53

แสดงอัตราการรอดชีพของผู้ป่วยโรคมะเร็งปอดที่วินิจฉัยในปี พ.ศ. 2564
(Survival rate of lung cancer patients diagnosed in 2021)

Graph Kaplan-Meier



ภาพรวมผู้ป่วย โรคมะเร็งปอด (lung cancer) ในปี พ.ศ. 2564 ทั้งเพศชาย และเพศหญิง

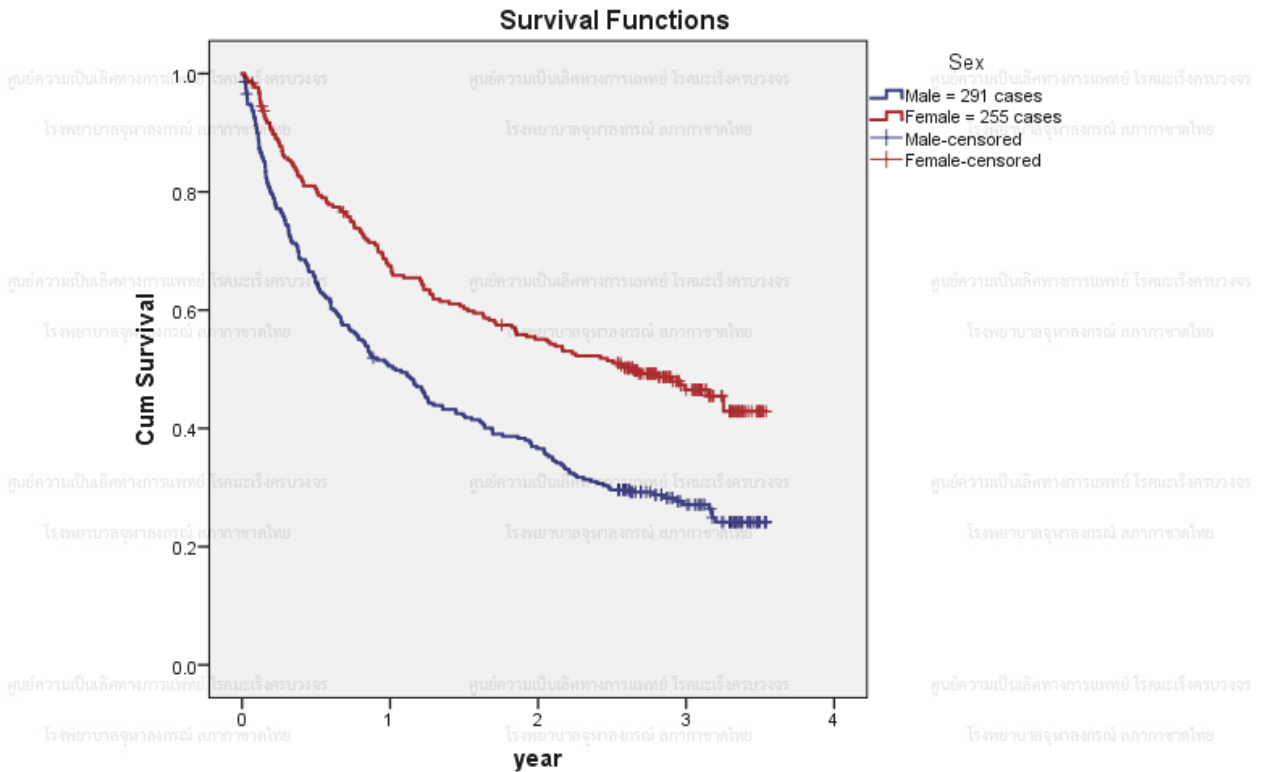
โดยแบ่งเป็นปี พบว่า อัตราการรอดชีพที่ 3 ปี เท่ากับ 36.1%

แผนภูมิที่ 54

แสดงอัตราการรอดชีพของผู้ป่วยโรคมะเร็งปอดที่วินิจฉัยในปี พ.ศ. 2564 แยกตามเพศ

(Survival rate of lung cancer patients diagnosed in 2021 by gender)

Graph Kaplan-Meier



ผู้ป่วยเพศชาย	ผู้ป่วยเพศหญิง
อัตราการรอดชีพที่ 3 ปี เท่ากับ 27.1%	อัตราการรอดชีพที่ 3 ปี เท่ากับ 46.5%

Overall Comparisons

	Chi-Square	df	Sig.
Log Rank (Mantel-Cox)	26.966	1	.000
Breslow (Generalized Wilcoxon)	27.567	1	.000
Tarone-Ware	27.795	1	.000

Test of equality of survival distributions for the different levels of Sex.

หมายเหตุ *ค่านี้ยสำคัญทางสถิติที่ระดับ .05

จากการศึกษา พบว่า เพศต่างกันมีอัตราการรอดชีพของผู้ป่วยโรคมะเร็งปอด (lung cancer)

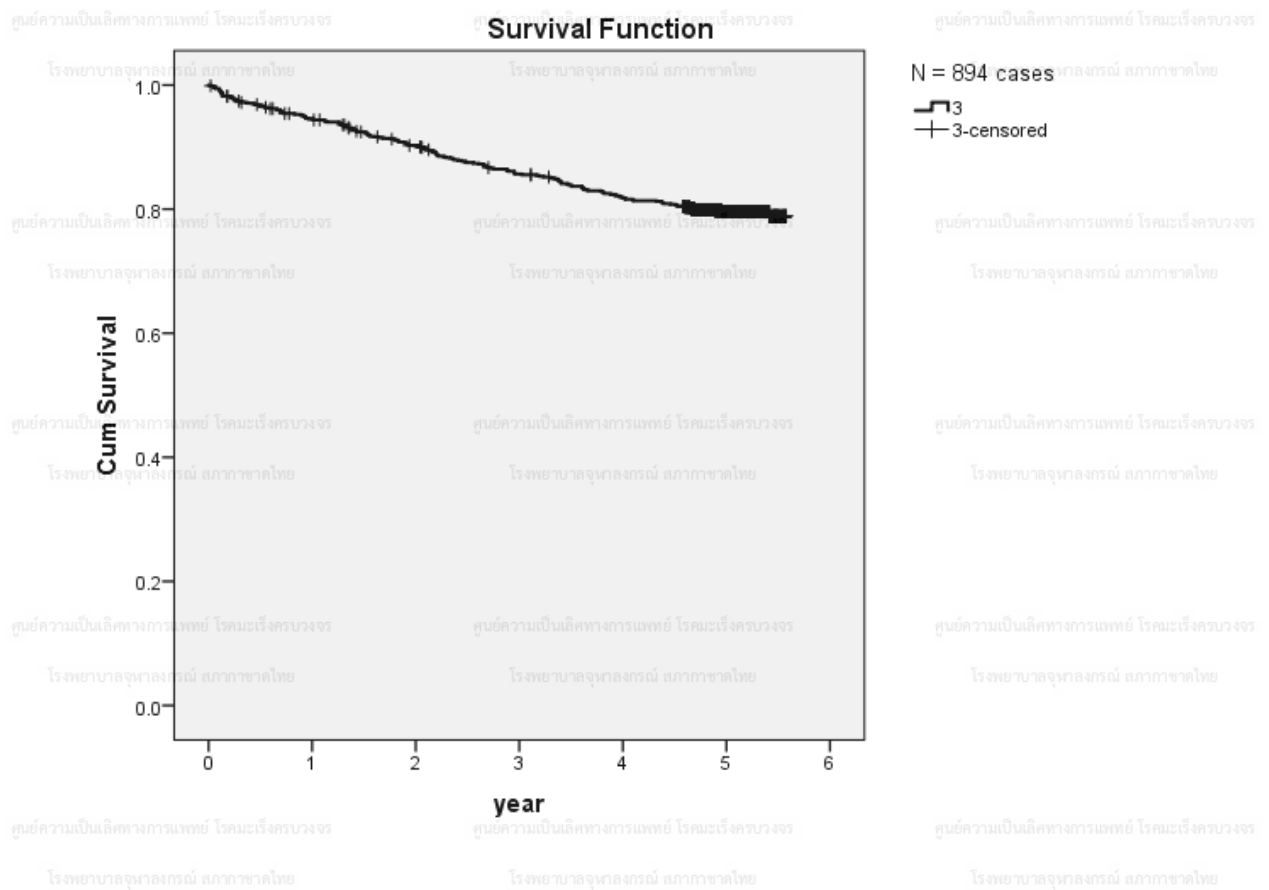
แตกต่างกันอย่างมีนัยสำคัญทางสถิติที่ระดับ .05

แผนภูมิที่ 55

แสดงอัตราการรอดชีพของผู้ป่วยโรคมะเร็งเต้านมที่วินิจฉัยในปี พ.ศ. 2562

(Survival rate of breast cancer patients diagnosed in 2019)

Graph Kaplan-Meier



ภาพรวมผู้ป่วย โรคมะเร็งเต้านม (breast cancer) ในปี พ.ศ. 2562 โดยแบ่งเป็นปี พบว่า

1. อัตราการรอดชีพที่ 3 ปี เท่ากับ 85.6%

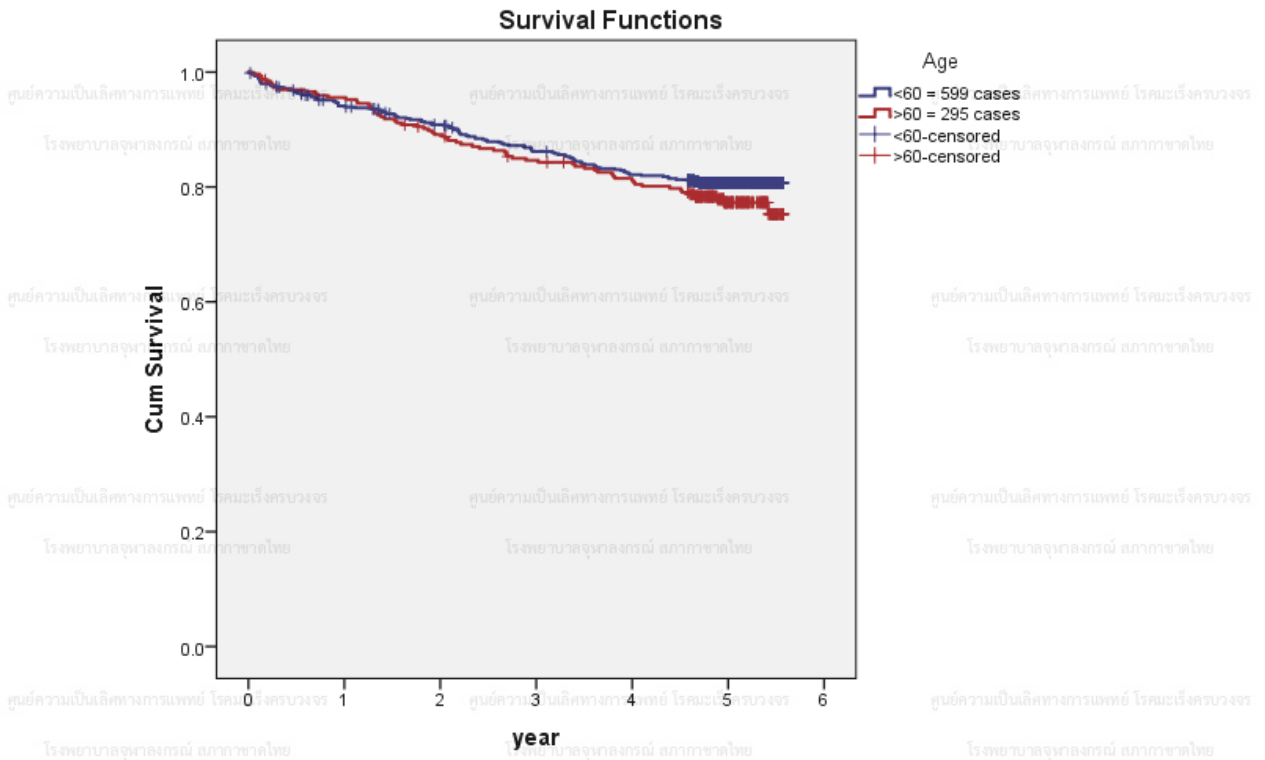
2. อัตราการรอดชีพที่ 5 ปี เท่ากับ 79.6%

แผนภูมิที่ 56

แสดงอัตราการรอดชีพของผู้ป่วยโรคมะเร็งเต้านมที่วินิจฉัยในปี พ.ศ. 2562 แยกตามช่วงอายุ

(Survival rate of breast cancer patients diagnosed in 2019 by age)

Graph Kaplan-Meier



ผู้ป่วยอายุน้อยกว่า 60 ปี	ผู้ป่วยอายุมากกว่า 60 ปี
อัตราการรอดชีพที่ 3 ปี เท่ากับ 86.2%	อัตราการรอดชีพที่ 3 ปี เท่ากับ 84.6%
อัตราการรอดชีพที่ 5 ปี เท่ากับ 80.7%	อัตราการรอดชีพที่ 5 ปี เท่ากับ 77.3%

Overall Comparisons

	Chi-Square	df	Sig.
Log Rank (Mantel-Cox)	1.224	1	.269
Breslow (Generalized Wilcoxon)	.790	1	.374
Tarone-Ware	.948	1	.330

Test of equality of survival distributions for the different levels of age.

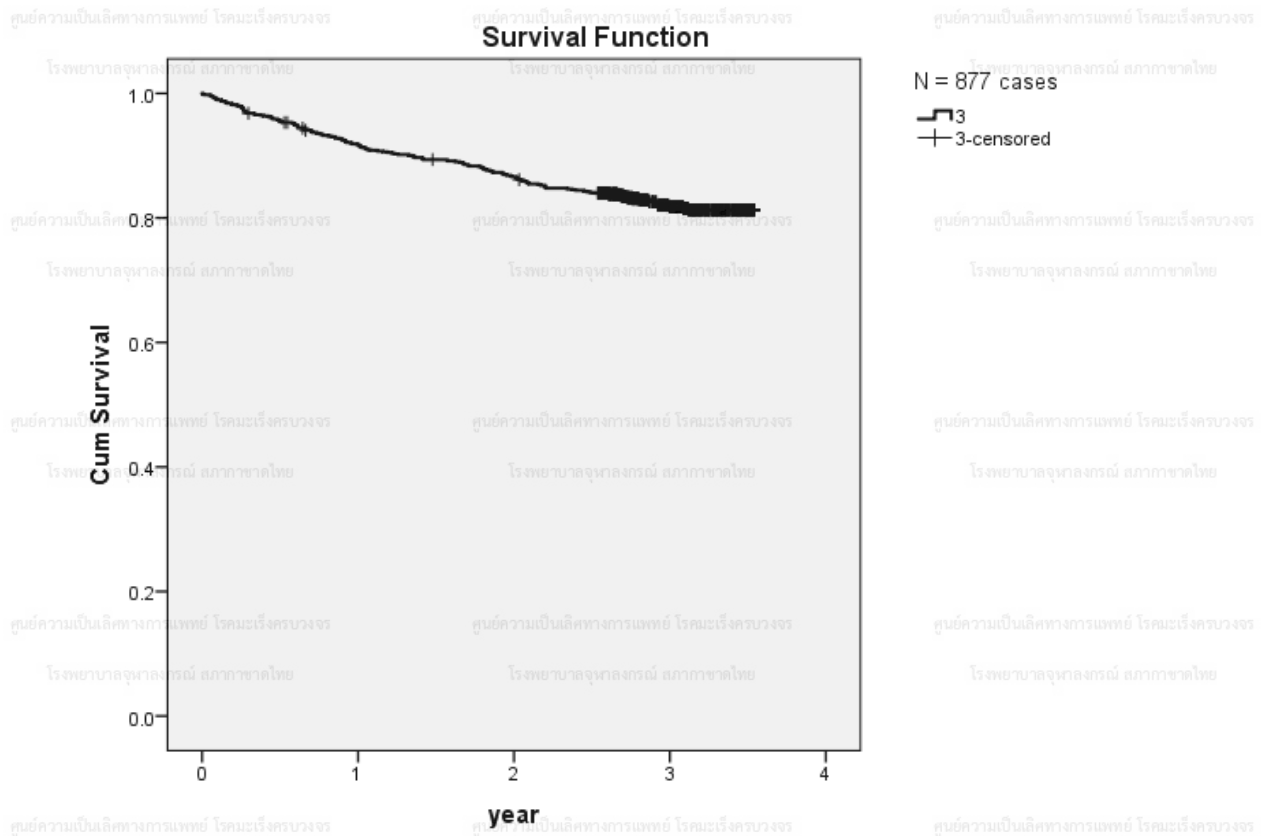
หมายเหตุ *ค่านัยสำคัญทางสถิติที่ระดับ .05

จากการศึกษา พบว่า กลุ่มอายุของผู้ป่วยต่างกันมีอัตราการรอดชีพของผู้ป่วยโรคมะเร็งเต้านม (breast cancer) ไม่แตกต่างกันอย่างมีนัยสำคัญทางสถิติที่ระดับ .05

แผนภูมิที่ 57

แสดงอัตราการรอดชีพของผู้ป่วยโรคมะเร็งเต้านมที่วินิจฉัยในปี พ.ศ. 2564
(Survival rate of breast cancer patients diagnosed in 2021)

Graph Kaplan-Meier



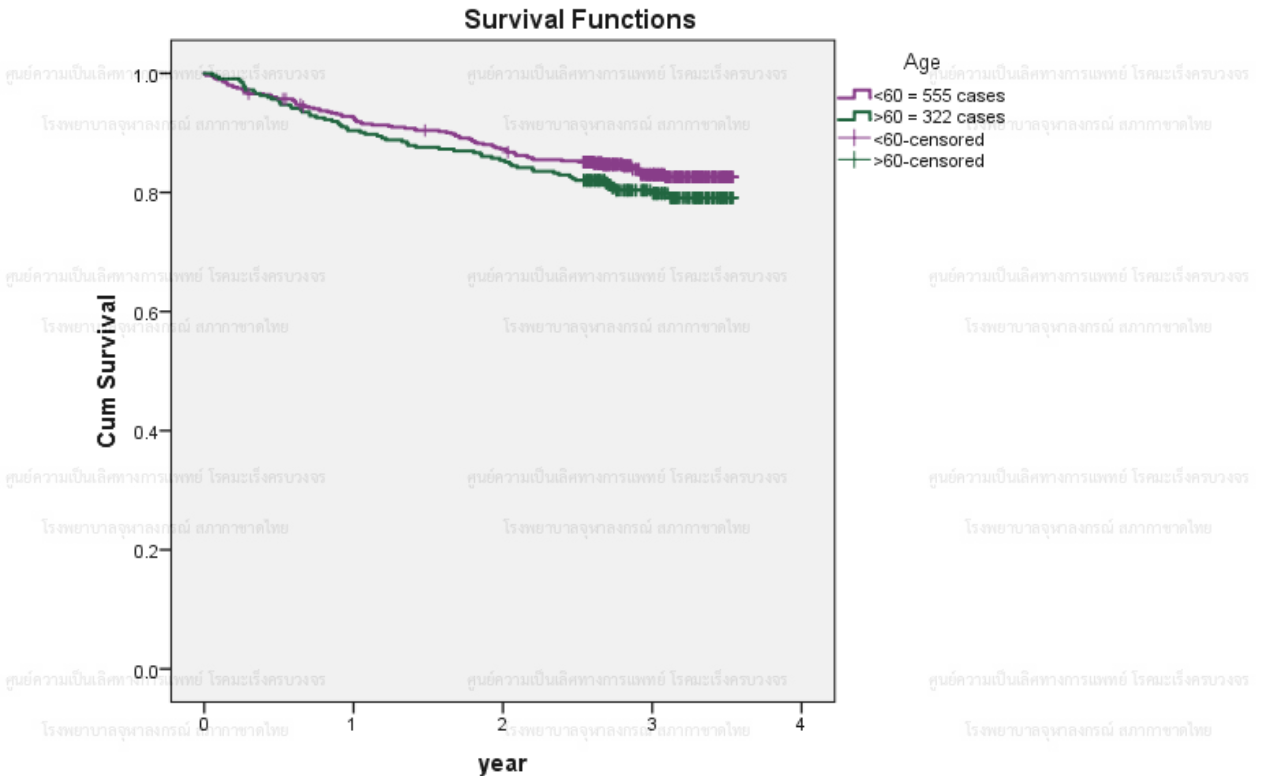
ภาพรวมผู้ป่วยโรคมะเร็งเต้านม (breast cancer) ในปี พ.ศ. 2564 โดยแบ่งเป็นปี พบว่า
อัตราการรอดชีพที่ 3 ปี เท่ากับ 81.8%

แผนภูมิที่ 58

แสดงอัตราการรอดชีพของผู้ป่วยโรคมะเร็งเต้านมที่วินิจฉัยในปี พ.ศ. 2564 แยกตามช่วงอายุ

(Survival rate of breast cancer patients diagnosed in 2021 by age)

Graph Kaplan-Meier



ผู้ป่วยอายุน้อยกว่า 60 ปี	ผู้ป่วยอายุมากกว่า 60 ปี
อัตราการรอดชีพที่ 3 ปี เท่ากับ 83.0%	อัตราการรอดชีพที่ 3 ปี เท่ากับ 79.8%

Overall Comparisons

	Chi-Square	df	Sig.
Log Rank (Mantel-Cox)	1.522	1	.217
Breslow (Generalized Wilcoxon)	1.470	1	.225
Tarone-Ware	1.503	1	.220

Test of equality of survival distributions for the different levels of Age.

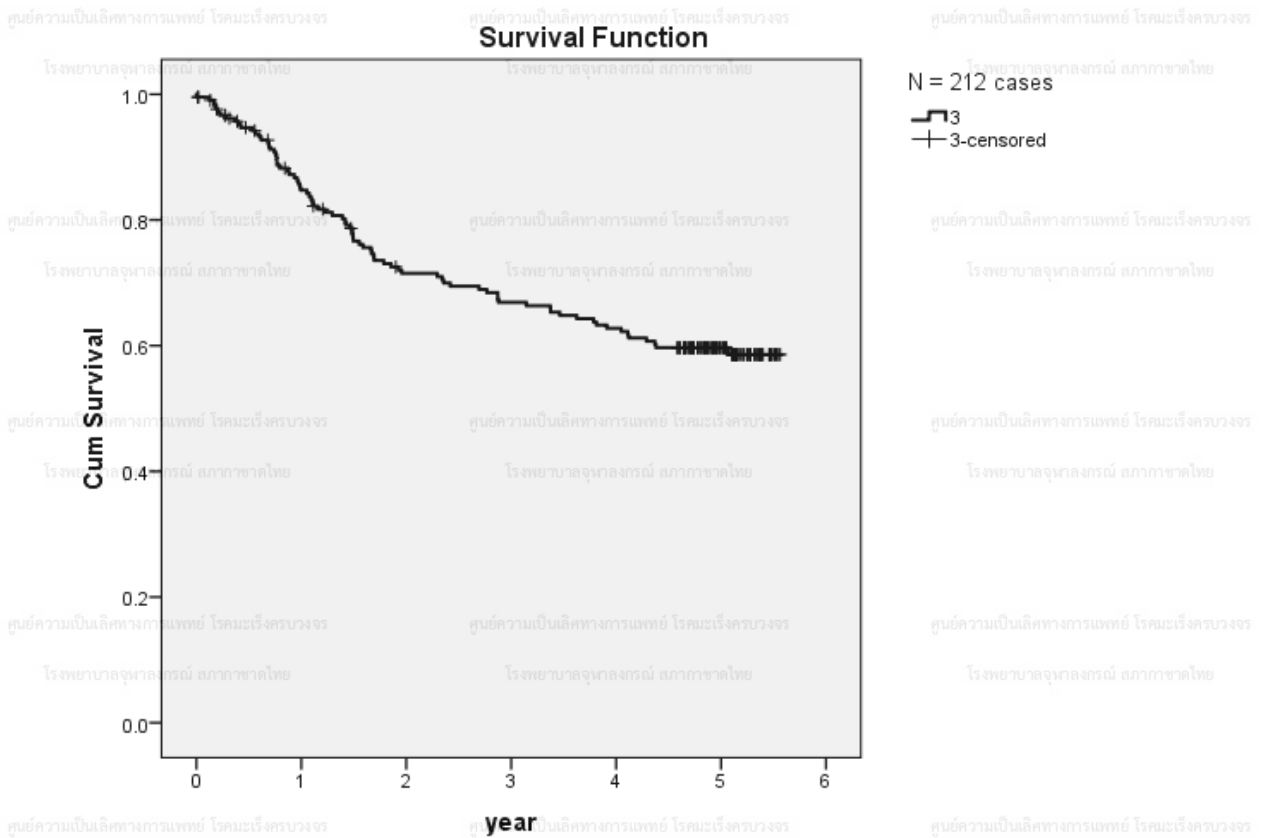
หมายเหตุ *ค่านี้สำคัญทางสถิติที่ระดับ .05

จากการศึกษา พบว่า กลุ่มอายุของผู้ป่วยต่างกันมีอัตราการรอดชีพของผู้ป่วยโรคมะเร็งเต้านม (breast cancer) ไม่แตกต่างกันอย่างมีนัยสำคัญทางสถิติที่ระดับ .05

แผนภูมิที่ 59

แสดงอัตราการรอดชีพของผู้ป่วยโรคมะเร็งปากมดลูกที่วินิจฉัยในปี พ.ศ. 2562
(Survival rate of cervix uteri cancer patients diagnosed in 2019)

Graph Kaplan-Meier



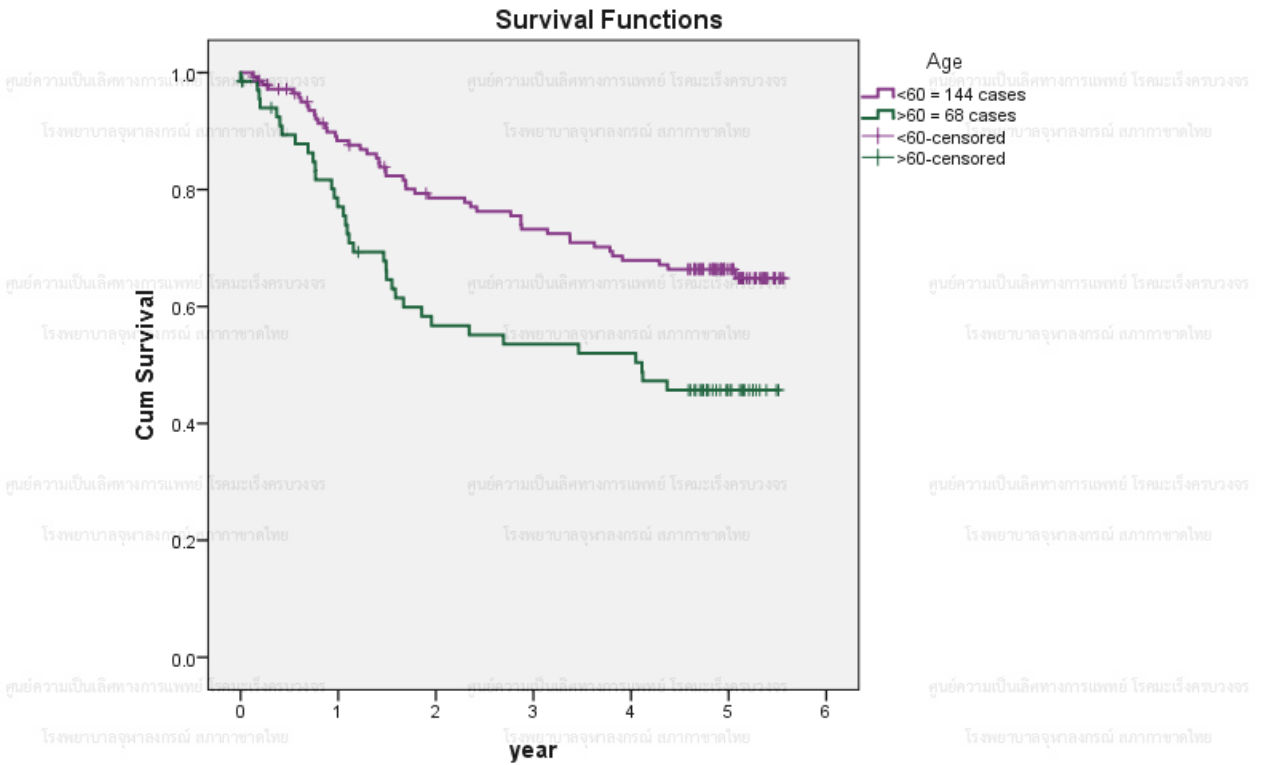
ภาพรวมผู้ป่วย โรคมะเร็งปากมดลูก (cervix uteri cancer) ในปี พ.ศ. 2562 โดยแบ่งเป็นปี พบว่า

1. อัตราการรอดชีพที่ 3 ปี เท่ากับ 66.9%
2. อัตราการรอดชีพที่ 5 ปี เท่ากับ 59.7%

แผนภูมิที่ 60

แสดงอัตราการรอดชีพของผู้ป่วยโรคมะเร็งปากมดลูกที่วินิจฉัยในปี พ.ศ. 2562 แยกตามช่วงอายุ
(Survival rate of cervix uteri cancer patients diagnosed in 2019 by age)

Graph Kaplan-Meier



ผู้ป่วยอายุน้อยกว่า 60 ปี	ผู้ป่วยอายุมากกว่า 60 ปี
อัตราการรอดชีพที่ 3 ปี เท่ากับ 73.2%	อัตราการรอดชีพที่ 3 ปี เท่ากับ 53.6%
อัตราการรอดชีพที่ 5 ปี เท่ากับ 66.4%	อัตราการรอดชีพที่ 5 ปี เท่ากับ 45.7%

Overall Comparisons

	Chi-Square	df	Sig.
Log Rank (Mantel-Cox)	9.060	1	.003
Breslow (Generalized Wilcoxon)	10.011	1	.002
Tarone-Ware	9.646	1	.002

Test of equality of survival distributions for the different levels of Age.

หมายเหตุ *ค่านัยสำคัญทางสถิติที่ระดับ .05

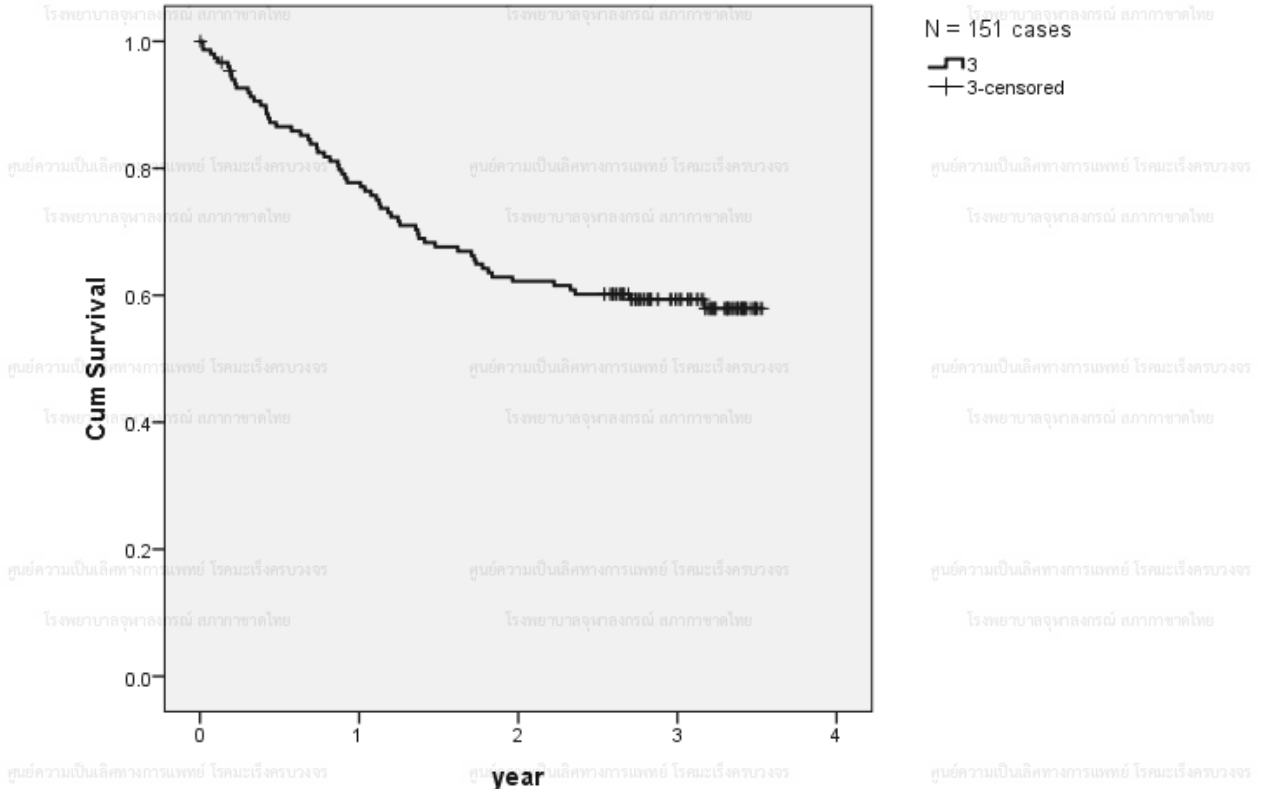
จากการศึกษา พบว่า กลุ่มอายุของผู้ป่วยต่างกันมีอัตราการรอดชีพของผู้ป่วยโรคมะเร็งปากมดลูก (cervix uteri cancer) แตกต่างกันอย่างมีนัยสำคัญทางสถิติที่ระดับ .05

แผนภูมิที่ 61

แสดงอัตราการรอดชีพของผู้ป่วยโรคมะเร็งปากมดลูกที่วินิจฉัยในปี พ.ศ. 2564

(Survival rate of cervix uteri cancer patients diagnosed in 2021)

Graph Kaplan-Meier

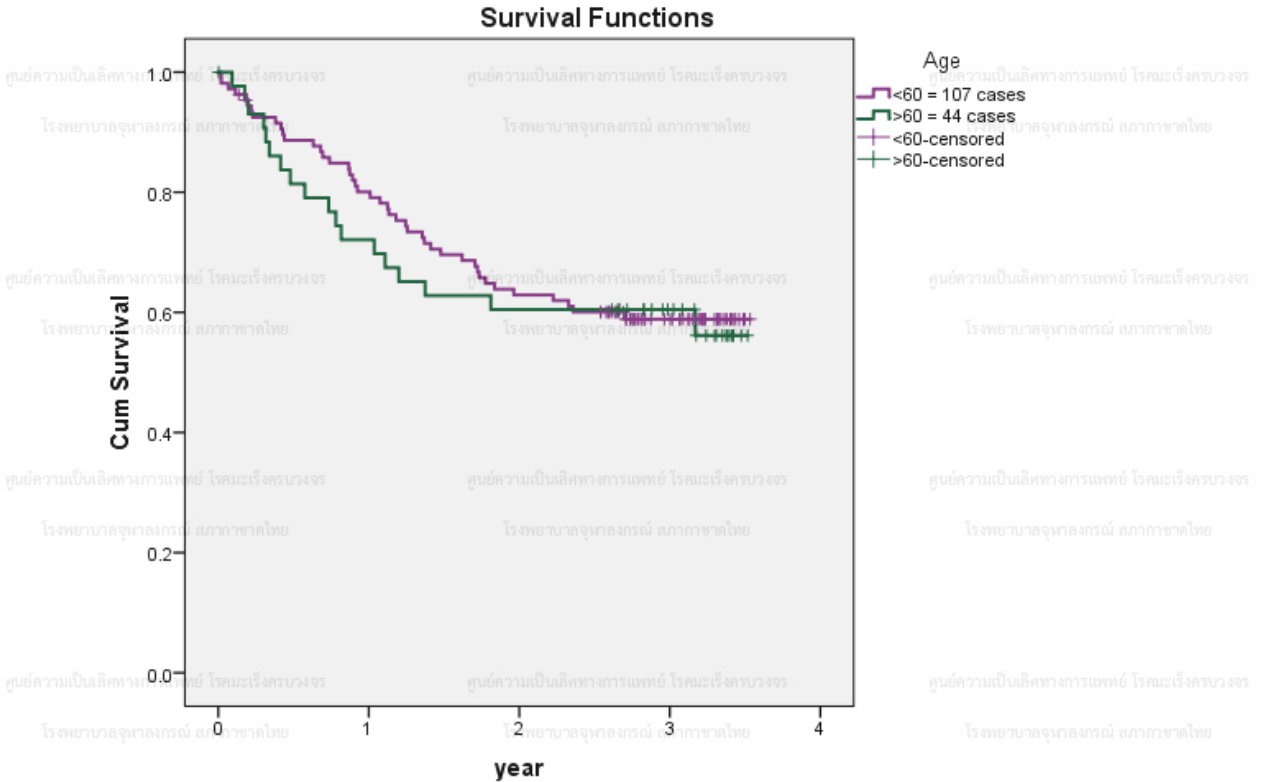


ภาพรวมผู้ป่วย โรคมะเร็งปากมดลูก (cervix uteri cancer) ในปี พ.ศ. 2564 โดยแบ่งเป็นปี พบว่าอัตราการรอดชีพที่ 3 ปี เท่ากับ 59.4%

แผนภูมิที่ 62

แสดงอัตราการรอดชีพของผู้ป่วยโรคมะเร็งปากมดลูกที่วินิจฉัยในปี พ.ศ. 2564 แยกตามช่วงอายุ
(Survival rate of cervix uteri cancer patients diagnosed in 2019 by age)

Graph Kaplan-Meier



ผู้ป่วยอายุน้อยกว่า 60 ปี	ผู้ป่วยอายุมากกว่า 60 ปี
อัตราการรอดชีพที่ 3 ปี เท่ากับ 58.9%	อัตราการรอดชีพที่ 3 ปี เท่ากับ 60.5%

Overall Comparisons

	Chi-Square	df	Sig.
Log Rank (Mantel-Cox)	.098	1	.754
Breslow (Generalized Wilcoxon)	.209	1	.648
Tarone-Ware	.142	1	.706

Test of equality of survival distributions for the different levels of Age.

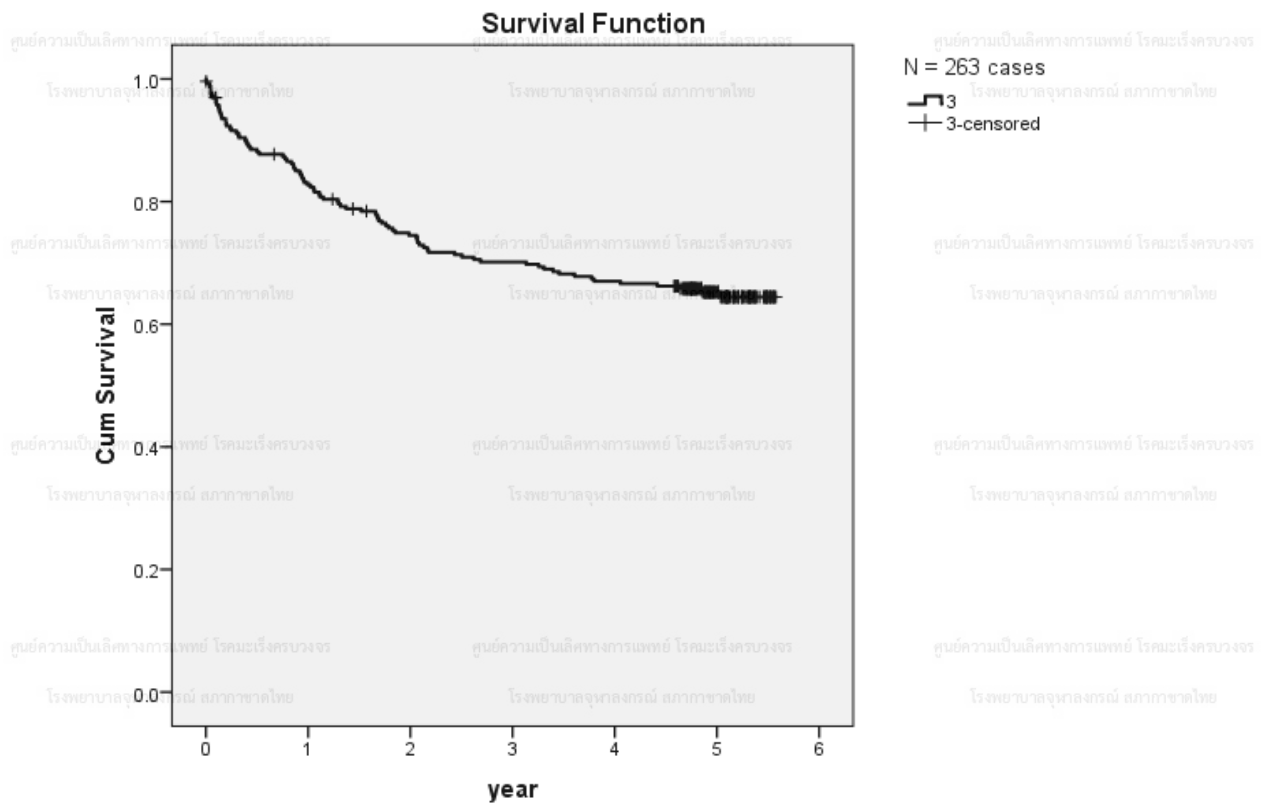
หมายเหตุ *ค่านัยสำคัญทางสถิติที่ระดับ .05

จากการศึกษา พบว่า กลุ่มอายุของผู้ป่วยต่างกันมีอัตราการรอดชีพของผู้ป่วยโรคมะเร็งปากมดลูก (cervix uteri cancer) ไม่แตกต่างกันอย่างมีนัยสำคัญทางสถิติที่ระดับ .05

แผนภูมิที่ 63

แสดงอัตราการรอดชีพของผู้ป่วยโรคมะเร็งต่อมน้ำเหลืองที่วินิจฉัยในปี พ.ศ. 2562
(Survival rate of lymphoma patients diagnosed in 2019)

Graph Kaplan-Meier



ภาพรวมผู้ป่วยโรคมะเร็งต่อมน้ำเหลือง (Lymphoma) ในปี พ.ศ. 2562 เพศชายและเพศหญิง โดยแบ่งเป็นปี พบว่า

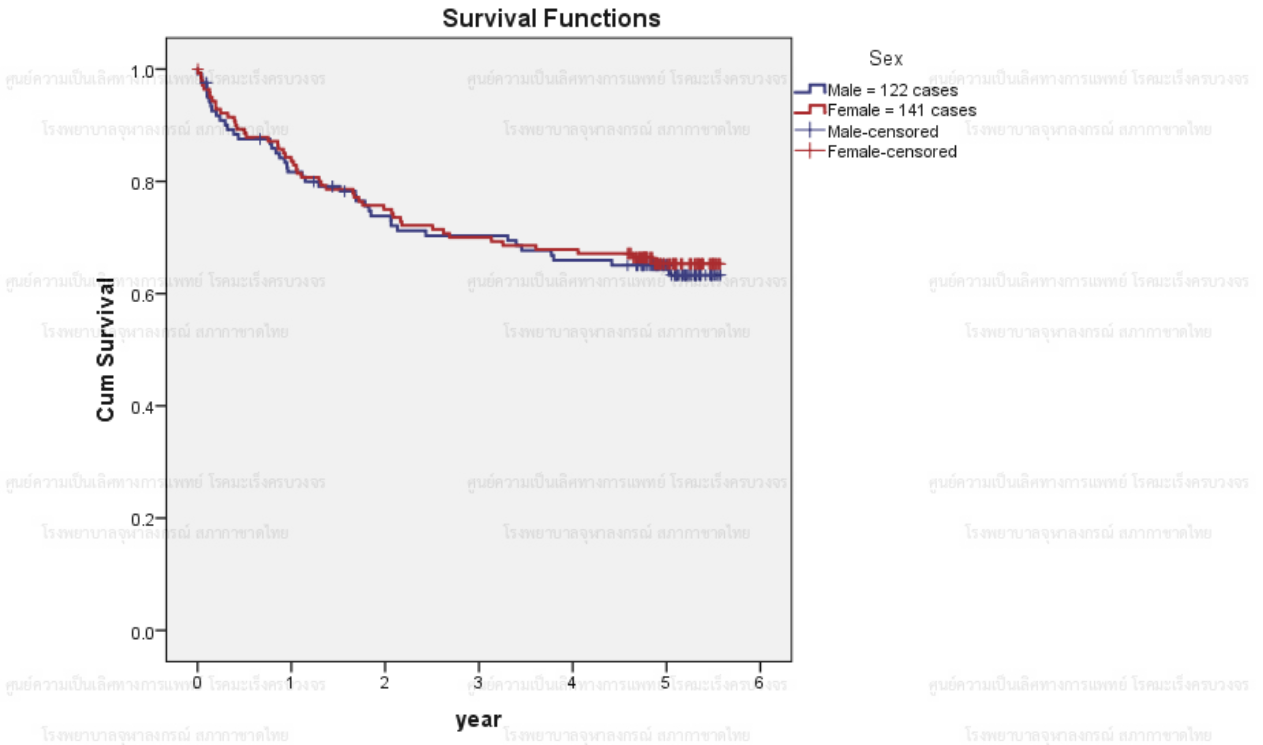
1. อัตราการรอดชีพที่ 3 ปี เท่ากับ 70.2%

2. อัตราการรอดชีพที่ 5 ปี เท่ากับ 65.2%

แผนภูมิที่ 64

แสดงอัตราการรอดชีวิตของผู้ป่วยโรคมะเร็งต่อมน้ำเหลืองที่วินิจฉัยในปี พ.ศ. 2562 แยกตามเพศ
(Survival rate of lymphoma patients diagnosed in 2019 by gender)

Graph Kaplan-Meier



ผู้ป่วยเพศชาย	ผู้ป่วยเพศหญิง
อัตราการรอดชีวิตที่ 3 ปี เท่ากับ 70.3%	อัตราการรอดชีวิตที่ 3 ปี เท่ากับ 70.0%
อัตราการรอดชีวิตที่ 5 ปี เท่ากับ 65.1%	อัตราการรอดชีวิตที่ 5 ปี เท่ากับ 65.3%

Overall Comparisons

	Chi-Square	df	Sig.
Log Rank (Mantel-Cox)	.057	1	.811
Breslow (Generalized Wilcoxon)	.052	1	.820
Tarone-Ware	.052	1	.819

Test of equality of survival distributions for the different levels of Sex.

หมายเหตุ *ค่านี้สำคัญทางสถิติที่ระดับ .05

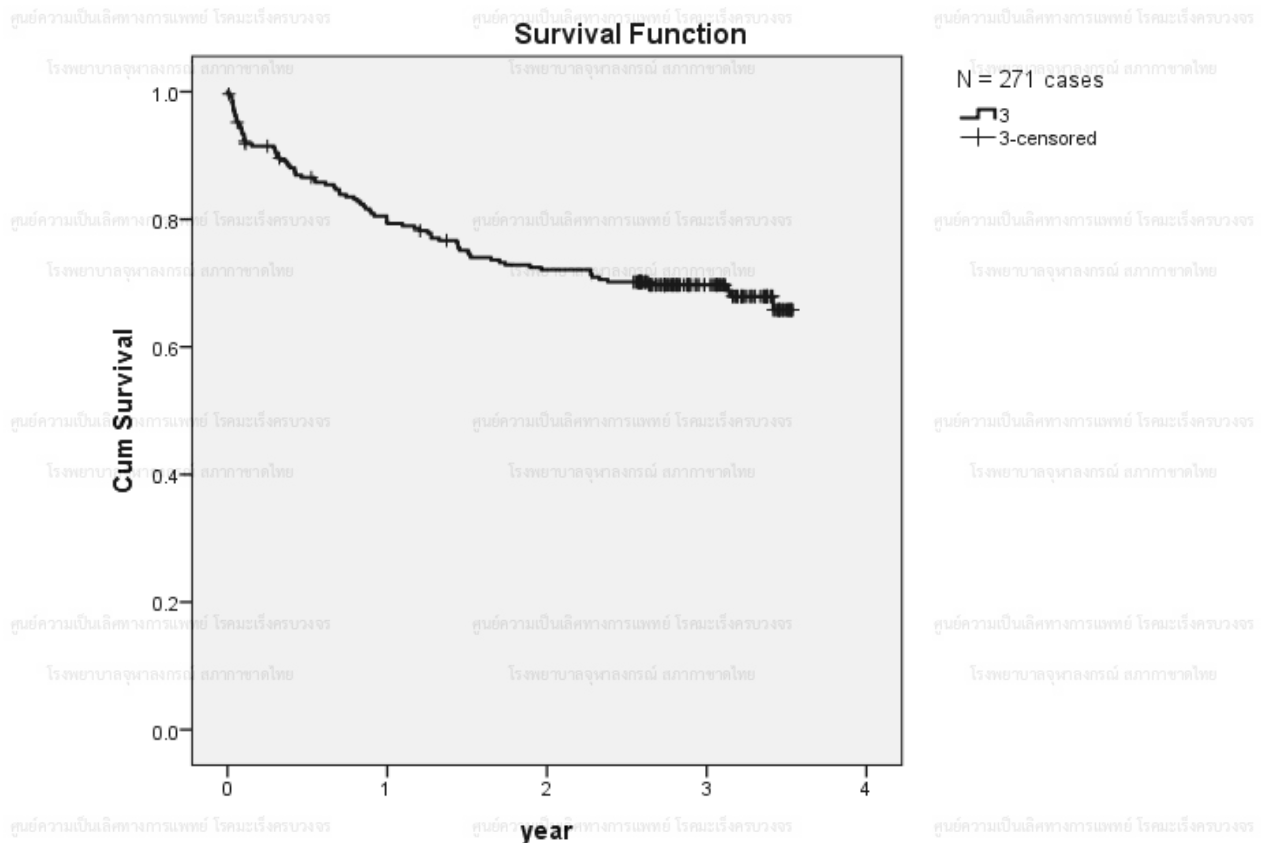
จากการศึกษา เพศต่างกันมีอัตราการรอดชีวิตของผู้ป่วยโรคมะเร็งต่อมน้ำเหลือง (lymphoma)

ไม่แตกต่างกันอย่างมีนัยสำคัญทางสถิติที่ระดับ .05

แผนภูมิที่ 65

แสดงอัตราการรอดชีพของผู้ป่วยโรคมะเร็งต่อมน้ำเหลืองที่วินิจฉัยในปี พ.ศ. 2564
(Survival rate of lymphoma patients diagnosed in 2021)

Graph Kaplan-Meier

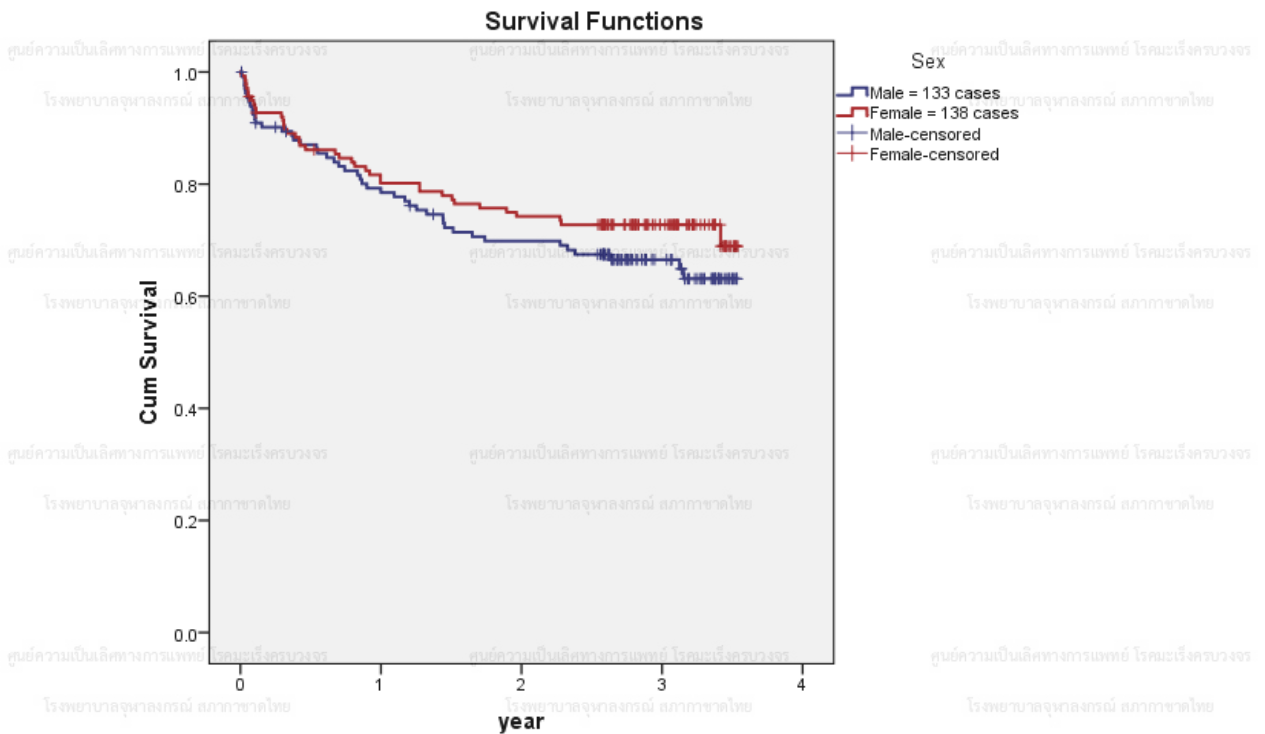


ภาพรวมผู้ป่วยโรคมะเร็งต่อมน้ำเหลือง (lymphoma) ในปี พ.ศ. 2564 ทั้งเพศชาย และเพศหญิง โดยแบ่งเป็นปี พบว่า อัตราการรอดชีพที่ 3 ปี เท่ากับ 69.7%

แผนภูมิที่ 66

แสดงอัตราการรอดชีพของผู้ป่วยโรคมะเร็งต่อม้าน้ำเหลืองที่วินิจฉัยในปี พ.ศ. 2564 แยกตามเพศ
(Survival rate of lymphoma patients diagnosed in 2021 by gender)

Graph Kaplan-Meier



ผู้ป่วยเพศชาย	ผู้ป่วยเพศหญิง
อัตราการรอดชีพที่ 3 ปี เท่ากับ 66.5%	อัตราการรอดชีพที่ 3 ปี เท่ากับ 72.7%

Overall Comparisons

	Chi-Square	df	Sig.
Log Rank (Mantel-Cox)	1.295	1	.255
Breslow (Generalized Wilcoxon)	1.032	1	.310
Tarone-Ware	1.168	1	.280

Test of equality of survival distributions for the different levels of Sex.

หมายเหตุ *ค่านี้สำคัญทางสถิติที่ระดับ .05

จากการศึกษา เพศต่างกันมีอัตราการรอดชีพของผู้ป่วยโรคมะเร็งต่อม้าน้ำเหลือง (lymphoma) ไม่แตกต่างกันอย่างมีนัยสำคัญทางสถิติที่ระดับ .05



โรงพยาบาลจุฬาลงกรณ์
สภากาชาดไทย

เผยแพร่โดย

ศูนย์ความเป็นเลิศทางการแพทย์ โรคมะเร็งครบวงจร แห่งโรงพยาบาลจุฬาลงกรณ์
1873 ถนนพระรามที่ 4 แขวงปทุมวัน เขตปทุมวัน กรุงเทพฯ 10330
โทร. 0 2256 4000 ต่อ 3725

DISTRIBUTED BY

**EC CHULALONGKORN COMPREHENSIVE CANCER CENTER (ECCCC)
KING CHULALONGKORN MEMORIAL HOSPITAL**